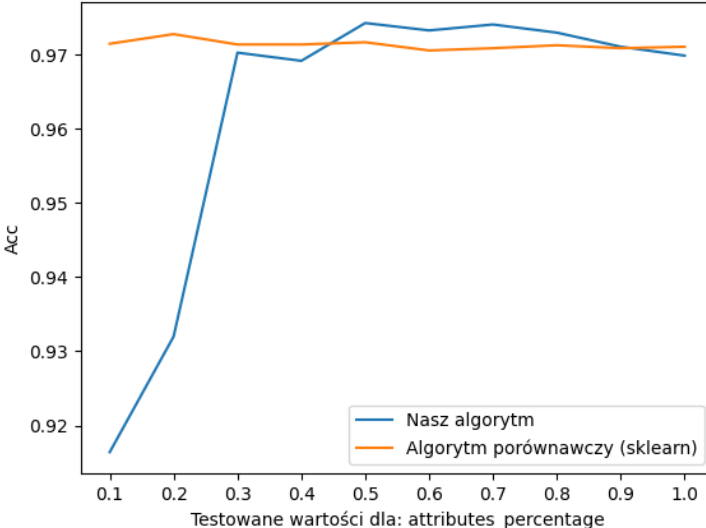
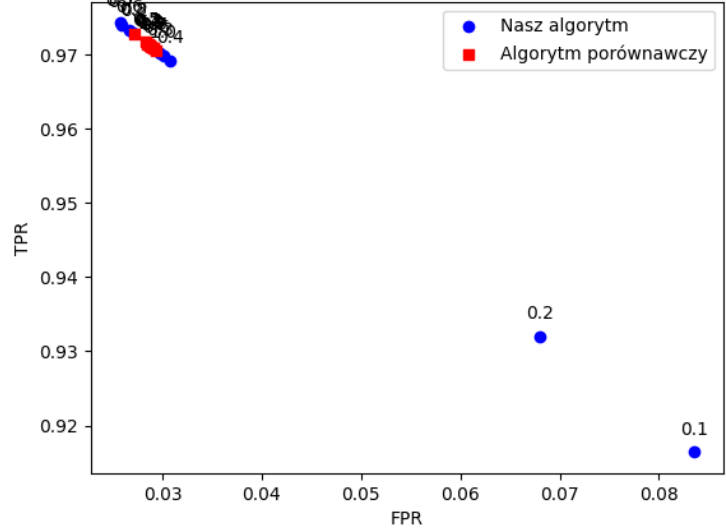


1.1.1 Wykres precyzji oraz wykres ROC dla zmiany parametru: attributes_percentage

Wykres porównawczy algorytmów dla parametru: attributes_percentage



Wykres ROC dla zmiany attributes_percentage



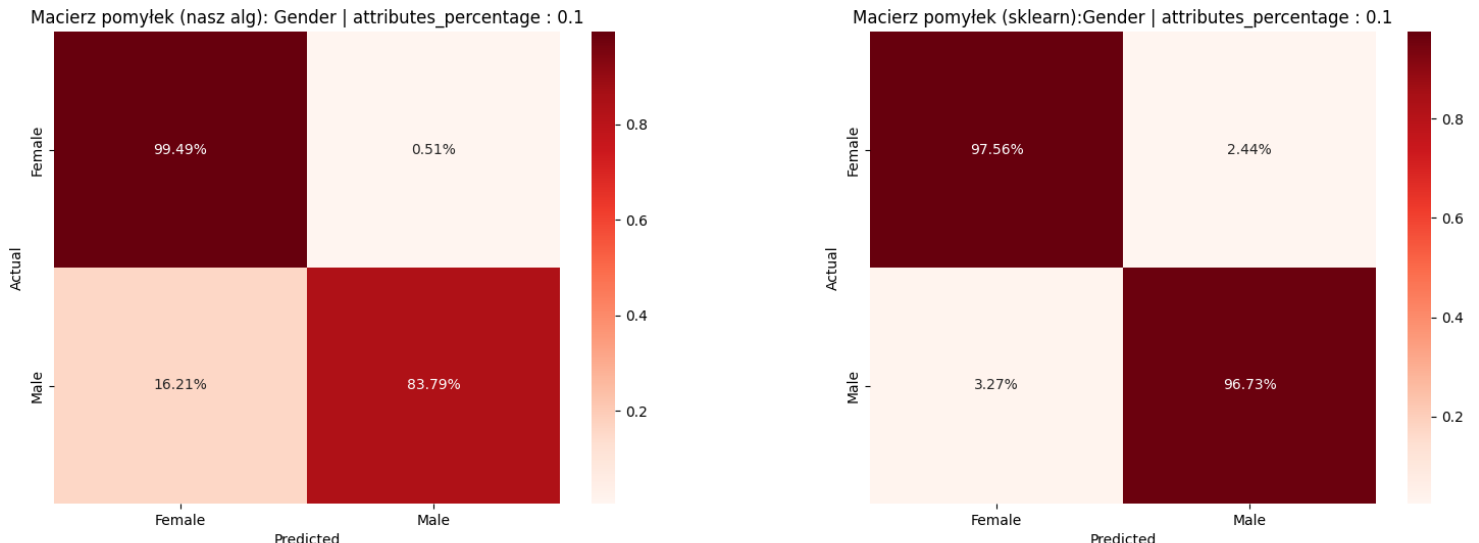
1.1.1 Tablica naszego algorytmu dla zmiany parametru: attributes_percentage

	TN	FP	FN	TP	ACC	TPR	PPV	TNR	FAR	F1	MCC	FPR
0.1	916,6000	83,6000	83,6000	916,6000	0,9164	0,9164	0,9164	0,9164	0,0836	0,9164	0,8328	0,0836
0.2	932,2000	68,0000	68,0000	932,2000	0,9320	0,9320	0,9320	0,9320	0,0680	0,9320	0,8640	0,0680
0.3	970,5333	29,6667	29,6667	970,5333	0,9703	0,9703	0,9703	0,9703	0,0297	0,9703	0,9407	0,0297
0.4	969,4000	30,8000	30,8000	969,4000	0,9692	0,9692	0,9692	0,9692	0,0308	0,9692	0,9384	0,0308
0.5	974,4667	25,7333	25,7333	974,4667	0,9743	0,9743	0,9743	0,9743	0,0257	0,9743	0,9485	0,0257
0.6	973,4667	26,7333	26,7333	973,4667	0,9733	0,9733	0,9733	0,9733	0,0267	0,9733	0,9465	0,0267
0.7	974,3333	25,8667	25,8667	974,3333	0,9741	0,9741	0,9741	0,9741	0,0259	0,9741	0,9483	0,0259
0.8	973,2000	27,0000	27,0000	973,2000	0,9730	0,9730	0,9730	0,9730	0,0270	0,9730	0,9460	0,0270
0.9	971,2667	28,9333	28,9333	971,2667	0,9711	0,9711	0,9711	0,9711	0,0289	0,9711	0,9421	0,0289
1.0	970,1333	30,0667	30,0667	970,1333	0,9699	0,9699	0,9699	0,9699	0,0301	0,9699	0,9399	0,0301

1.1.1 Tablica porównawczego algorytmu dla zmiany parametru: attributes_percentage

	TN	FP	FN	TP	ACC	TPR	PPV	TNR	FAR	F1	MCC	FPR
0.1	971,6667	28,5333	28,5333	971,6667	0,9715	0,9715	0,9715	0,9715	0,0285	0,9715	0,9429	0,0285
0.2	973,0000	27,2000	27,2000	973,0000	0,9728	0,9728	0,9728	0,9728	0,0272	0,9728	0,9456	0,0272
0.3	971,6000	28,6000	28,6000	971,6000	0,9714	0,9714	0,9714	0,9714	0,0286	0,9714	0,9428	0,0286
0.4	971,6000	28,6000	28,6000	971,6000	0,9714	0,9714	0,9714	0,9714	0,0286	0,9714	0,9428	0,0286
0.5	971,8667	28,3333	28,3333	971,8667	0,9717	0,9717	0,9717	0,9717	0,0283	0,9717	0,9433	0,0283
0.6	970,8000	29,4000	29,4000	970,8000	0,9706	0,9706	0,9706	0,9706	0,0294	0,9706	0,9412	0,0294
0.7	971,1333	29,0667	29,0667	971,1333	0,9709	0,9709	0,9709	0,9709	0,0291	0,9709	0,9419	0,0291
0.8	971,4667	28,7333	28,7333	971,4667	0,9713	0,9713	0,9713	0,9713	0,0287	0,9713	0,9425	0,0287
0.9	971,0667	29,1333	29,1333	971,0667	0,9709	0,9709	0,9709	0,9709	0,0291	0,9709	0,9417	0,0291
1.0	971,3333	28,8667	28,8667	971,3333	0,9711	0,9711	0,9711	0,9711	0,0289	0,9711	0,9423	0,0289

1.2.1 Porównanie confusion matrix dla attributes_percentage = 0.1



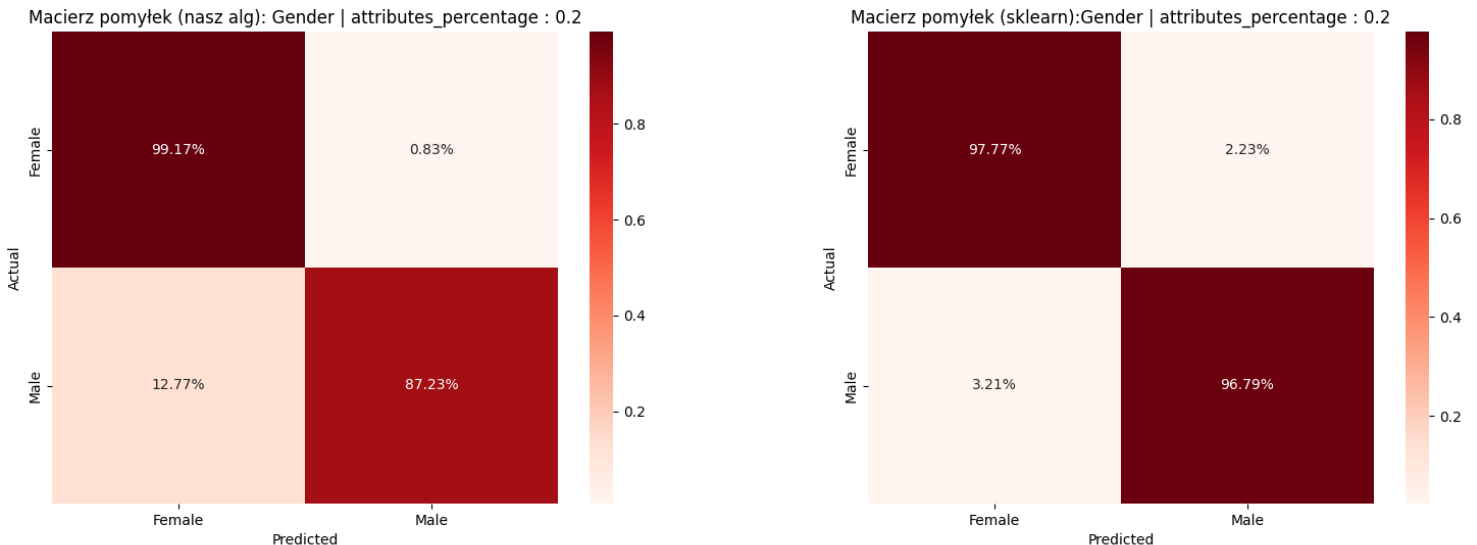
1.2.1 Tablica naszego algorytmu dla attributes_percentage = 0.1

	TP	FN	FP	TN	ACC	TPR	PPV	TNR	FAR	F1	MCC	FPR
Female	497,6667	2,5333	81,0667	418,9333	0,9164	0,9949	0,8599	0,8379	0,1621	0,9225	0,8433	0,1621
Male	418,9333	81,0667	2,5333	497,6667	0,9164	0,8379	0,9940	0,9949	0,0051	0,9093	0,8433	0,0051
overall	916,6000	83,6000	83,6000	916,6000	0,9164	0,9164	0,9164	0,9164	0,0836	0,9164	0,8328	0,0836

1.2.1 Tablica porównawczego algorytmu dla attributes_percentage = 0.1

	TP	FN	FP	TN	ACC	TPR	PPV	TNR	FAR	F1	MCC	FPR
Female	488,0000	12,2000	16,3333	483,6667	0,9715	0,9756	0,9676	0,9673	0,0327	0,9716	0,9430	0,0327
Male	483,6667	16,3333	12,2000	488,0000	0,9715	0,9673	0,9754	0,9756	0,0244	0,9713	0,9430	0,0244
overall	971,6667	28,5333	28,5333	971,6667	0,9715	0,9715	0,9715	0,9715	0,0285	0,9715	0,9429	0,0285

1.3.1 Porównanie confusion matrix dla attributes_percentage = 0.2



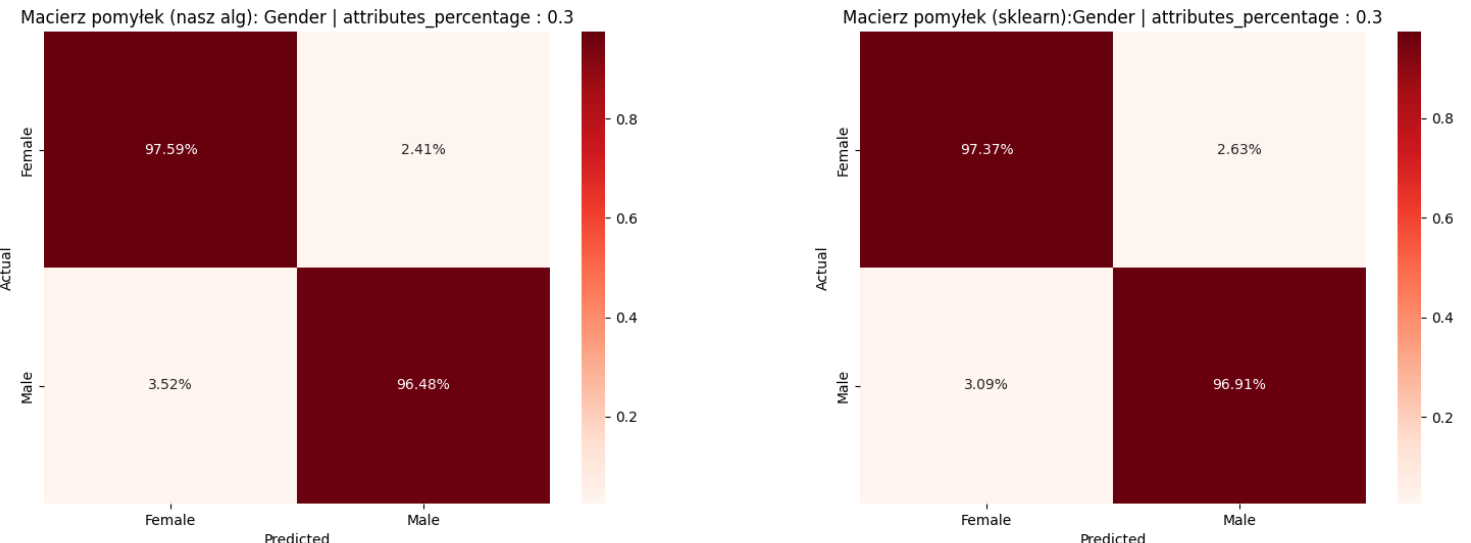
1.3.1 Tablica naszego algorytmu dla attributes_percentage = 0.2

	TP	FN	FP	TN	ACC	TPR	PPV	TNR	FAR	F1	MCC	FPR
Female	496,0667	4,1333	63,8667	436,1333	0,9320	0,9917	0,8859	0,8723	0,1277	0,9358	0,8703	0,1277
Male	436,1333	63,8667	4,1333	496,0667	0,9320	0,8723	0,9906	0,9917	0,0083	0,9277	0,8703	0,0083
overall	932,2000	68,0000	68,0000	932,2000	0,9320	0,9320	0,9320	0,9320	0,0680	0,9320	0,8640	0,0680

1.3.1 Tablica porównawczego algorytmu dla attributes_percentage = 0.2

	TP	FN	FP	TN	ACC	TPR	PPV	TNR	FAR	F1	MCC	FPR
Female	489,0667	11,1333	16,0667	483,9333	0,9728	0,9777	0,9682	0,9679	0,0321	0,9729	0,9457	0,0321
Male	483,9333	16,0667	11,1333	489,0667	0,9728	0,9679	0,9775	0,9777	0,0223	0,9727	0,9457	0,0223
overall	973,0000	27,2000	27,2000	973,0000	0,9728	0,9728	0,9728	0,9728	0,0272	0,9728	0,9456	0,0272

1.4.1 Porównanie confusion matrix dla attributes_percentage = 0.3



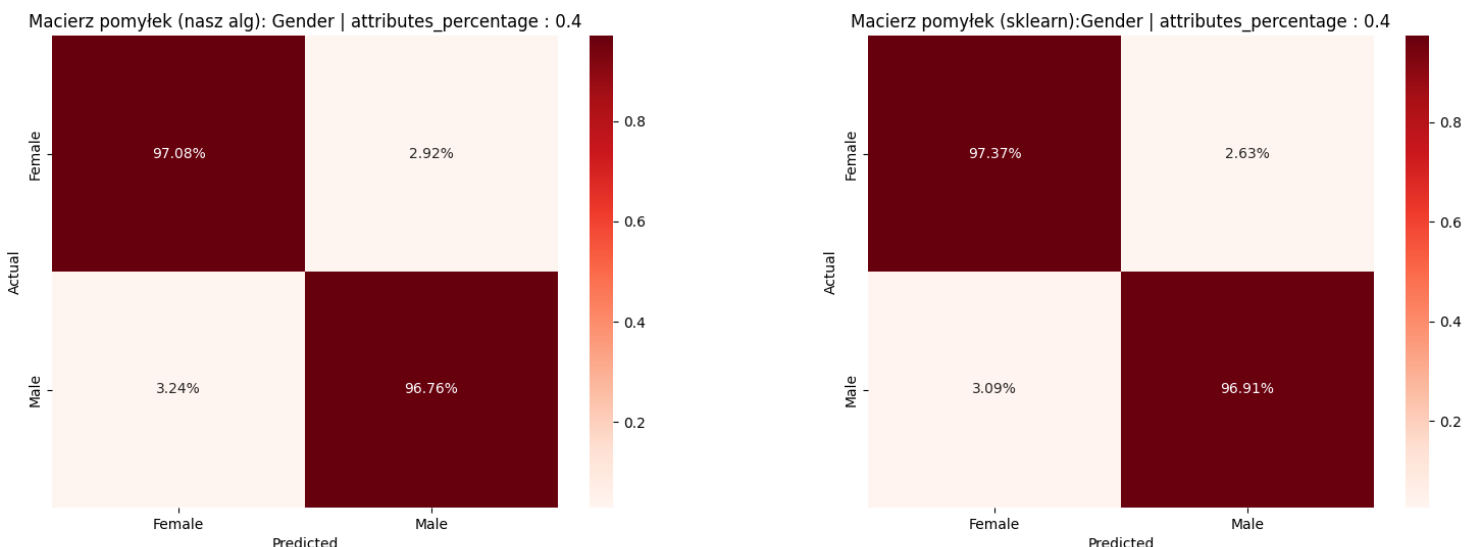
1.4.1 Tablica naszego algorytmu dla attributes_percentage = 0.3

	TP	FN	FP	TN	ACC	TPR	PPV	TNR	FAR	F1	MCC	FPR
Female	488,1333	12,0667	17,6000	482,4000	0,9703	0,9759	0,9652	0,9648	0,0352	0,9705	0,9407	0,0352
Male	482,4000	17,6000	12,0667	488,1333	0,9703	0,9648	0,9756	0,9759	0,0241	0,9702	0,9407	0,0241
overall	970,5333	29,6667	29,6667	970,5333	0,9703	0,9703	0,9703	0,9703	0,0297	0,9703	0,9407	0,0297

1.4.1 Tablica porównawczego algorytmu dla attributes_percentage = 0.3

	TP	FN	FP	TN	ACC	TPR	PPV	TNR	FAR	F1	MCC	FPR
Female	487,0667	13,1333	15,4667	484,5333	0,9714	0,9737	0,9692	0,9691	0,0309	0,9714	0,9428	0,0309
Male	484,5333	15,4667	13,1333	487,0667	0,9714	0,9691	0,9736	0,9737	0,0263	0,9713	0,9428	0,0263
overall	971,6000	28,6000	28,6000	971,6000	0,9714	0,9714	0,9714	0,9714	0,0286	0,9714	0,9428	0,0286

1.5.1 Porównanie confusion matrix dla attributes_percentage = 0.4



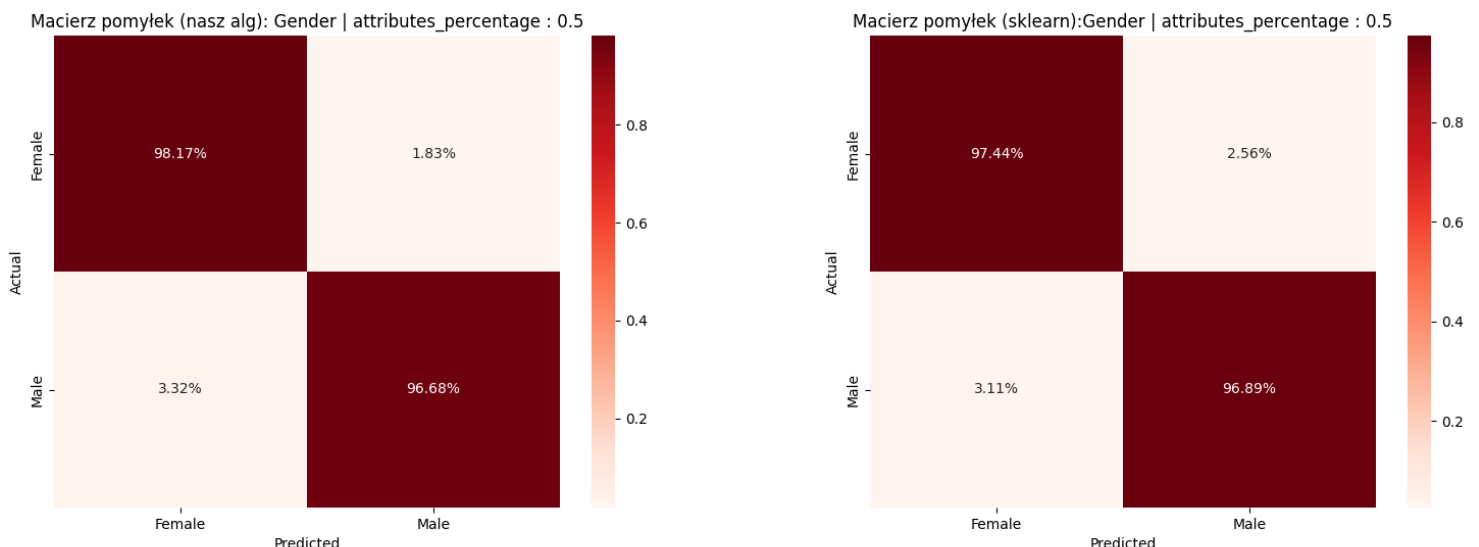
1.5.1 Tablica naszego algorytmu dla attributes_percentage = 0.4

	TP	FN	FP	TN	ACC	TPR	PPV	TNR	FAR	F1	MCC	FPR
Female	485,6000	14,6000	16,2000	483,8000	0,9692	0,9708	0,9677	0,9676	0,0324	0,9692	0,9384	0,0324
Male	483,8000	16,2000	14,6000	485,6000	0,9692	0,9676	0,9707	0,9708	0,0292	0,9691	0,9384	0,0292
overall	969,4000	30,8000	30,8000	969,4000	0,9692	0,9692	0,9692	0,9692	0,0308	0,9692	0,9384	0,0308

1.5.1 Tablica porównawczego algorytmu dla attributes_percentage = 0.4

	TP	FN	FP	TN	ACC	TPR	PPV	TNR	FAR	F1	MCC	FPR
Female	487,0667	13,1333	15,4667	484,5333	0,9714	0,9737	0,9692	0,9691	0,0309	0,9714	0,9428	0,0309
Male	484,5333	15,4667	13,1333	487,0667	0,9714	0,9691	0,9736	0,9737	0,0263	0,9713	0,9428	0,0263
overall	971,6000	28,6000	28,6000	971,6000	0,9714	0,9714	0,9714	0,9714	0,0286	0,9714	0,9428	0,0286

1.6.1 Porównanie confusion matrix dla attributes_percentage = 0.5



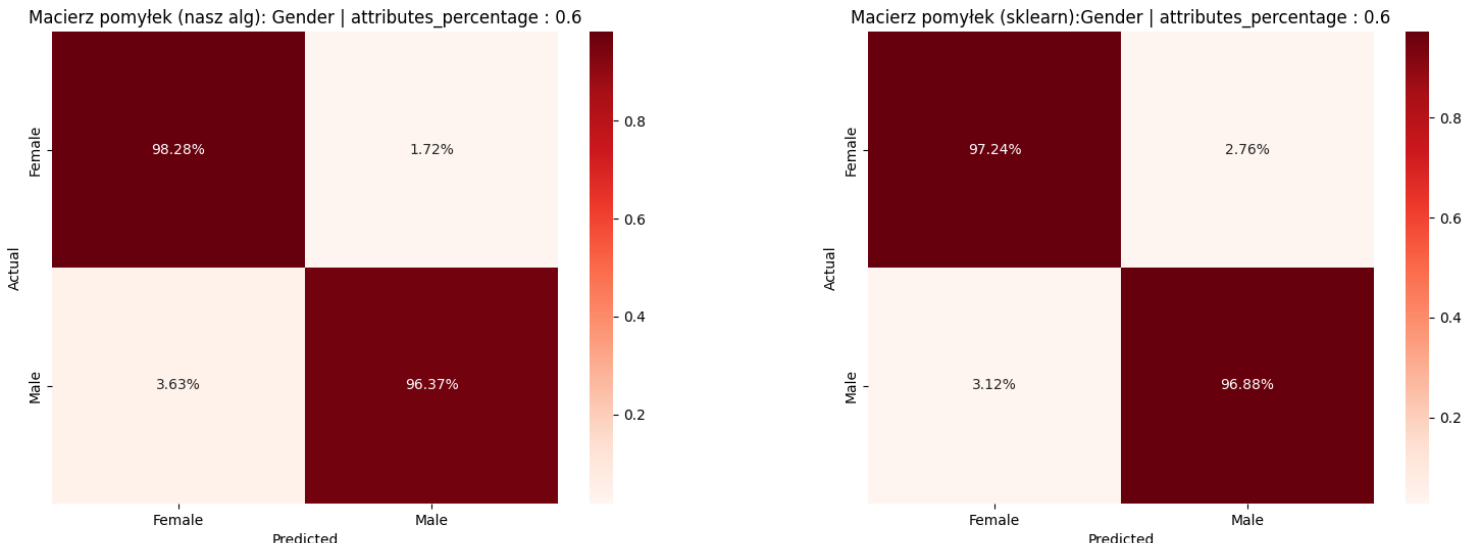
1.6.1 Tablica naszego algorytmu dla attributes_percentage = 0.5

	TP	FN	FP	TN	ACC	TPR	PPV	TNR	FAR	F1	MCC	FPR
Female	491,0667	9,1333	16,6000	483,4000	0,9743	0,9817	0,9673	0,9668	0,0332	0,9744	0,9486	0,0332
Male	483,4000	16,6000	9,1333	491,0667	0,9743	0,9668	0,9815	0,9817	0,0183	0,9741	0,9486	0,0183
overall	974,4667	25,7333	25,7333	974,4667	0,9743	0,9743	0,9743	0,9743	0,0257	0,9743	0,9485	0,0257

1.6.1 Tablica porównawczego algorytmu dla attributes_percentage = 0.5

	TP	FN	FP	TN	ACC	TPR	PPV	TNR	FAR	F1	MCC	FPR
Female	487,4000	12,8000	15,5333	484,4667	0,9717	0,9744	0,9691	0,9689	0,0311	0,9717	0,9434	0,0311
Male	484,4667	15,5333	12,8000	487,4000	0,9717	0,9689	0,9743	0,9744	0,0256	0,9716	0,9434	0,0256
overall	971,8667	28,3333	28,3333	971,8667	0,9717	0,9717	0,9717	0,9717	0,0283	0,9717	0,9433	0,0283

1.7.1 Porównanie confusion matrix dla attributes_percentage = 0.6



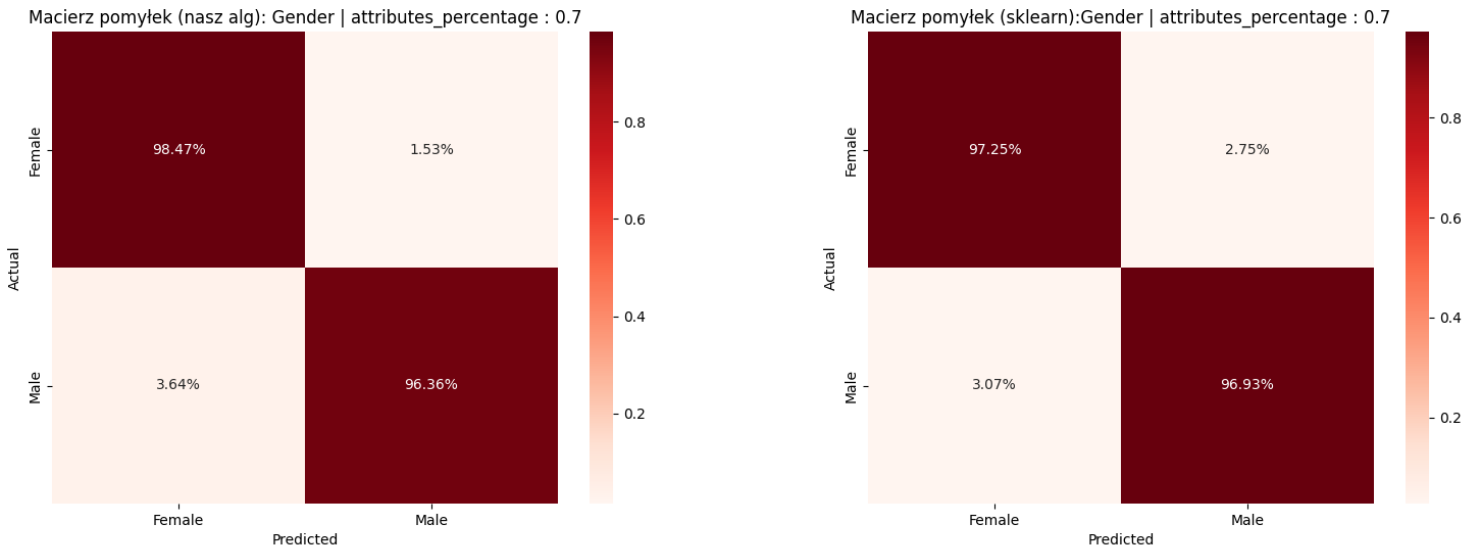
1.7.1 Tablica naszego algorytmu dla attributes_percentage = 0.6

	TP	FN	FP	TN	ACC	TPR	PPV	TNR	FAR	F1	MCC	FPR
Female	491,6000	8,6000	18,1333	481,8667	0,9733	0,9828	0,9644	0,9637	0,0363	0,9735	0,9467	0,0363
Male	481,8667	18,1333	8,6000	491,6000	0,9733	0,9637	0,9825	0,9828	0,0172	0,9730	0,9467	0,0172
overall	973,4667	26,7333	26,7333	973,4667	0,9733	0,9733	0,9733	0,9733	0,0267	0,9733	0,9465	0,0267

1.7.1 Tablica porównawczego algorytmu dla attributes_percentage = 0.6

	TP	FN	FP	TN	ACC	TPR	PPV	TNR	FAR	F1	MCC	FPR
Female	486,4000	13,8000	15,6000	484,4000	0,9706	0,9724	0,9689	0,9688	0,0312	0,9706	0,9412	0,0312
Male	484,4000	15,6000	13,8000	486,4000	0,9706	0,9688	0,9723	0,9724	0,0276	0,9705	0,9412	0,0276
overall	970,8000	29,4000	29,4000	970,8000	0,9706	0,9706	0,9706	0,9706	0,0294	0,9706	0,9412	0,0294

1.8.1 Porównanie confusion matrix dla attributes_percentage = 0.7



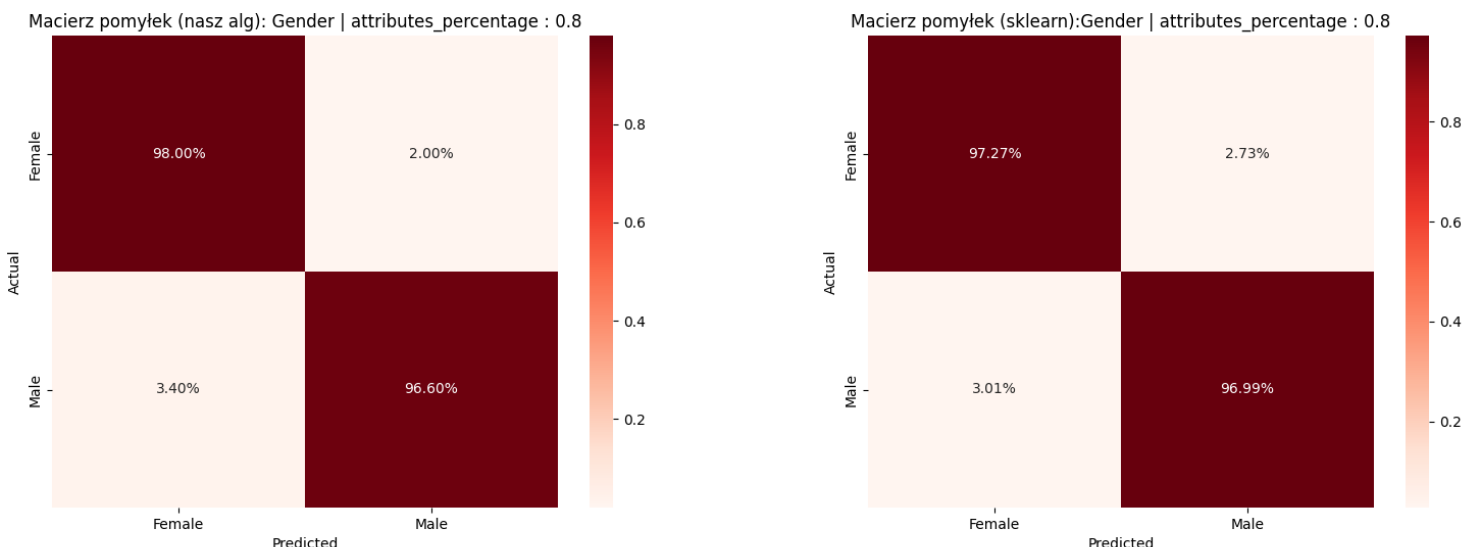
1.8.1 Tablica naszego algorytmu dla attributes_percentage = 0.7

	TP	FN	FP	TN	ACC	TPR	PPV	TNR	FAR	F1	MCC	FPR
Female	492,5333	7,6667	18,2000	481,8000	0,9741	0,9847	0,9644	0,9636	0,0364	0,9744	0,9485	0,0364
Male	481,8000	18,2000	7,6667	492,5333	0,9741	0,9636	0,9843	0,9847	0,0153	0,9738	0,9485	0,0153
overall	974,3333	25,8667	25,8667	974,3333	0,9741	0,9741	0,9741	0,9741	0,0259	0,9741	0,9483	0,0259

1.8.1 Tablica porównawczego algorytmu dla attributes_percentage = 0.7

	TP	FN	FP	TN	ACC	TPR	PPV	TNR	FAR	F1	MCC	FPR
Female	486,4667	13,7333	15,3333	484,6667	0,9709	0,9725	0,9694	0,9693	0,0307	0,9709	0,9419	0,0307
Male	484,6667	15,3333	13,7333	486,4667	0,9709	0,9693	0,9724	0,9725	0,0275	0,9708	0,9419	0,0275
overall	971,1333	29,0667	29,0667	971,1333	0,9709	0,9709	0,9709	0,9709	0,0291	0,9709	0,9419	0,0291

1.9.1 Porównanie confusion matrix dla attributes_percentage = 0.8



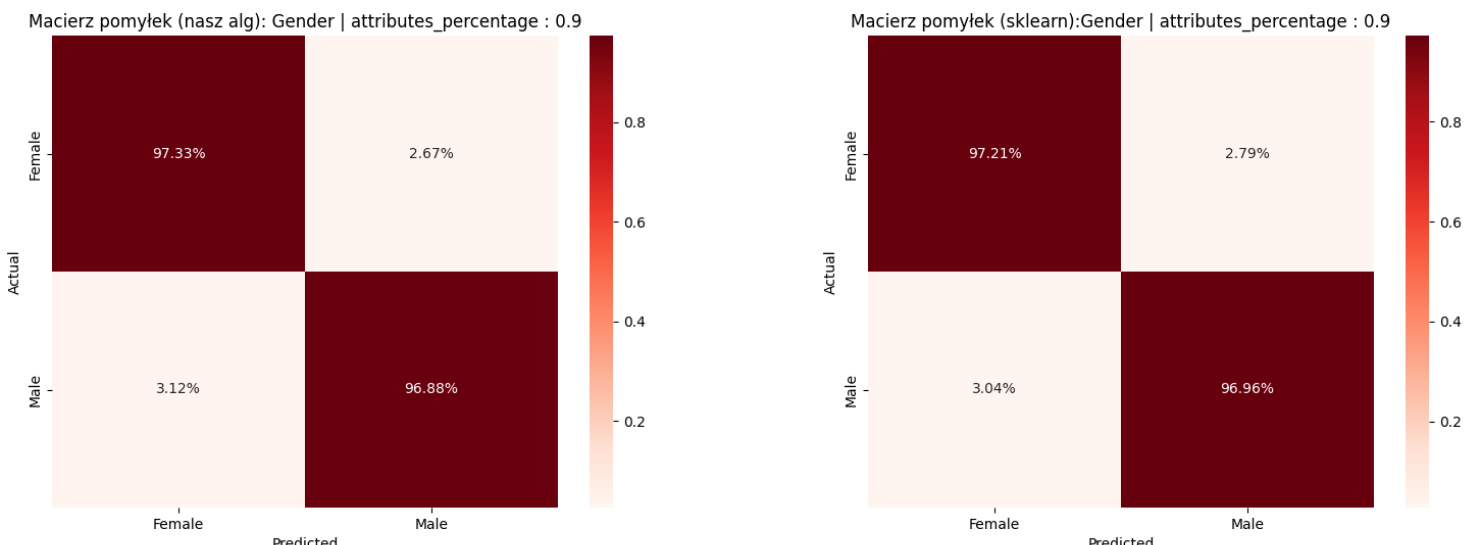
1.9.1 Tablica naszego algorytmu dla attributes_percentage = 0.8

	TP	FN	FP	TN	ACC	TPR	PPV	TNR	FAR	F1	MCC	FPR
Female	490,2000	10,0000	17,0000	483,0000	0,9730	0,9800	0,9665	0,9660	0,0340	0,9732	0,9461	0,0340
Male	483,0000	17,0000	10,0000	490,2000	0,9730	0,9660	0,9797	0,9800	0,0200	0,9728	0,9461	0,0200
overall	973,2000	27,0000	27,0000	973,2000	0,9730	0,9730	0,9730	0,9730	0,0270	0,9730	0,9460	0,0270

1.9.1 Tablica porównawczego algorytmu dla attributes_percentage = 0.8

	TP	FN	FP	TN	ACC	TPR	PPV	TNR	FAR	F1	MCC	FPR
Female	486,5333	13,6667	15,0667	484,9333	0,9713	0,9727	0,9700	0,9699	0,0301	0,9713	0,9425	0,0301
Male	484,9333	15,0667	13,6667	486,5333	0,9713	0,9699	0,9726	0,9727	0,0273	0,9712	0,9425	0,0273
overall	971,4667	28,7333	28,7333	971,4667	0,9713	0,9713	0,9713	0,9713	0,0287	0,9713	0,9425	0,0287

1.10.1 Porównanie confusion matrix dla attributes_percentage = 0.9



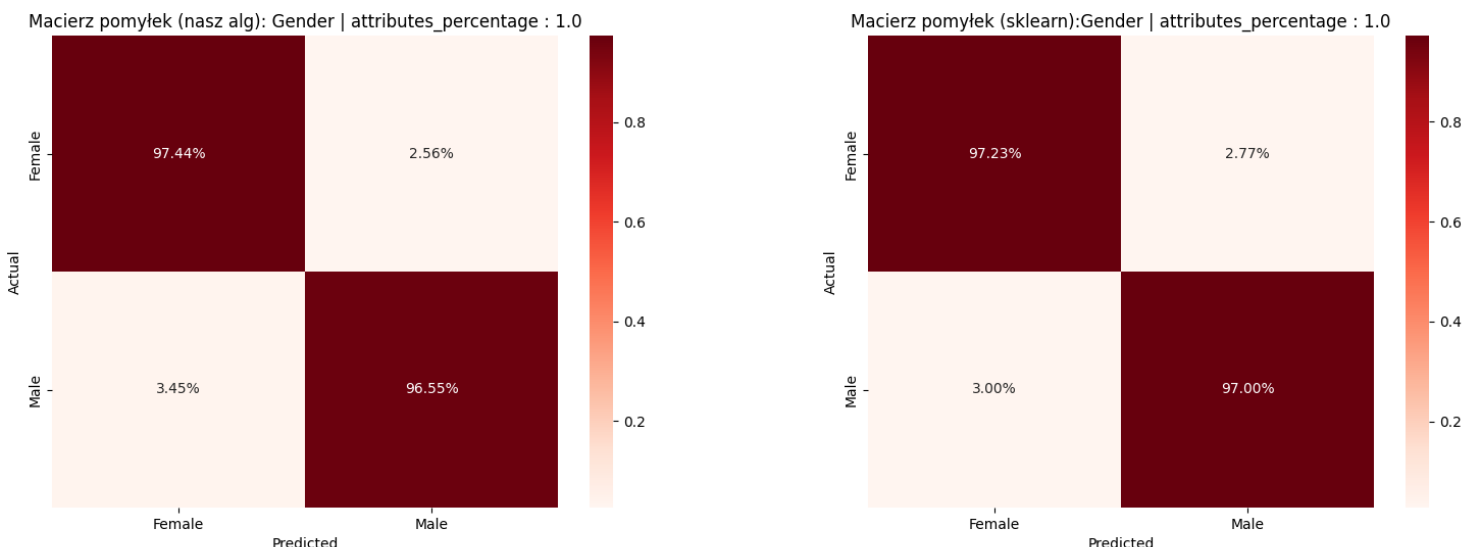
1.10.1 Tablica naszego algorytmu dla attributes_percentage = 0.9

	TP	FN	FP	TN	ACC	TPR	PPV	TNR	FAR	F1	MCC	FPR
Female	486,8667	13,3333	15,6000	484,4000	0,9711	0,9733	0,9690	0,9688	0,0312	0,9711	0,9422	0,0312
Male	484,4000	15,6000	13,3333	486,8667	0,9711	0,9688	0,9732	0,9733	0,0267	0,9710	0,9422	0,0267
overall	971,2667	28,9333	28,9333	971,2667	0,9711	0,9711	0,9711	0,9711	0,0289	0,9711	0,9421	0,0289

1.10.1 Tablica porównawczego algorytmu dla attributes_percentage = 0.9

	TP	FN	FP	TN	ACC	TPR	PPV	TNR	FAR	F1	MCC	FPR
Female	486,2667	13,9333	15,2000	484,8000	0,9709	0,9721	0,9697	0,9696	0,0304	0,9709	0,9417	0,0304
Male	484,8000	15,2000	13,9333	486,2667	0,9709	0,9696	0,9721	0,9721	0,0279	0,9708	0,9417	0,0279
overall	971,0667	29,1333	29,1333	971,0667	0,9709	0,9709	0,9709	0,9709	0,0291	0,9709	0,9417	0,0291

1.11.1 Porównanie confusion matrix dla attributes_percentage = 1.0



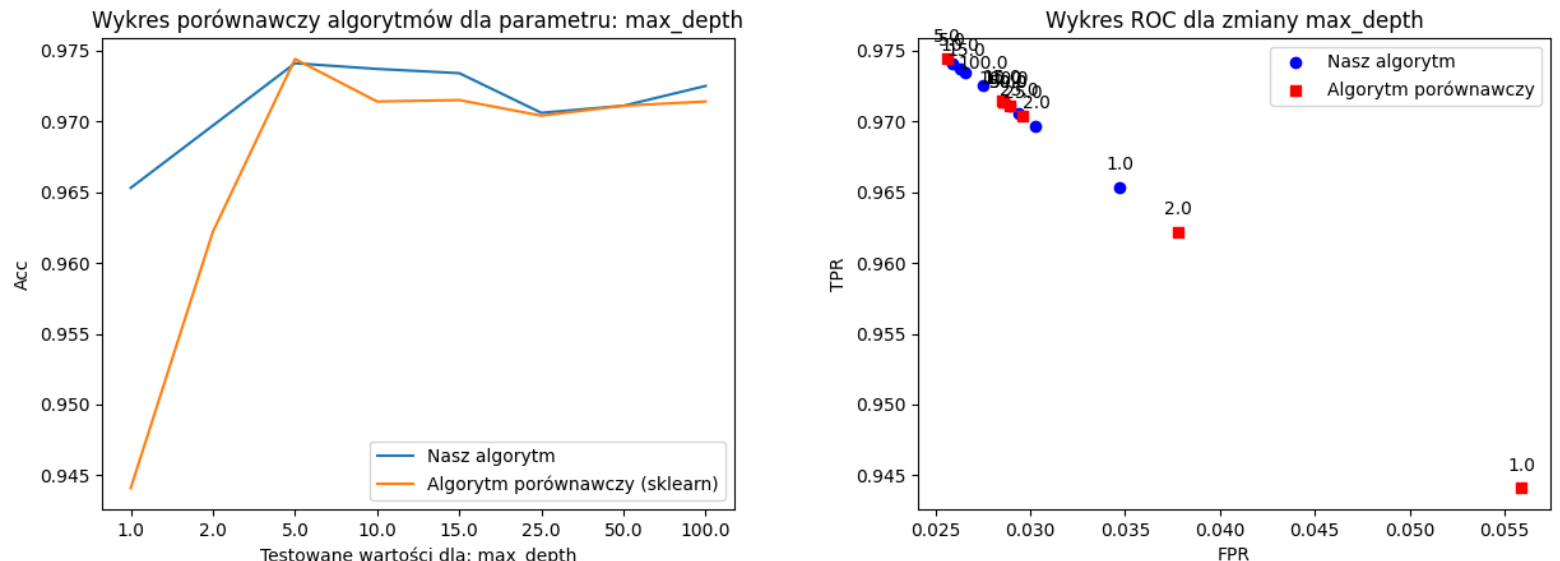
1.11.1 Tablica naszego algorytmu dla attributes_percentage = 1.0

	TP	FN	FP	TN	ACC	TPR	PPV	TNR	FAR	F1	MCC	FPR
Female	487,4000	12,8000	17,2667	482,7333	0,9699	0,9744	0,9658	0,9655	0,0345	0,9701	0,9399	0,0345
Male	482,7333	17,2667	12,8000	487,4000	0,9699	0,9655	0,9742	0,9744	0,0256	0,9698	0,9399	0,0256
overall	970,1333	30,0667	30,0667	970,1333	0,9699	0,9699	0,9699	0,9699	0,0301	0,9699	0,9399	0,0301

1.11.1 Tablica porównawczego algorytmu dla attributes_percentage = 1.0

	TP	FN	FP	TN	ACC	TPR	PPV	TNR	FAR	F1	MCC	FPR
Female	486,3333	13,8667	15,0000	485,0000	0,9711	0,9723	0,9701	0,9700	0,0300	0,9712	0,9423	0,0300
Male	485,0000	15,0000	13,8667	486,3333	0,9711	0,9700	0,9722	0,9723	0,0277	0,9711	0,9423	0,0277
overall	971,3333	28,8667	28,8667	971,3333	0,9711	0,9711	0,9711	0,9711	0,0289	0,9711	0,9423	0,0289

2.1.1 Wykres precyzji oraz wykres ROC dla zmiany parametru: max_depth



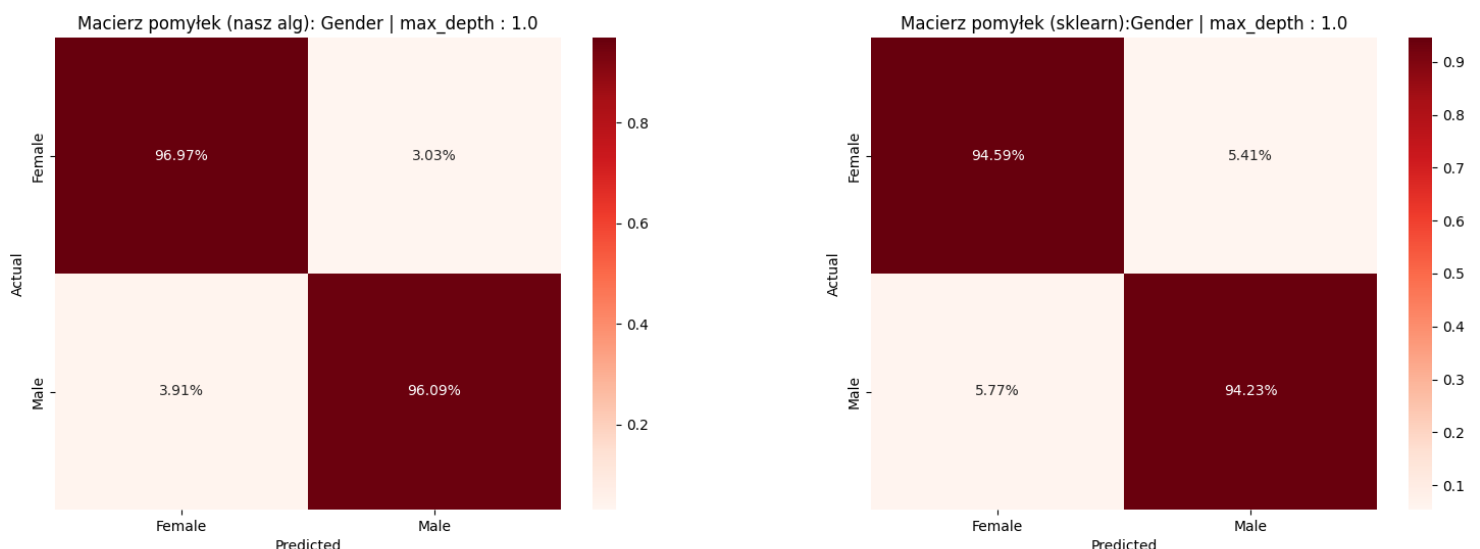
2.1.1 Tablica naszego algorytmu dla zmiany parametru: max_depth

	TN	FP	FN	TP	ACC	TPR	PPV	TNR	FAR	F1	MCC	FPR
1.0	965,5333	34,6667	34,6667	965,5333	0,9653	0,9653	0,9653	0,9653	0,0347	0,9653	0,9307	0,0347
2.0	969,8667	30,3333	30,3333	969,8667	0,9697	0,9697	0,9697	0,9697	0,0303	0,9697	0,9393	0,0303
5.0	974,3333	25,8667	25,8667	974,3333	0,9741	0,9741	0,9741	0,9741	0,0259	0,9741	0,9483	0,0259
10.0	973,9333	26,2667	26,2667	973,9333	0,9737	0,9737	0,9737	0,9737	0,0263	0,9737	0,9475	0,0263
15.0	973,6000	26,6000	26,6000	973,6000	0,9734	0,9734	0,9734	0,9734	0,0266	0,9734	0,9468	0,0266
25.0	970,8000	29,4000	29,4000	970,8000	0,9706	0,9706	0,9706	0,9706	0,0294	0,9706	0,9412	0,0294
50.0	971,3333	28,8667	28,8667	971,3333	0,9711	0,9711	0,9711	0,9711	0,0289	0,9711	0,9423	0,0289
100.0	972,7333	27,4667	27,4667	972,7333	0,9725	0,9725	0,9725	0,9725	0,0275	0,9725	0,9451	0,0275

2.1.1 Tablica porównawczego algorytmu dla zmiany parametru: max_depth

	TN	FP	FN	TP	ACC	TPR	PPV	TNR	FAR	F1	MCC	FPR
1.0	944,2667	55,9333	55,9333	944,2667	0,9441	0,9441	0,9441	0,9441	0,0559	0,9441	0,8882	0,0559
2.0	962,4000	37,8000	37,8000	962,4000	0,9622	0,9622	0,9622	0,9622	0,0378	0,9622	0,9244	0,0378
5.0	974,6000	25,6000	25,6000	974,6000	0,9744	0,9744	0,9744	0,9744	0,0256	0,9744	0,9488	0,0256
10.0	971,6000	28,6000	28,6000	971,6000	0,9714	0,9714	0,9714	0,9714	0,0286	0,9714	0,9428	0,0286
15.0	971,7333	28,4667	28,4667	971,7333	0,9715	0,9715	0,9715	0,9715	0,0285	0,9715	0,9431	0,0285
25.0	970,6000	29,6000	29,6000	970,6000	0,9704	0,9704	0,9704	0,9704	0,0296	0,9704	0,9408	0,0296
50.0	971,3333	28,8667	28,8667	971,3333	0,9711	0,9711	0,9711	0,9711	0,0289	0,9711	0,9423	0,0289
100.0	971,6000	28,6000	28,6000	971,6000	0,9714	0,9714	0,9714	0,9714	0,0286	0,9714	0,9428	0,0286

2.2.1 Porównanie confusion matrix dla max_depth = 1.0



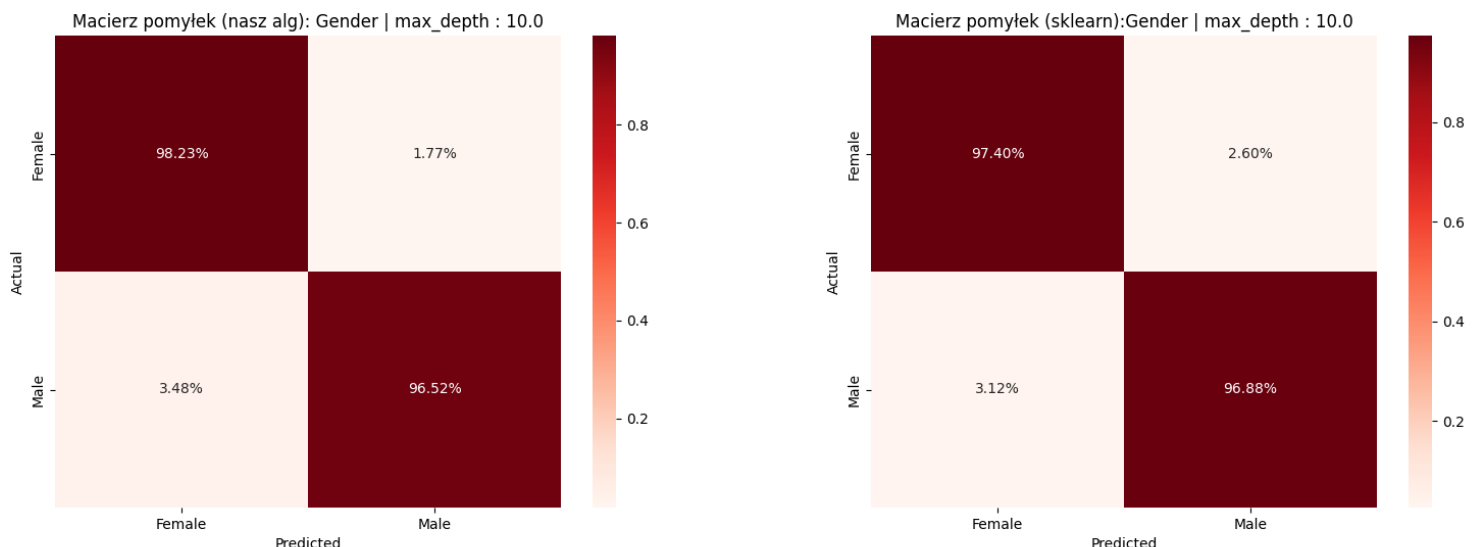
2.2.1 Tablica naszego algorytmu dla max_depth = 1.0

	TP	FN	FP	TN	ACC	TPR	PPV	TNR	FAR	F1	MCC	FPR
Female	485,0667	15,1333	19,5333	480,4667	0,9653	0,9697	0,9613	0,9609	0,0391	0,9655	0,9307	0,0391
Male	480,4667	19,5333	15,1333	485,0667	0,9653	0,9609	0,9695	0,9697	0,0303	0,9652	0,9307	0,0303
overall	965,5333	34,6667	34,6667	965,5333	0,9653	0,9653	0,9653	0,9653	0,0347	0,9653	0,9307	0,0347

2.2.1 Tablica porównawczego algorytmu dla max_depth = 1.0

	TP	FN	FP	TN	ACC	TPR	PPV	TNR	FAR	F1	MCC	FPR
Female	473,1333	27,0667	28,8667	471,1333	0,9441	0,9459	0,9425	0,9423	0,0577	0,9442	0,8882	0,0577
Male	471,1333	28,8667	27,0667	473,1333	0,9441	0,9423	0,9457	0,9459	0,0541	0,9440	0,8882	0,0541
overall	944,2667	55,9333	55,9333	944,2667	0,9441	0,9441	0,9441	0,9441	0,0559	0,9441	0,8882	0,0559

2.3.1 Porównanie confusion matrix dla max_depth = 10.0



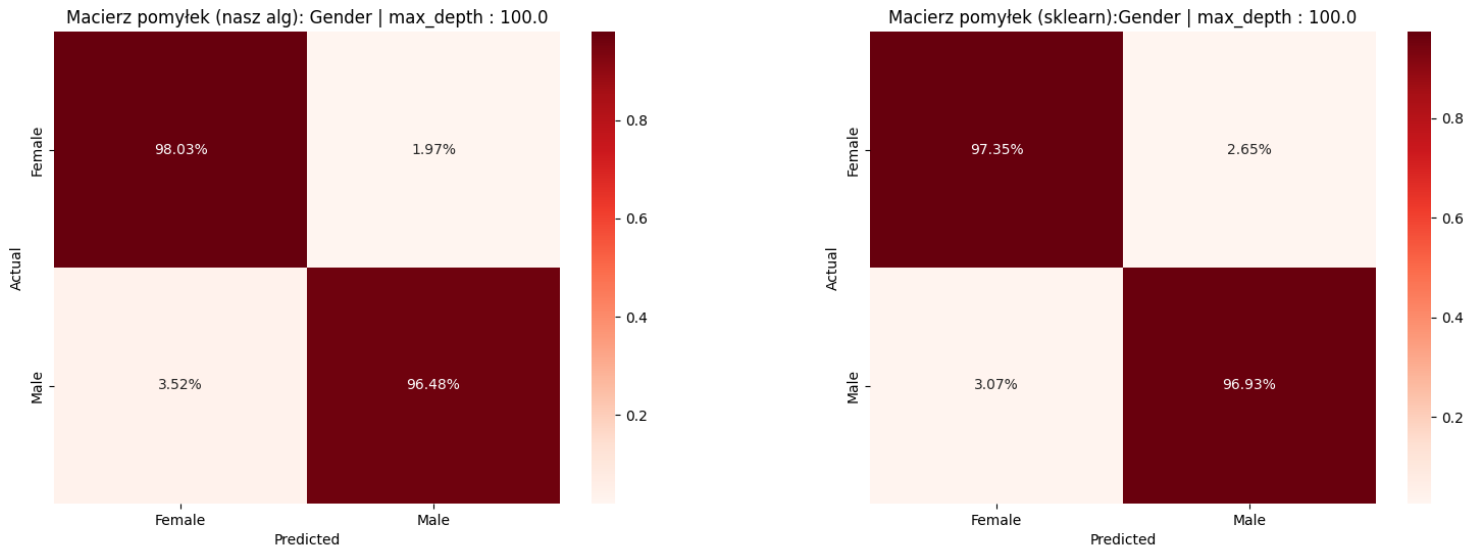
2.3.1 Tablica naszego algorytmu dla max_depth = 10.0

	TP	FN	FP	TN	ACC	TPR	PPV	TNR	FAR	F1	MCC	FPR
Female	491,3333	8,8667	17,4000	482,6000	0,9737	0,9823	0,9658	0,9652	0,0348	0,9740	0,9476	0,0348
Male	482,6000	17,4000	8,8667	491,3333	0,9737	0,9652	0,9820	0,9823	0,0177	0,9735	0,9476	0,0177
overall	973,9333	26,2667	26,2667	973,9333	0,9737	0,9737	0,9737	0,9737	0,0263	0,9737	0,9475	0,0263

2.3.1 Tablica porównawczego algorytmu dla max_depth = 10.0

	TP	FN	FP	TN	ACC	TPR	PPV	TNR	FAR	F1	MCC	FPR
Female	487,2000	13,0000	15,6000	484,4000	0,9714	0,9740	0,9690	0,9688	0,0312	0,9715	0,9428	0,0312
Male	484,4000	15,6000	13,0000	487,2000	0,9714	0,9688	0,9739	0,9740	0,0260	0,9713	0,9428	0,0260
overall	971,6000	28,6000	28,6000	971,6000	0,9714	0,9714	0,9714	0,9714	0,0286	0,9714	0,9428	0,0286

2.4.1 Porównanie confusion matrix dla max_depth = 100.0



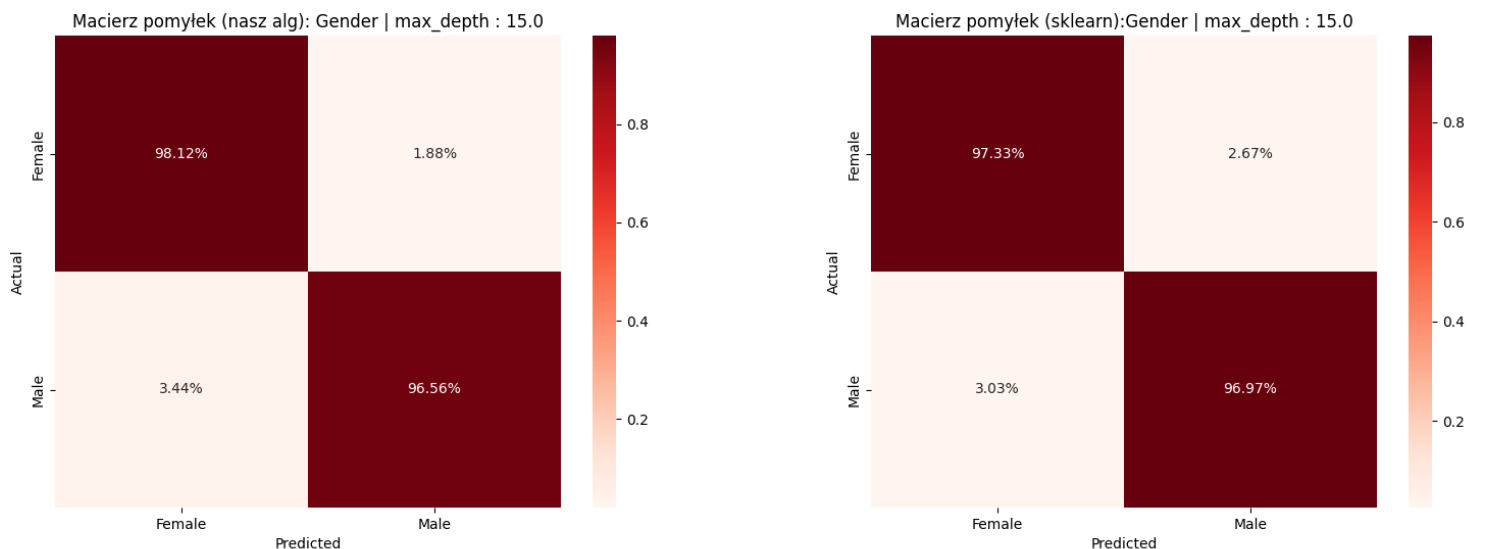
2.4.1 Tablica naszego algorytmu dla max_depth = 100.0

	TP	FN	FP	TN	ACC	TPR	PPV	TNR	FAR	F1	MCC	FPR
Female	490,3333	9,8667	17,6000	482,4000	0,9725	0,9803	0,9653	0,9648	0,0352	0,9727	0,9452	0,0352
Male	482,4000	17,6000	9,8667	490,3333	0,9725	0,9648	0,9800	0,9803	0,0197	0,9723	0,9452	0,0197
overall	972,7333	27,4667	27,4667	972,7333	0,9725	0,9725	0,9725	0,9725	0,0275	0,9725	0,9451	0,0275

2.4.1 Tablica porównawczego algorytmu dla max_depth = 100.0

	TP	FN	FP	TN	ACC	TPR	PPV	TNR	FAR	F1	MCC	FPR
Female	486,9333	13,2667	15,3333	484,6667	0,9714	0,9735	0,9695	0,9693	0,0307	0,9715	0,9428	0,0307
Male	484,6667	15,3333	13,2667	486,9333	0,9714	0,9693	0,9734	0,9735	0,0265	0,9713	0,9428	0,0265
overall	971,6000	28,6000	28,6000	971,6000	0,9714	0,9714	0,9714	0,9714	0,0286	0,9714	0,9428	0,0286

2.5.1 Porównanie confusion matrix dla max_depth = 15.0



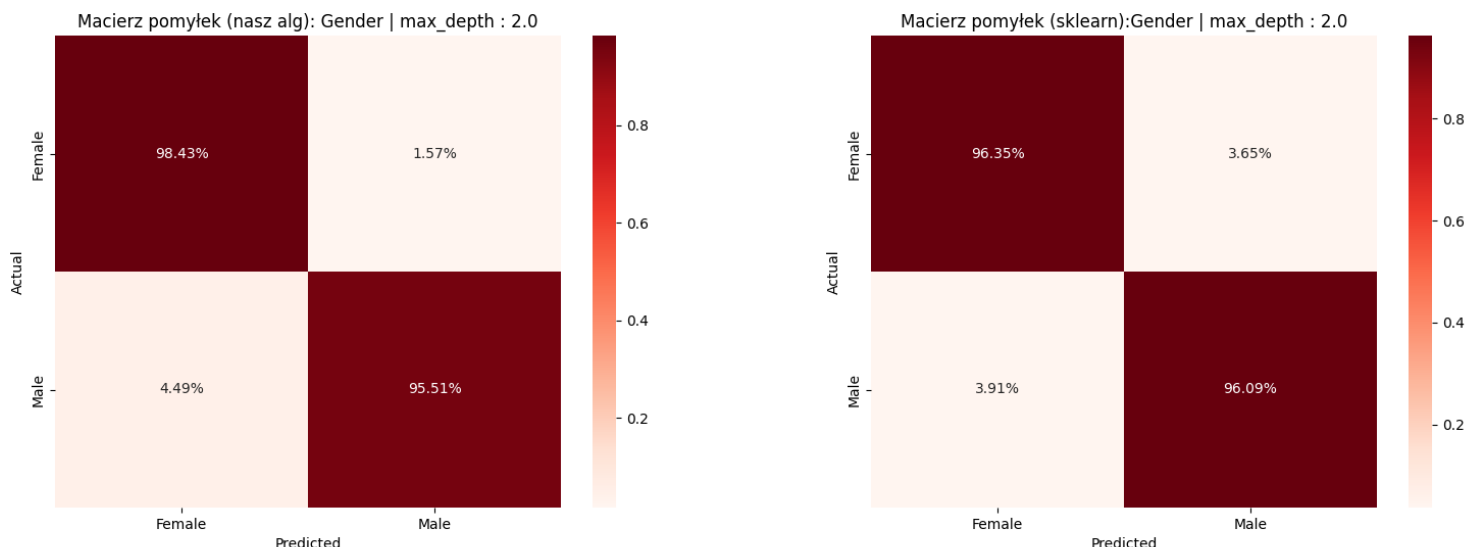
2.5.1 Tablica naszego algorytmu dla max_depth = 15.0

	TP	FN	FP	TN	ACC	TPR	PPV	TNR	FAR	F1	MCC	FPR
Female	490,8000	9,4000	17,2000	482,8000	0,9734	0,9812	0,9661	0,9656	0,0344	0,9736	0,9469	0,0344
Male	482,8000	17,2000	9,4000	490,8000	0,9734	0,9656	0,9809	0,9812	0,0188	0,9732	0,9469	0,0188
overall	973,6000	26,6000	26,6000	973,6000	0,9734	0,9734	0,9734	0,9734	0,0266	0,9734	0,9468	0,0266

2.5.1 Tablica porównawczego algorytmu dla max_depth = 15.0

	TP	FN	FP	TN	ACC	TPR	PPV	TNR	FAR	F1	MCC	FPR
Female	486,8667	13,3333	15,1333	484,8667	0,9715	0,9733	0,9699	0,9697	0,0303	0,9716	0,9431	0,0303
Male	484,8667	15,1333	13,3333	486,8667	0,9715	0,9697	0,9732	0,9733	0,0267	0,9714	0,9431	0,0267
overall	971,7333	28,4667	28,4667	971,7333	0,9715	0,9715	0,9715	0,9715	0,0285	0,9715	0,9431	0,0285

2.6.1 Porównanie confusion matrix dla max_depth = 2.0



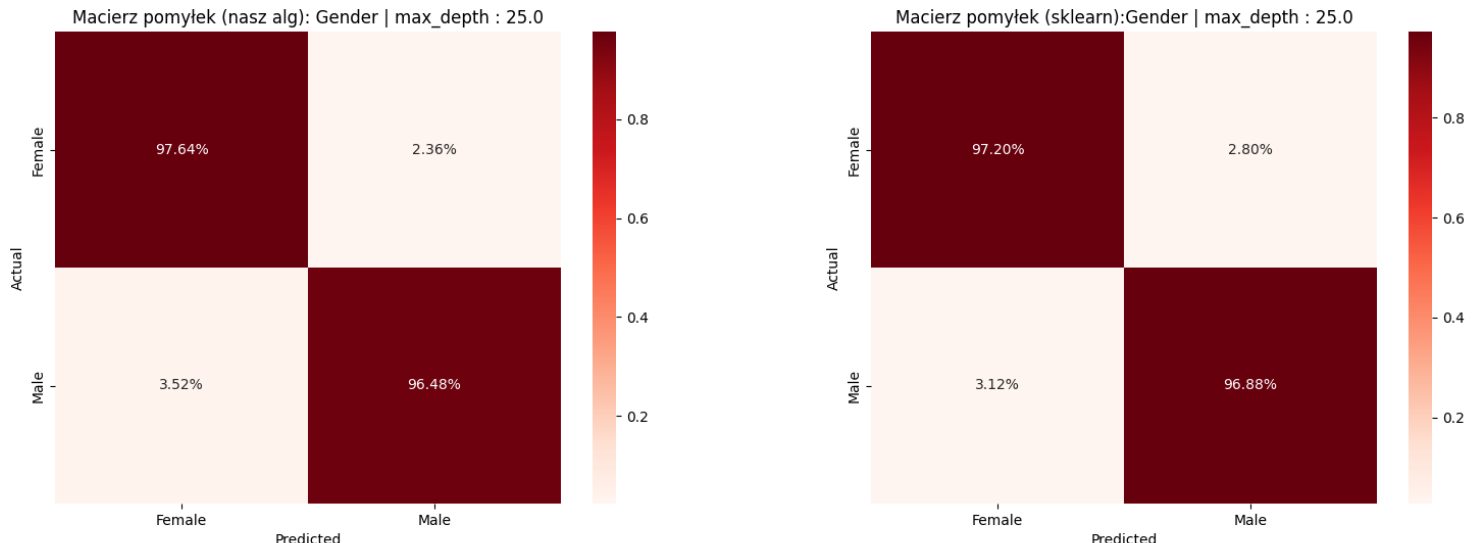
2.6.1 Tablica naszego algorytmu dla max_depth = 2.0

	TP	FN	FP	TN	ACC	TPR	PPV	TNR	FAR	F1	MCC	FPR
Female	492,3333	7,8667	22,4667	477,5333	0,9697	0,9843	0,9564	0,9551	0,0449	0,9701	0,9397	0,0449
Male	477,5333	22,4667	7,8667	492,3333	0,9697	0,9551	0,9838	0,9843	0,0157	0,9692	0,9397	0,0157
overall	969,8667	30,3333	30,3333	969,8667	0,9697	0,9697	0,9697	0,9697	0,0303	0,9697	0,9393	0,0303

2.6.1 Tablica porównawczego algorytmu dla max_depth = 2.0

	TP	FN	FP	TN	ACC	TPR	PPV	TNR	FAR	F1	MCC	FPR
Female	481,9333	18,2667	19,5333	480,4667	0,9622	0,9635	0,9610	0,9609	0,0391	0,9622	0,9244	0,0391
Male	480,4667	19,5333	18,2667	481,9333	0,9622	0,9609	0,9634	0,9635	0,0365	0,9621	0,9244	0,0365
overall	962,4000	37,8000	37,8000	962,4000	0,9622	0,9622	0,9622	0,9622	0,0378	0,9622	0,9244	0,0378

2.7.1 Porównanie confusion matrix dla max_depth = 25.0



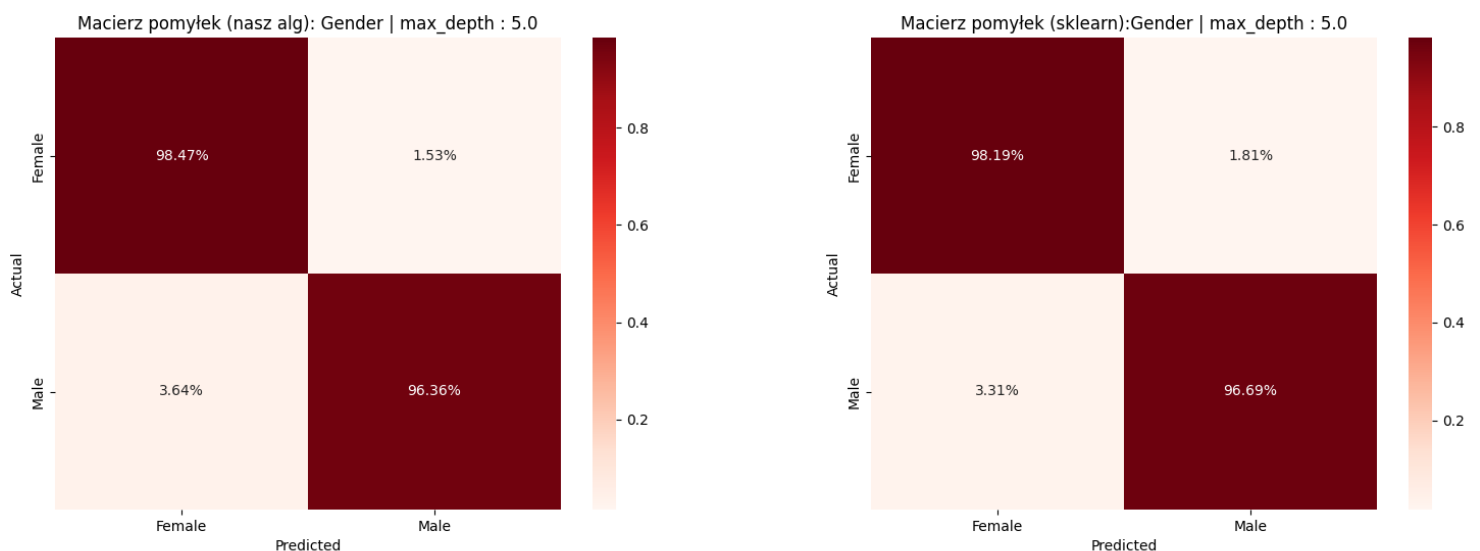
2.7.1 Tablica naszego algorytmu dla max_depth = 25.0

	TP	FN	FP	TN	ACC	TPR	PPV	TNR	FAR	F1	MCC	FPR
Female	488,4000	11,8000	17,6000	482,4000	0,9706	0,9764	0,9652	0,9648	0,0352	0,9708	0,9413	0,0352
Male	482,4000	17,6000	11,8000	488,4000	0,9706	0,9648	0,9761	0,9764	0,0236	0,9704	0,9413	0,0236
overall	970,8000	29,4000	29,4000	970,8000	0,9706	0,9706	0,9706	0,9706	0,0294	0,9706	0,9412	0,0294

2.7.1 Tablica porównawczego algorytmu dla max_depth = 25.0

	TP	FN	FP	TN	ACC	TPR	PPV	TNR	FAR	F1	MCC	FPR
Female	486,2000	14,0000	15,6000	484,4000	0,9704	0,9720	0,9689	0,9688	0,0312	0,9704	0,9408	0,0312
Male	484,4000	15,6000	14,0000	486,2000	0,9704	0,9688	0,9719	0,9720	0,0280	0,9703	0,9408	0,0280
overall	970,6000	29,6000	29,6000	970,6000	0,9704	0,9704	0,9704	0,9704	0,0296	0,9704	0,9408	0,0296

2.8.1 Porównanie confusion matrix dla max_depth = 5.0



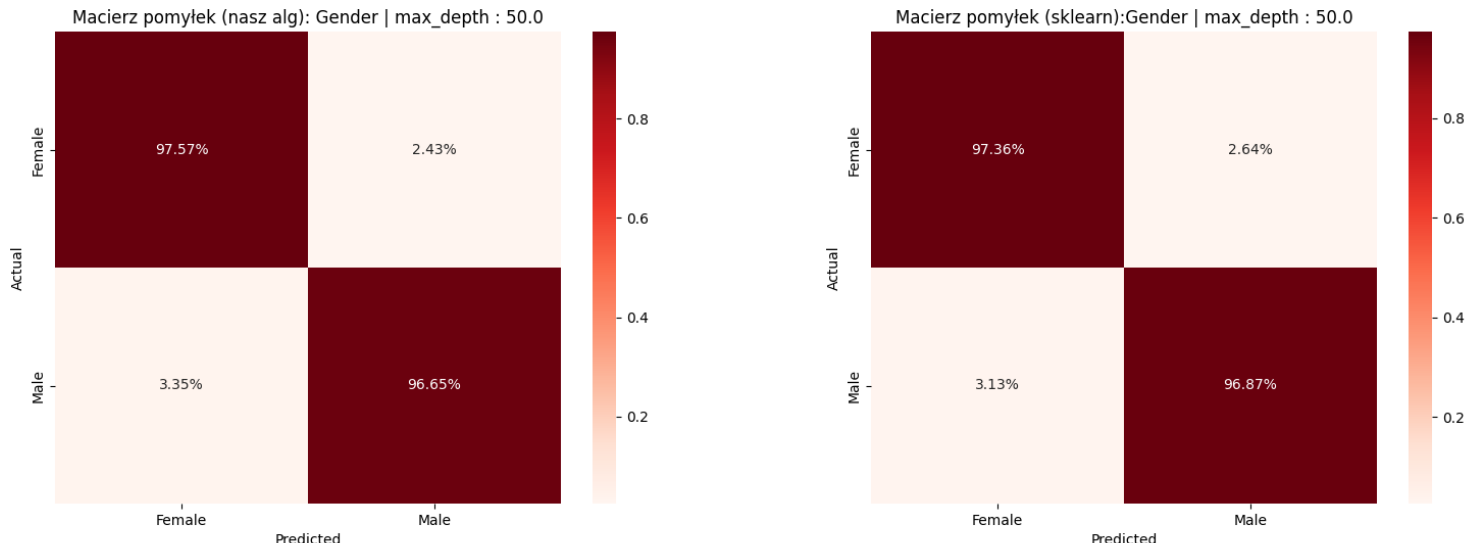
2.8.1 Tablica naszego algorytmu dla max_depth = 5.0

	TP	FN	FP	TN	ACC	TPR	PPV	TNR	FAR	F1	MCC	FPR
Female	492,5333	7,6667	18,2000	481,8000	0,9741	0,9847	0,9644	0,9636	0,0364	0,9744	0,9485	0,0364
Male	481,8000	18,2000	7,6667	492,5333	0,9741	0,9636	0,9843	0,9847	0,0153	0,9738	0,9485	0,0153
overall	974,3333	25,8667	25,8667	974,3333	0,9741	0,9741	0,9741	0,9741	0,0259	0,9741	0,9483	0,0259

2.8.1 Tablica porównawczego algorytmu dla max_depth = 5.0

	TP	FN	FP	TN	ACC	TPR	PPV	TNR	FAR	F1	MCC	FPR
Female	491,1333	9,0667	16,5333	483,4667	0,9744	0,9819	0,9674	0,9669	0,0331	0,9746	0,9489	0,0331
Male	483,4667	16,5333	9,0667	491,1333	0,9744	0,9669	0,9816	0,9819	0,0181	0,9742	0,9489	0,0181
overall	974,6000	25,6000	25,6000	974,6000	0,9744	0,9744	0,9744	0,9744	0,0256	0,9744	0,9488	0,0256

2.9.1 Porównanie confusion matrix dla max_depth = 50.0



2.9.1 Tablica naszego algorytmu dla max_depth = 50.0

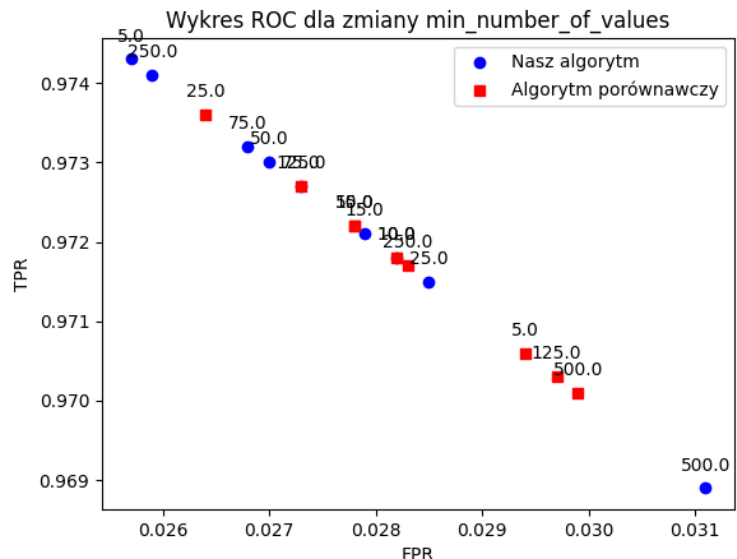
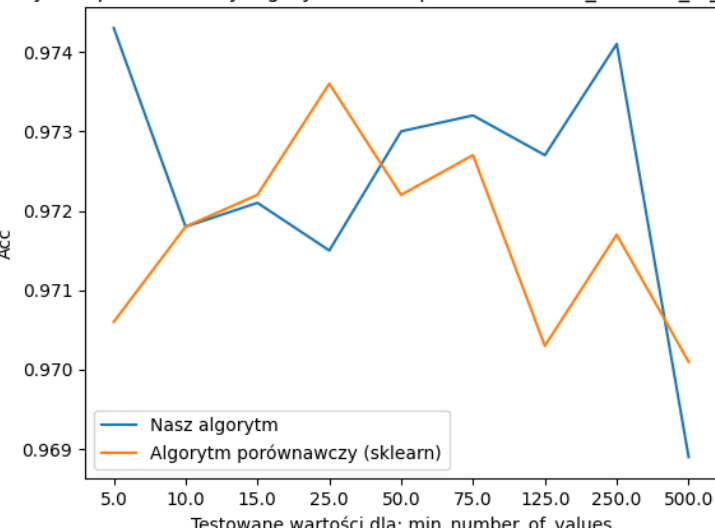
	TP	FN	FP	TN	ACC	TPR	PPV	TNR	FAR	F1	MCC	FPR
Female	488,0667	12,1333	16,7333	483,2667	0,9711	0,9757	0,9669	0,9665	0,0335	0,9713	0,9423	0,0335
Male	483,2667	16,7333	12,1333	488,0667	0,9711	0,9665	0,9755	0,9757	0,0243	0,9710	0,9423	0,0243
overall	971,3333	28,8667	28,8667	971,3333	0,9711	0,9711	0,9711	0,9711	0,0289	0,9711	0,9423	0,0289

2.9.1 Tablica porównawczego algorytmu dla max_depth = 50.0

	TP	FN	FP	TN	ACC	TPR	PPV	TNR	FAR	F1	MCC	FPR
Female	487,0000	13,2000	15,6667	484,3333	0,9711	0,9736	0,9688	0,9687	0,0313	0,9712	0,9423	0,0313
Male	484,3333	15,6667	13,2000	487,0000	0,9711	0,9687	0,9735	0,9736	0,0264	0,9711	0,9423	0,0264
overall	971,3333	28,8667	28,8667	971,3333	0,9711	0,9711	0,9711	0,9711	0,0289	0,9711	0,9423	0,0289

3.1.1 Wykres precyzji oraz wykres ROC dla zmiany parametru: min_number_of_values

Wykres porównawczy algorytmów dla parametru: min_number_of_values



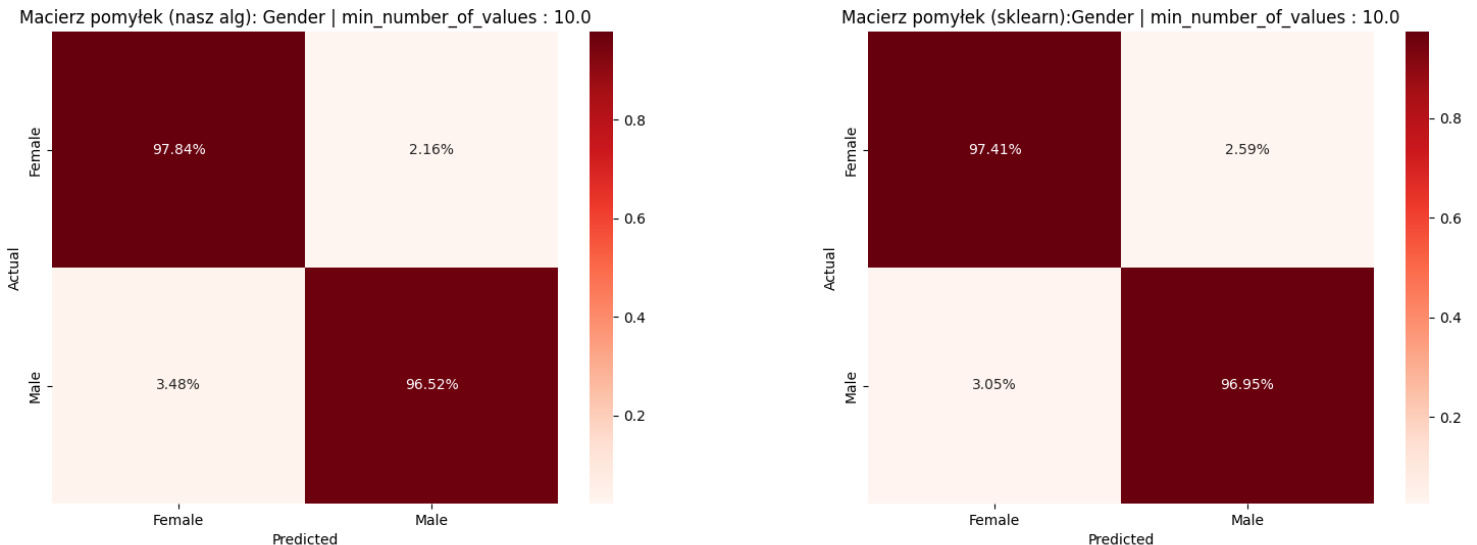
3.1.1 Tablica naszego algorytmu dla zmiany parametru: min_number_of_values

	TN	FP	FN	TP	ACC	TPR	PPV	TNR	FAR	F1	MCC	FPR
5.0	974,5333	25,6667	25,6667	974,5333	0,9743	0,9743	0,9743	0,9743	0,0257	0,9743	0,9487	0,0257
10.0	972,0000	28,2000	28,2000	972,0000	0,9718	0,9718	0,9718	0,9718	0,0282	0,9718	0,9436	0,0282
15.0	972,2667	27,9333	27,9333	972,2667	0,9721	0,9721	0,9721	0,9721	0,0279	0,9721	0,9441	0,0279
25.0	971,7333	28,4667	28,4667	971,7333	0,9715	0,9715	0,9715	0,9715	0,0285	0,9715	0,9431	0,0285
50.0	973,2000	27,0000	27,0000	973,2000	0,9730	0,9730	0,9730	0,9730	0,0270	0,9730	0,9460	0,0270
75.0	973,4000	26,8000	26,8000	973,4000	0,9732	0,9732	0,9732	0,9732	0,0268	0,9732	0,9464	0,0268
125.0	972,8667	27,3333	27,3333	972,8667	0,9727	0,9727	0,9727	0,9727	0,0273	0,9727	0,9453	0,0273
250.0	974,3333	25,8667	25,8667	974,3333	0,9741	0,9741	0,9741	0,9741	0,0259	0,9741	0,9483	0,0259
500.0	969,0667	31,1333	31,1333	969,0667	0,9689	0,9689	0,9689	0,9689	0,0311	0,9689	0,9377	0,0311

3.1.1 Tablica porównawczego algorytmu dla zmiany parametru: min_number_of_values

	TN	FP	FN	TP	ACC	TPR	PPV	TNR	FAR	F1	MCC	FPR
5.0	970,8000	29,4000	29,4000	970,8000	0,9706	0,9706	0,9706	0,9706	0,0294	0,9706	0,9412	0,0294
10.0	972,0000	28,2000	28,2000	972,0000	0,9718	0,9718	0,9718	0,9718	0,0282	0,9718	0,9436	0,0282
15.0	972,4000	27,8000	27,8000	972,4000	0,9722	0,9722	0,9722	0,9722	0,0278	0,9722	0,9444	0,0278
25.0	973,8000	26,4000	26,4000	973,8000	0,9736	0,9736	0,9736	0,9736	0,0264	0,9736	0,9472	0,0264
50.0	972,4000	27,8000	27,8000	972,4000	0,9722	0,9722	0,9722	0,9722	0,0278	0,9722	0,9444	0,0278
75.0	972,8667	27,3333	27,3333	972,8667	0,9727	0,9727	0,9727	0,9727	0,0273	0,9727	0,9453	0,0273
125.0	970,5333	29,6667	29,6667	970,5333	0,9703	0,9703	0,9703	0,9703	0,0297	0,9703	0,9407	0,0297
250.0	971,8667	28,3333	28,3333	971,8667	0,9717	0,9717	0,9717	0,9717	0,0283	0,9717	0,9433	0,0283
500.0	970,2667	29,9333	29,9333	970,2667	0,9701	0,9701	0,9701	0,9701	0,0299	0,9701	0,9401	0,0299

3.2.1 Porównanie macierzy pomyłek dla min_number_of_values = 10.0



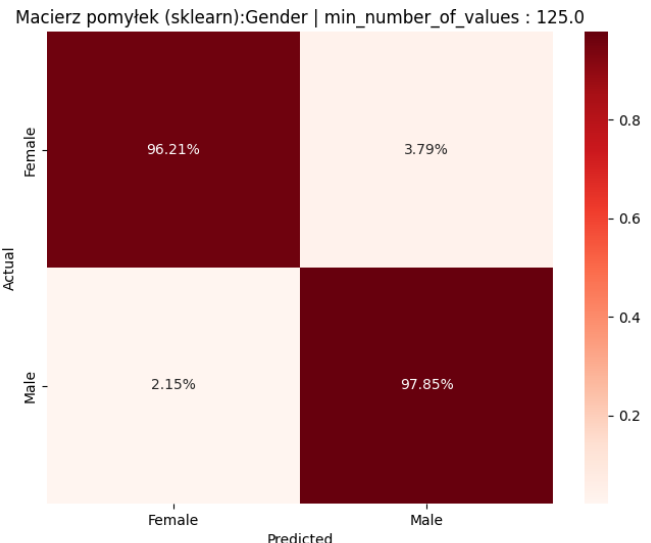
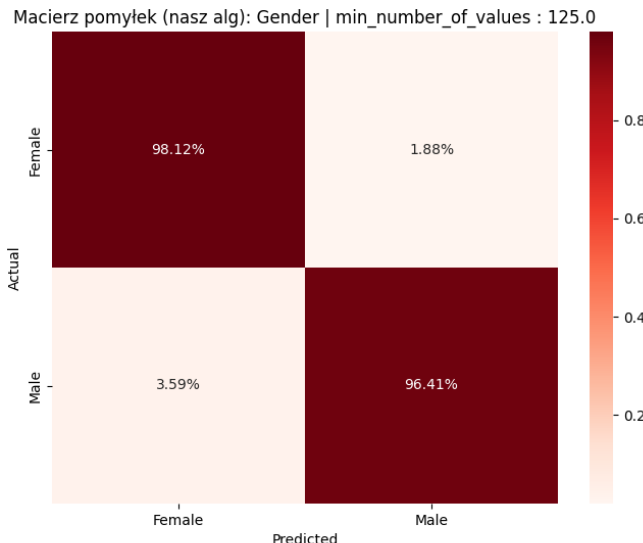
3.2.1 Tablica naszego algorytmu dla min_number_of_values = 10.0

	TP	FN	FP	TN	ACC	TPR	PPV	TNR	FAR	F1	MCC	FPR
Female	489,4000	10,8000	17,4000	482,6000	0,9718	0,9784	0,9657	0,9652	0,0348	0,9720	0,9437	0,0348
Male	482,6000	17,4000	10,8000	489,4000	0,9718	0,9652	0,9781	0,9784	0,0216	0,9716	0,9437	0,0216
overall	972,0000	28,2000	28,2000	972,0000	0,9718	0,9718	0,9718	0,9718	0,0282	0,9718	0,9436	0,0282

3.2.1 Tablica porównawczego algorytmu dla min_number_of_values = 10.0

	TP	FN	FP	TN	ACC	TPR	PPV	TNR	FAR	F1	MCC	FPR
Female	487,2667	12,9333	15,2667	484,7333	0,9718	0,9741	0,9696	0,9695	0,0305	0,9718	0,9436	0,0305
Male	484,7333	15,2667	12,9333	487,2667	0,9718	0,9695	0,9740	0,9741	0,0259	0,9717	0,9436	0,0259
overall	972,0000	28,2000	28,2000	972,0000	0,9718	0,9718	0,9718	0,9718	0,0282	0,9718	0,9436	0,0282

3.3.1 Porównanie confusion matrix dla min_number_of_values = 125.0



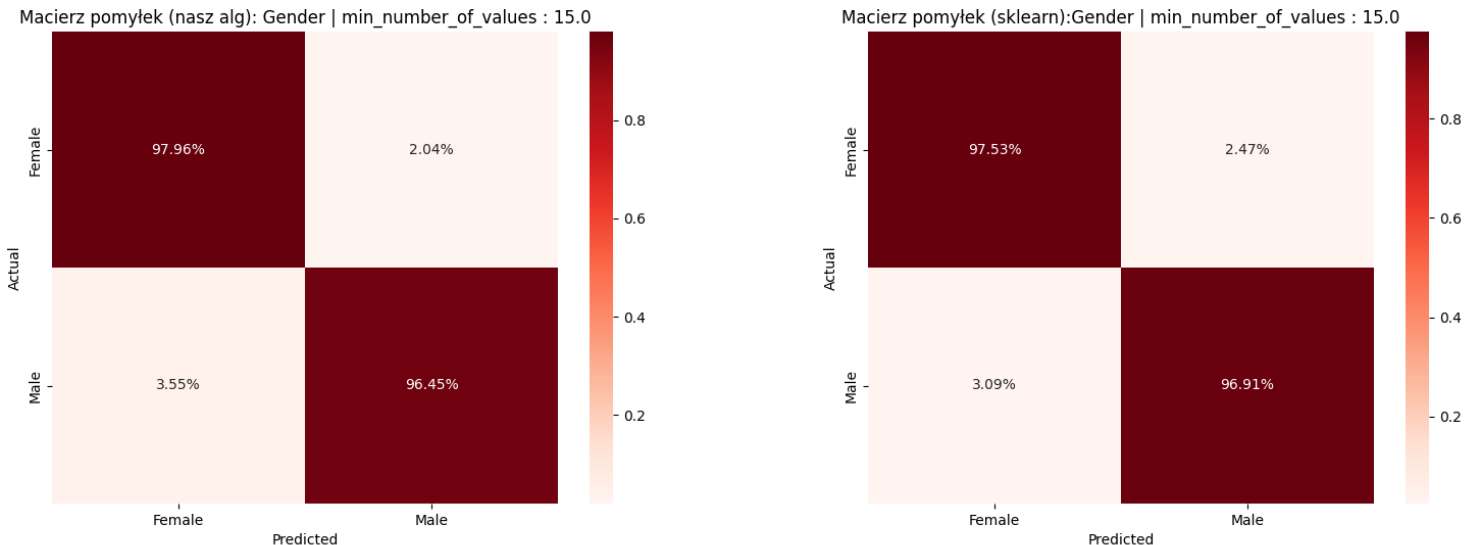
3.3.1 Tablica naszego algorytmu dla min_number_of_values = 125.0

	TP	FN	FP	TN	ACC	TPR	PPV	TNR	FAR	F1	MCC	FPR
Female	490,8000	9,4000	17,9333	482,0667	0,9727	0,9812	0,9647	0,9641	0,0359	0,9729	0,9455	0,0359
Male	482,0667	17,9333	9,4000	490,8000	0,9727	0,9641	0,9809	0,9812	0,0188	0,9724	0,9455	0,0188
overall	972,8667	27,3333	27,3333	972,8667	0,9727	0,9727	0,9727	0,9727	0,0273	0,9727	0,9453	0,0273

3.3.1 Tablica porównawczego algorytmu dla min_number_of_values = 125.0

	TP	FN	FP	TN	ACC	TPR	PPV	TNR	FAR	F1	MCC	FPR
Female	481,2667	18,9333	10,7333	489,2667	0,9703	0,9621	0,9782	0,9785	0,0215	0,9701	0,9408	0,0215
Male	489,2667	10,7333	18,9333	481,2667	0,9703	0,9785	0,9627	0,9621	0,0379	0,9705	0,9408	0,0379
overall	970,5333	29,6667	29,6667	970,5333	0,9703	0,9703	0,9703	0,9703	0,0297	0,9703	0,9407	0,0297

3.4.1 Porównanie confusion matrix dla min_number_of_values = 15.0



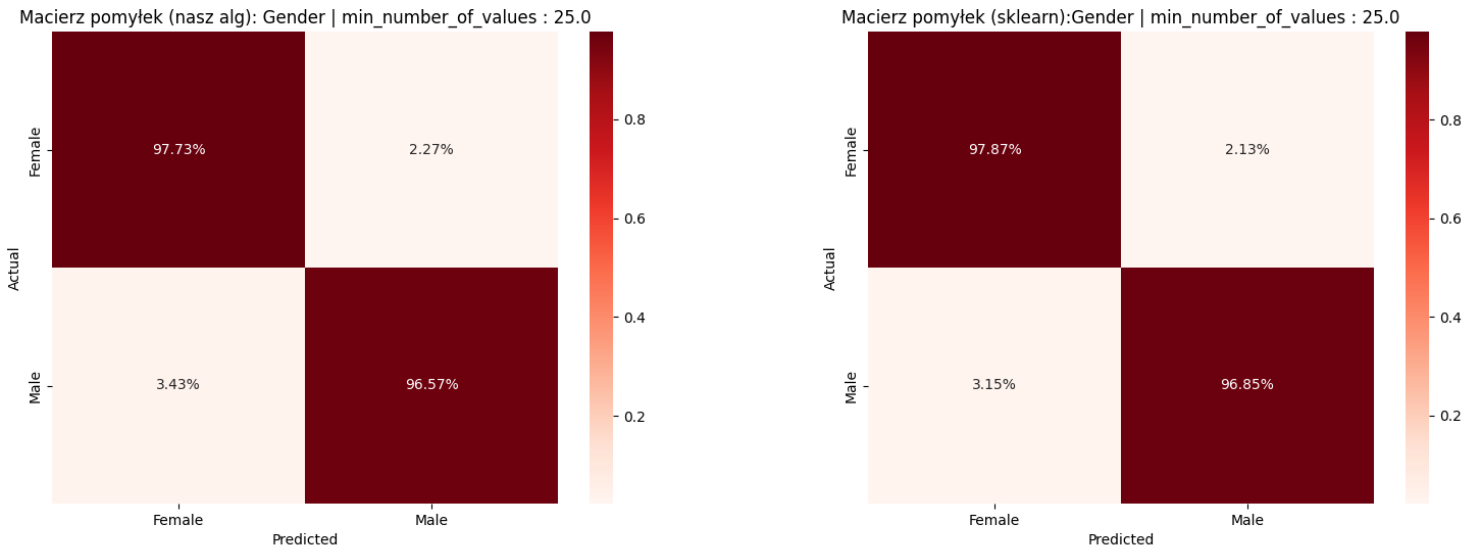
3.4.1 Tablica naszego algorytmu dla min_number_of_values = 15.0

	TP	FN	FP	TN	ACC	TPR	PPV	TNR	FAR	F1	MCC	FPR
Female	490,0000	10,2000	17,7333	482,2667	0,9721	0,9796	0,9651	0,9645	0,0355	0,9723	0,9443	0,0355
Male	482,2667	17,7333	10,2000	490,0000	0,9721	0,9645	0,9793	0,9796	0,0204	0,9718	0,9443	0,0204
overall	972,2667	27,9333	27,9333	972,2667	0,9721	0,9721	0,9721	0,9721	0,0279	0,9721	0,9441	0,0279

3.4.1 Tablica porównawczego algorytmu dla min_number_of_values = 15.0

	TP	FN	FP	TN	ACC	TPR	PPV	TNR	FAR	F1	MCC	FPR
Female	487,8667	12,3333	15,4667	484,5333	0,9722	0,9753	0,9693	0,9691	0,0309	0,9723	0,9444	0,0309
Male	484,5333	15,4667	12,3333	487,8667	0,9722	0,9691	0,9752	0,9753	0,0247	0,9721	0,9444	0,0247
overall	972,4000	27,8000	27,8000	972,4000	0,9722	0,9722	0,9722	0,9722	0,0278	0,9722	0,9444	0,0278

3.5.1 Porównanie confusion matrix dla min_number_of_values = 25.0



3.5.1 Tablica naszego algorytmu dla min_number_of_values = 25.0

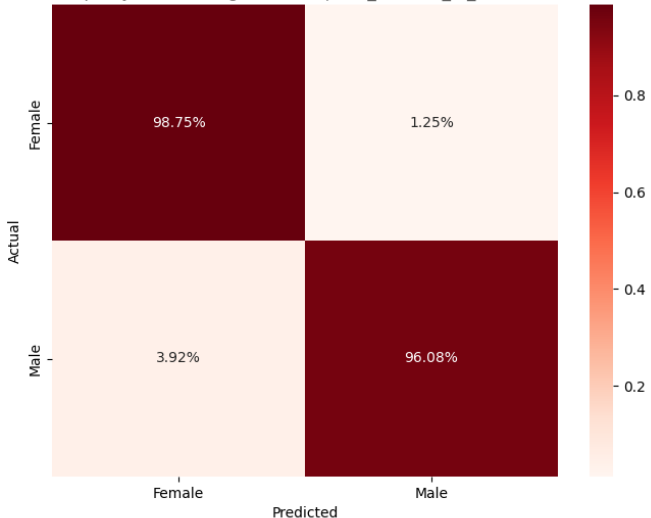
	TP	FN	FP	TN	ACC	TPR	PPV	TNR	FAR	F1	MCC	FPR
Female	488,8667	11,3333	17,1333	482,8667	0,9715	0,9773	0,9661	0,9657	0,0343	0,9717	0,9431	0,0343
Male	482,8667	17,1333	11,3333	488,8667	0,9715	0,9657	0,9771	0,9773	0,0227	0,9714	0,9431	0,0227
overall	971,7333	28,4667	28,4667	971,7333	0,9715	0,9715	0,9715	0,9715	0,0285	0,9715	0,9431	0,0285

3.5.1 Tablica porównawczego algorytmu dla min_number_of_values = 25.0

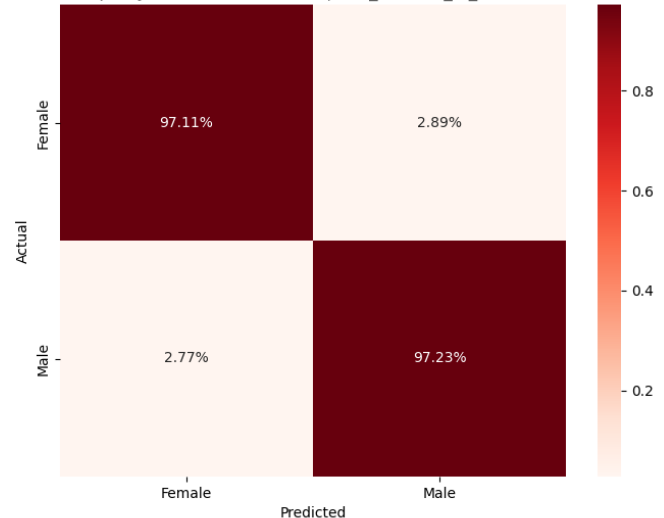
	TP	FN	FP	TN	ACC	TPR	PPV	TNR	FAR	F1	MCC	FPR
Female	489,5333	10,6667	15,7333	484,2667	0,9736	0,9787	0,9689	0,9685	0,0315	0,9738	0,9473	0,0315
Male	484,2667	15,7333	10,6667	489,5333	0,9736	0,9685	0,9784	0,9787	0,0213	0,9734	0,9473	0,0213
overall	973,8000	26,4000	26,4000	973,8000	0,9736	0,9736	0,9736	0,9736	0,0264	0,9736	0,9472	0,0264

3.6.1 Porównanie confusion matrix dla min_number_of_values = 250.0

Macierz pomylek (nasz alg): Gender | min_number_of_values : 250.0



Macierz pomylek (sklearn):Gender | min_number_of_values : 250.0



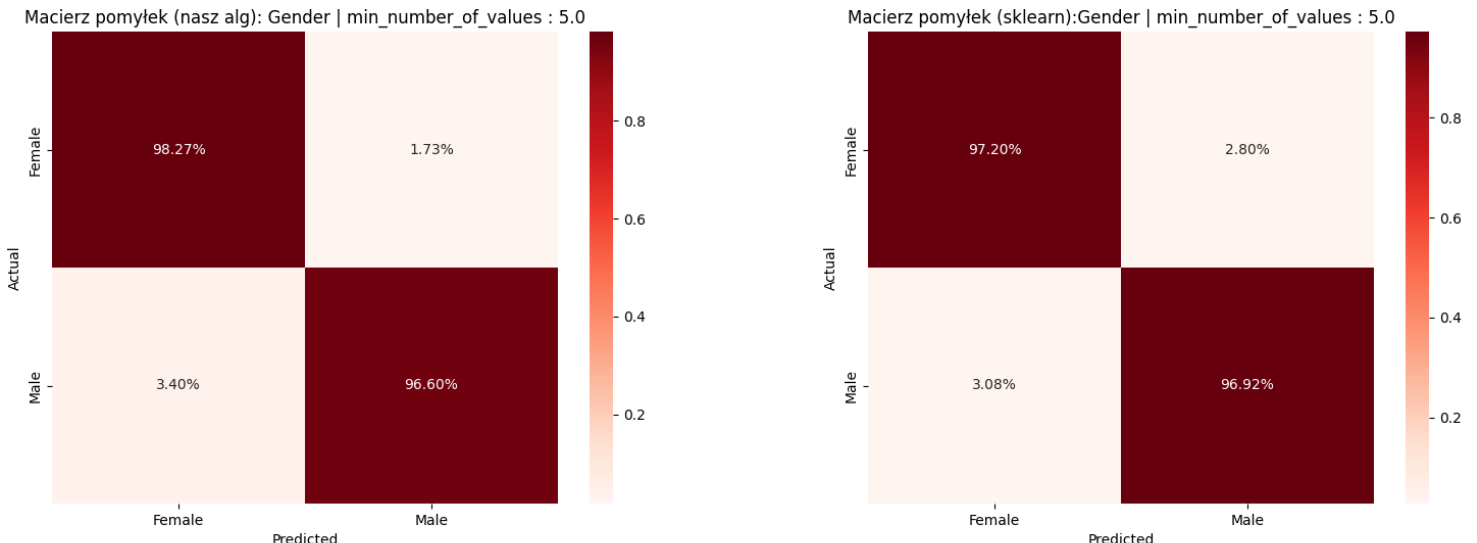
3.6.1 Tablica naszego algorytmu dla min_number_of_values = 250.0

	TP	FN	FP	TN	ACC	TPR	PPV	TNR	FAR	F1	MCC	FPR
Female	493,9333	6,2667	19,6000	480,4000	0,9741	0,9875	0,9618	0,9608	0,0392	0,9745	0,9486	0,0392
Male	480,4000	19,6000	6,2667	493,9333	0,9741	0,9608	0,9871	0,9875	0,0125	0,9738	0,9486	0,0125
overall	974,3333	25,8667	25,8667	974,3333	0,9741	0,9741	0,9741	0,9741	0,0259	0,9741	0,9483	0,0259

3.6.1 Tablica porównawczego algorytmu dla min_number_of_values = 250.0

	TP	FN	FP	TN	ACC	TPR	PPV	TNR	FAR	F1	MCC	FPR
Female	485,7333	14,4667	13,8667	486,1333	0,9717	0,9711	0,9722	0,9723	0,0277	0,9716	0,9433	0,0277
Male	486,1333	13,8667	14,4667	485,7333	0,9717	0,9723	0,9711	0,9711	0,0289	0,9717	0,9433	0,0289
overall	971,8667	28,3333	28,3333	971,8667	0,9717	0,9717	0,9717	0,9717	0,0283	0,9717	0,9433	0,0283

3.7.1 Porównanie confusion matrix dla min_number_of_values = 5.0



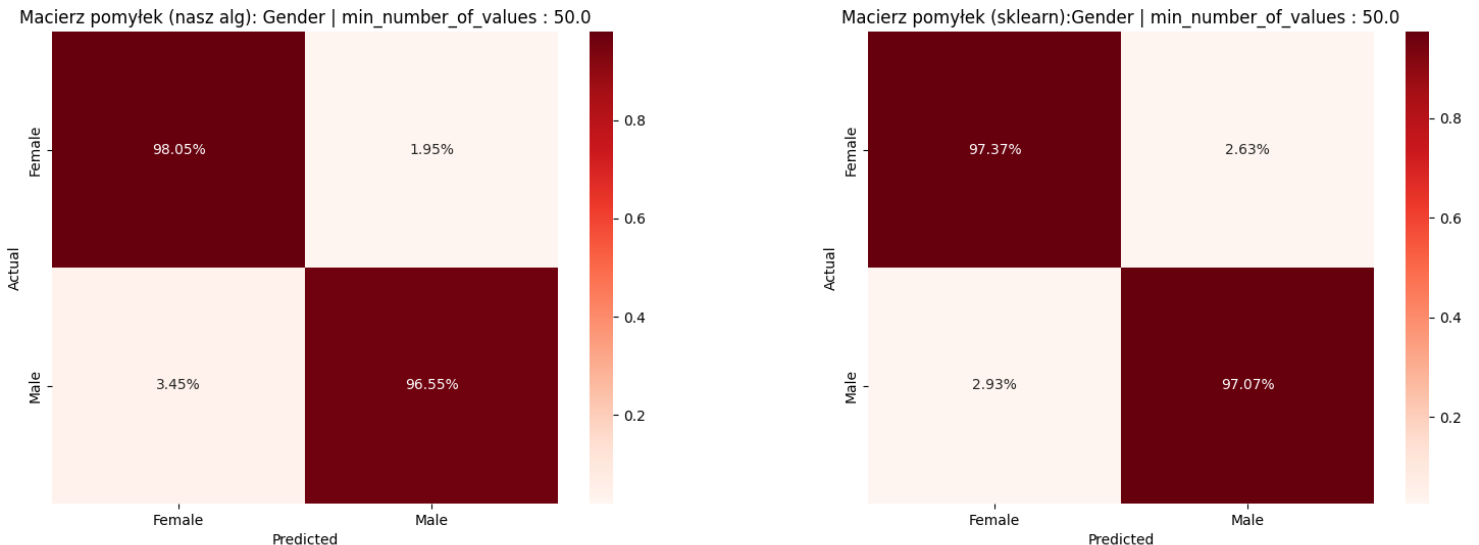
3.7.1 Tablica naszego algorytmu dla min_number_of_values = 5.0

	TP	FN	FP	TN	ACC	TPR	PPV	TNR	FAR	F1	MCC	FPR
Female	491,5333	8,6667	17,0000	483,0000	0,9743	0,9827	0,9666	0,9660	0,0340	0,9746	0,9488	0,0340
Male	483,0000	17,0000	8,6667	491,5333	0,9743	0,9660	0,9824	0,9827	0,0173	0,9741	0,9488	0,0173
overall	974,5333	25,6667	25,6667	974,5333	0,9743	0,9743	0,9743	0,9743	0,0257	0,9743	0,9487	0,0257

3.7.1 Tablica porównawczego algorytmu dla min_number_of_values = 5.0

	TP	FN	FP	TN	ACC	TPR	PPV	TNR	FAR	F1	MCC	FPR
Female	486,2000	14,0000	15,4000	484,6000	0,9706	0,9720	0,9693	0,9692	0,0308	0,9706	0,9412	0,0308
Male	484,6000	15,4000	14,0000	486,2000	0,9706	0,9692	0,9719	0,9720	0,0280	0,9705	0,9412	0,0280
overall	970,8000	29,4000	29,4000	970,8000	0,9706	0,9706	0,9706	0,9706	0,0294	0,9706	0,9412	0,0294

3.8.1 Porównanie confusion matrix dla min_number_of_values = 50.0



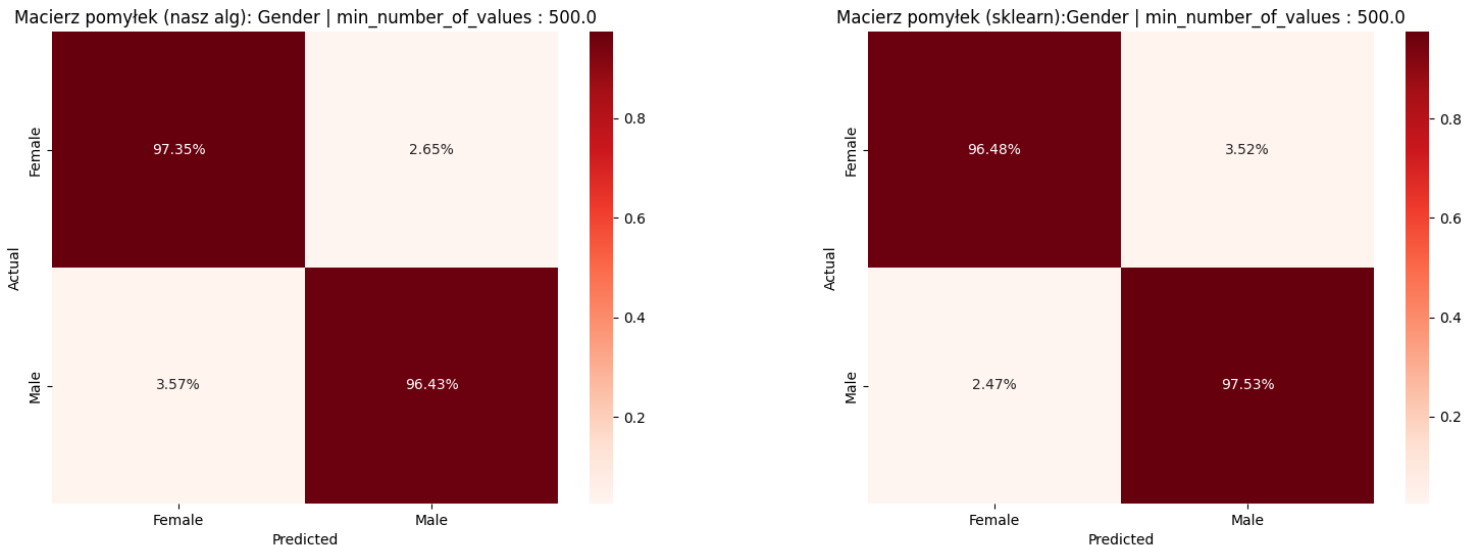
3.8.1 Tablica naszego algorytmu dla min_number_of_values = 50.0

	TP	FN	FP	TN	ACC	TPR	PPV	TNR	FAR	F1	MCC	FPR
Female	490,4667	9,7333	17,2667	482,7333	0,9730	0,9805	0,9660	0,9655	0,0345	0,9732	0,9461	0,0345
Male	482,7333	17,2667	9,7333	490,4667	0,9730	0,9655	0,9802	0,9805	0,0195	0,9728	0,9461	0,0195
overall	973,2000	27,0000	27,0000	973,2000	0,9730	0,9730	0,9730	0,9730	0,0270	0,9730	0,9460	0,0270

3.8.1 Tablica porównawczego algorytmu dla min_number_of_values = 50.0

	TP	FN	FP	TN	ACC	TPR	PPV	TNR	FAR	F1	MCC	FPR
Female	487,0667	13,1333	14,6667	485,3333	0,9722	0,9737	0,9708	0,9707	0,0293	0,9722	0,9444	0,0293
Male	485,3333	14,6667	13,1333	487,0667	0,9722	0,9707	0,9737	0,9737	0,0263	0,9722	0,9444	0,0263
overall	972,4000	27,8000	27,8000	972,4000	0,9722	0,9722	0,9722	0,9722	0,0278	0,9722	0,9444	0,0278

3.9.1 Porównanie confusion matrix dla min_number_of_values = 500.0



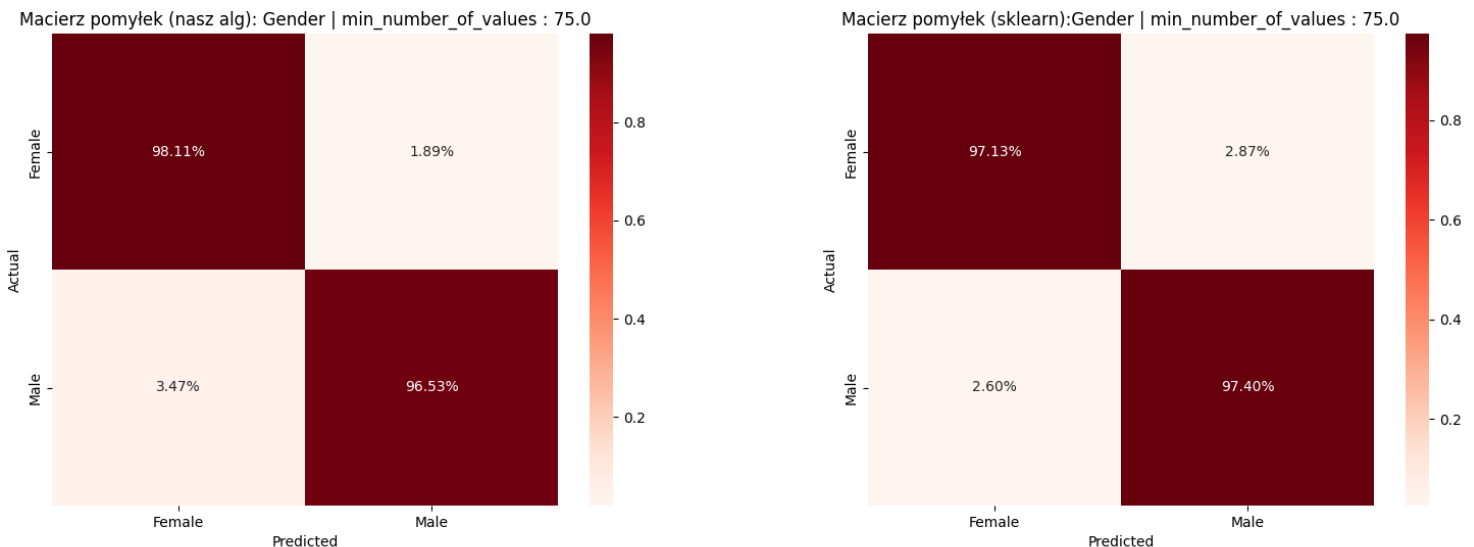
3.9.1 Tablica naszego algorytmu dla min_number_of_values = 500.0

	TP	FN	FP	TN	ACC	TPR	PPV	TNR	FAR	F1	MCC	FPR
Female	486,9333	13,2667	17,8667	482,1333	0,9689	0,9735	0,9646	0,9643	0,0357	0,9690	0,9378	0,0357
Male	482,1333	17,8667	13,2667	486,9333	0,9689	0,9643	0,9732	0,9735	0,0265	0,9687	0,9378	0,0265
overall	969,0667	31,1333	31,1333	969,0667	0,9689	0,9689	0,9689	0,9689	0,0311	0,9689	0,9377	0,0311

3.9.1 Tablica porównawczego algorytmu dla min_number_of_values = 500.0

	TP	FN	FP	TN	ACC	TPR	PPV	TNR	FAR	F1	MCC	FPR
Female	482,6000	17,6000	12,3333	487,6667	0,9701	0,9648	0,9751	0,9753	0,0247	0,9699	0,9402	0,0247
Male	487,6667	12,3333	17,6000	482,6000	0,9701	0,9753	0,9652	0,9648	0,0352	0,9702	0,9402	0,0352
overall	970,2667	29,9333	29,9333	970,2667	0,9701	0,9701	0,9701	0,9701	0,0299	0,9701	0,9401	0,0299

3.10.1 Porównanie confusion matrix dla min_number_of_values = 75.0



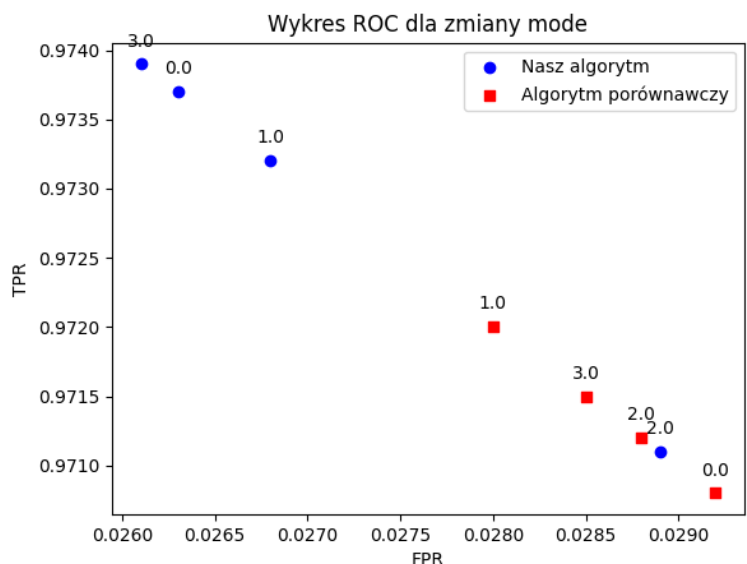
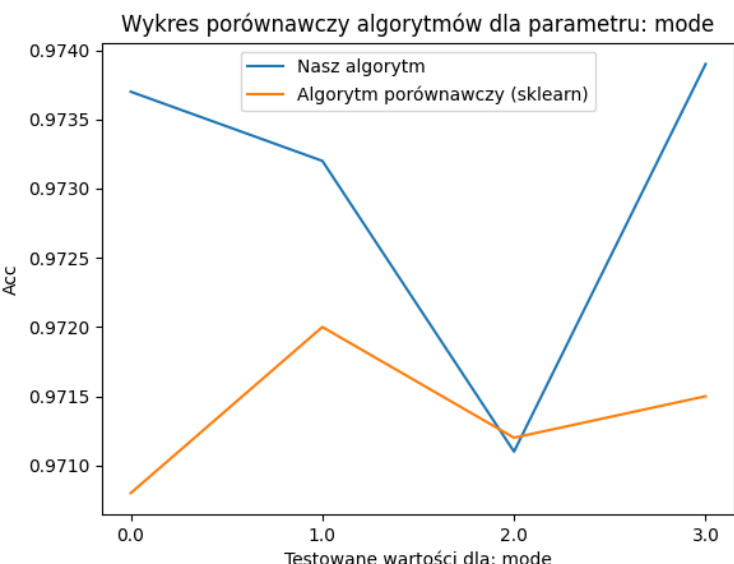
3.10.1 Tablica naszego algorytmu dla min_number_of_values = 75.0

	TP	FN	FP	TN	ACC	TPR	PPV	TNR	FAR	F1	MCC	FPR
Female	490,7333	9,4667	17,3333	482,6667	0,9732	0,9811	0,9659	0,9653	0,0347	0,9734	0,9465	0,0347
Male	482,6667	17,3333	9,4667	490,7333	0,9732	0,9653	0,9808	0,9811	0,0189	0,9730	0,9465	0,0189
overall	973,4000	26,8000	26,8000	973,4000	0,9732	0,9732	0,9732	0,9732	0,0268	0,9732	0,9464	0,0268

3.10.1 Tablica porównawczego algorytmu dla min_number_of_values = 75.0

	TP	FN	FP	TN	ACC	TPR	PPV	TNR	FAR	F1	MCC	FPR
Female	485,8667	14,3333	13,0000	487,0000	0,9727	0,9713	0,9739	0,9740	0,0260	0,9726	0,9453	0,0260
Male	487,0000	13,0000	14,3333	485,8667	0,9727	0,9740	0,9714	0,9713	0,0287	0,9727	0,9453	0,0287
overall	972,8667	27,3333	27,3333	972,8667	0,9727	0,9727	0,9727	0,9727	0,0273	0,9727	0,9453	0,0273

4.1.1 Wykres precyzji oraz wykres ROC dla zmiany parametru: mode



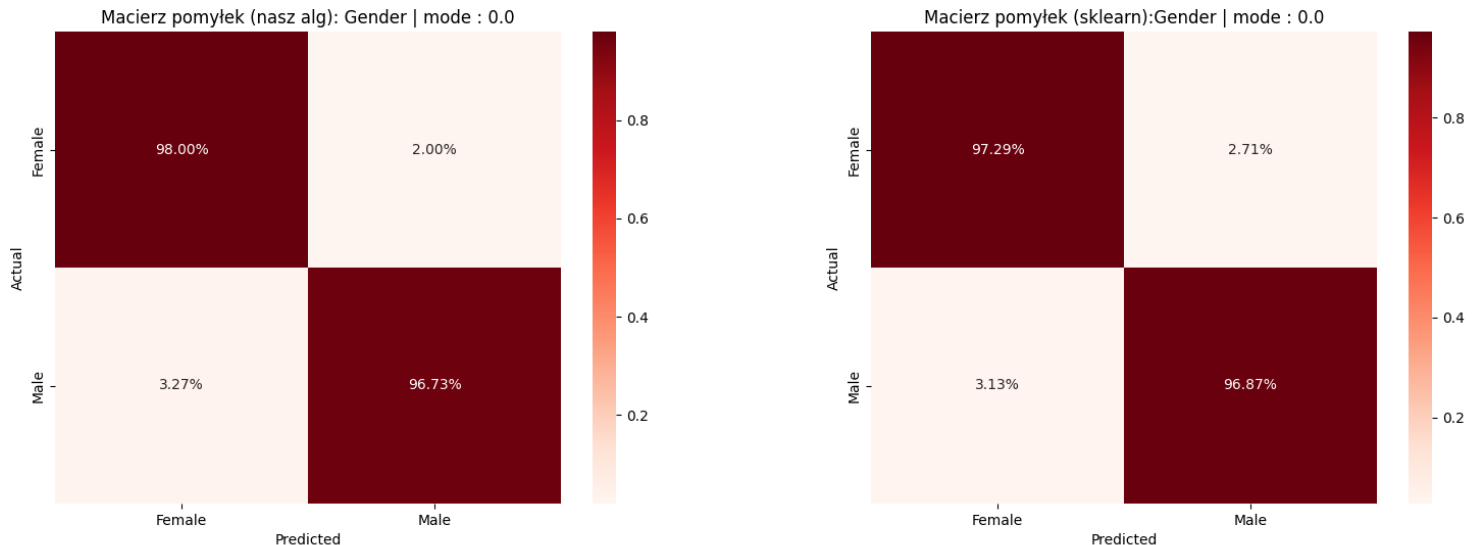
4.1.1 Tablica naszego algorytmu dla zmiany parametru: mode

	TN	FP	FN	TP	ACC	TPR	PPV	TNR	FAR	F1	MCC	FPR
0.0	973,8667	26,3333	26,3333	973,8667	0,9737	0,9737	0,9737	0,9737	0,0263	0,9737	0,9473	0,0263
1.0	973,4000	26,8000	26,8000	973,4000	0,9732	0,9732	0,9732	0,9732	0,0268	0,9732	0,9464	0,0268
2.0	971,3333	28,8667	28,8667	971,3333	0,9711	0,9711	0,9711	0,9711	0,0289	0,9711	0,9423	0,0289
3.0	974,1333	26,0667	26,0667	974,1333	0,9739	0,9739	0,9739	0,9739	0,0261	0,9739	0,9479	0,0261

4.1.1 Tablica porównawczego algorytmu dla zmiany parametru: mode

	TN	FP	FN	TP	ACC	TPR	PPV	TNR	FAR	F1	MCC	FPR
0.0	971,0000	29,2000	29,2000	971,0000	0,9708	0,9708	0,9708	0,9708	0,0292	0,9708	0,9416	0,0292
1.0	972,2000	28,0000	28,0000	972,2000	0,9720	0,9720	0,9720	0,9720	0,0280	0,9720	0,9440	0,0280
2.0	971,4000	28,8000	28,8000	971,4000	0,9712	0,9712	0,9712	0,9712	0,0288	0,9712	0,9424	0,0288
3.0	971,7333	28,4667	28,4667	971,7333	0,9715	0,9715	0,9715	0,9715	0,0285	0,9715	0,9431	0,0285

4.2.1 Porównanie confusion matrix dla mode = 0.0



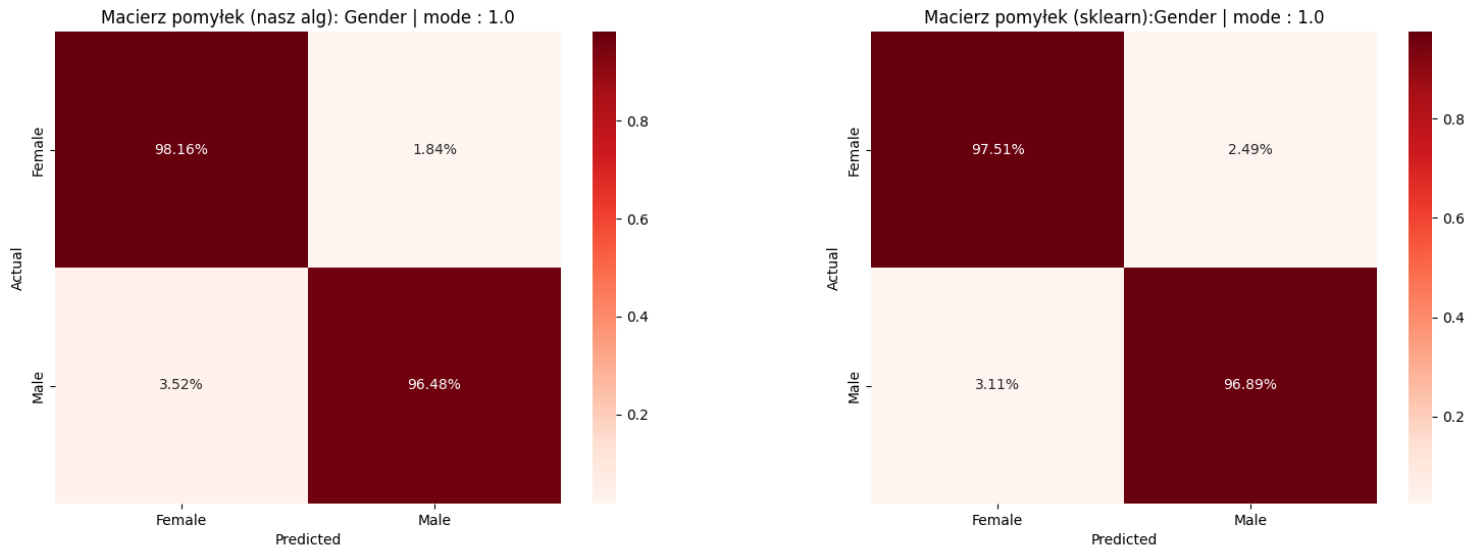
4.2.1 Tablica naszego algorytmu dla mode = 0.0

	TP	FN	FP	TN	ACC	TPR	PPV	TNR	FAR	F1	MCC	FPR
Female	490,2000	10,0000	16,3333	483,6667	0,9737	0,9800	0,9678	0,9673	0,0327	0,9739	0,9474	0,0327
Male	483,6667	16,3333	10,0000	490,2000	0,9737	0,9673	0,9797	0,9800	0,0200	0,9735	0,9474	0,0200
overall	973,8667	26,3333	26,3333	973,8667	0,9737	0,9737	0,9737	0,9737	0,0263	0,9737	0,9473	0,0263

4.2.1 Tablica porównawczego algorytmu dla mode = 0.0

	TP	FN	FP	TN	ACC	TPR	PPV	TNR	FAR	F1	MCC	FPR
Female	486,6667	13,5333	15,6667	484,3333	0,9708	0,9729	0,9688	0,9687	0,0313	0,9708	0,9416	0,0313
Male	484,3333	15,6667	13,5333	486,6667	0,9708	0,9687	0,9728	0,9729	0,0271	0,9707	0,9416	0,0271
overall	971,0000	29,2000	29,2000	971,0000	0,9708	0,9708	0,9708	0,9708	0,0292	0,9708	0,9416	0,0292

4.3.1 Porównanie confusion matrix dla mode = 1.0



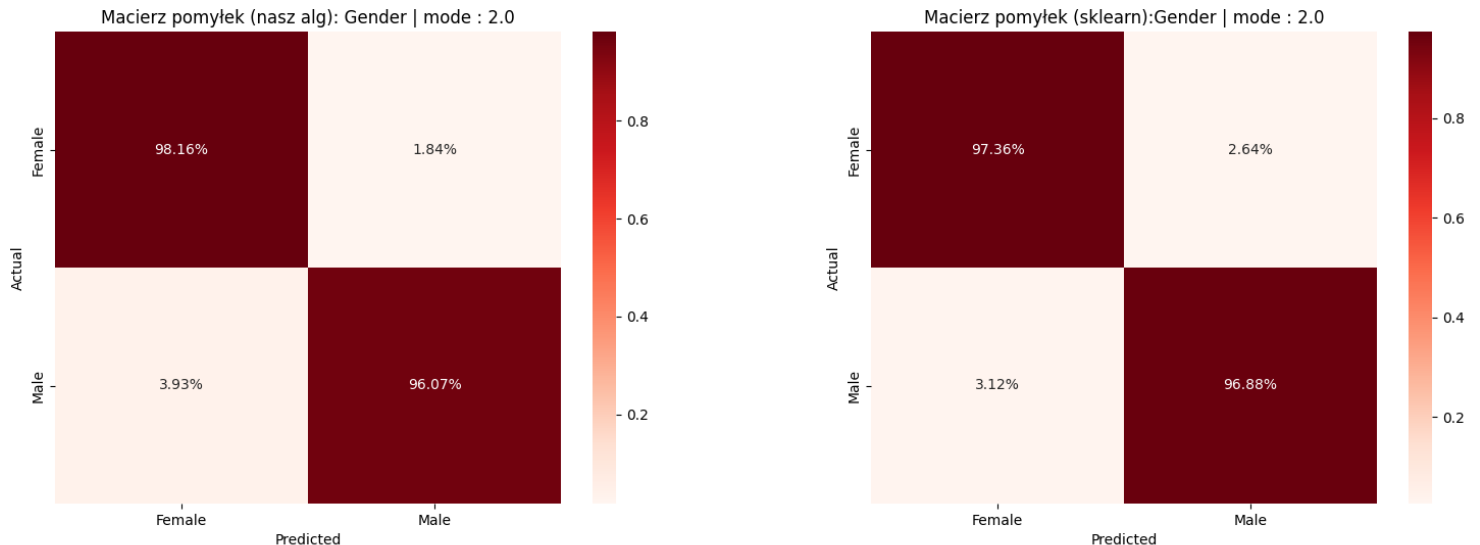
4.3.1 Tablica naszego algorytmu dla mode = 1.0

	TP	FN	FP	TN	ACC	TPR	PPV	TNR	FAR	F1	MCC	FPR
Female	491,0000	9,2000	17,6000	482,4000	0,9732	0,9816	0,9654	0,9648	0,0352	0,9734	0,9465	0,0352
Male	482,4000	17,6000	9,2000	491,0000	0,9732	0,9648	0,9813	0,9816	0,0184	0,9730	0,9465	0,0184
overall	973,4000	26,8000	26,8000	973,4000	0,9732	0,9732	0,9732	0,9732	0,0268	0,9732	0,9464	0,0268

4.3.1 Tablica porównawczego algorytmu dla mode = 1.0

	TP	FN	FP	TN	ACC	TPR	PPV	TNR	FAR	F1	MCC	FPR
Female	487,7333	12,4667	15,5333	484,4667	0,9720	0,9751	0,9691	0,9689	0,0311	0,9721	0,9440	0,0311
Male	484,4667	15,5333	12,4667	487,7333	0,9720	0,9689	0,9749	0,9751	0,0249	0,9719	0,9440	0,0249
overall	972,2000	28,0000	28,0000	972,2000	0,9720	0,9720	0,9720	0,9720	0,0280	0,9720	0,9440	0,0280

4.4.1 Porównanie confusion matrix dla mode = 2.0



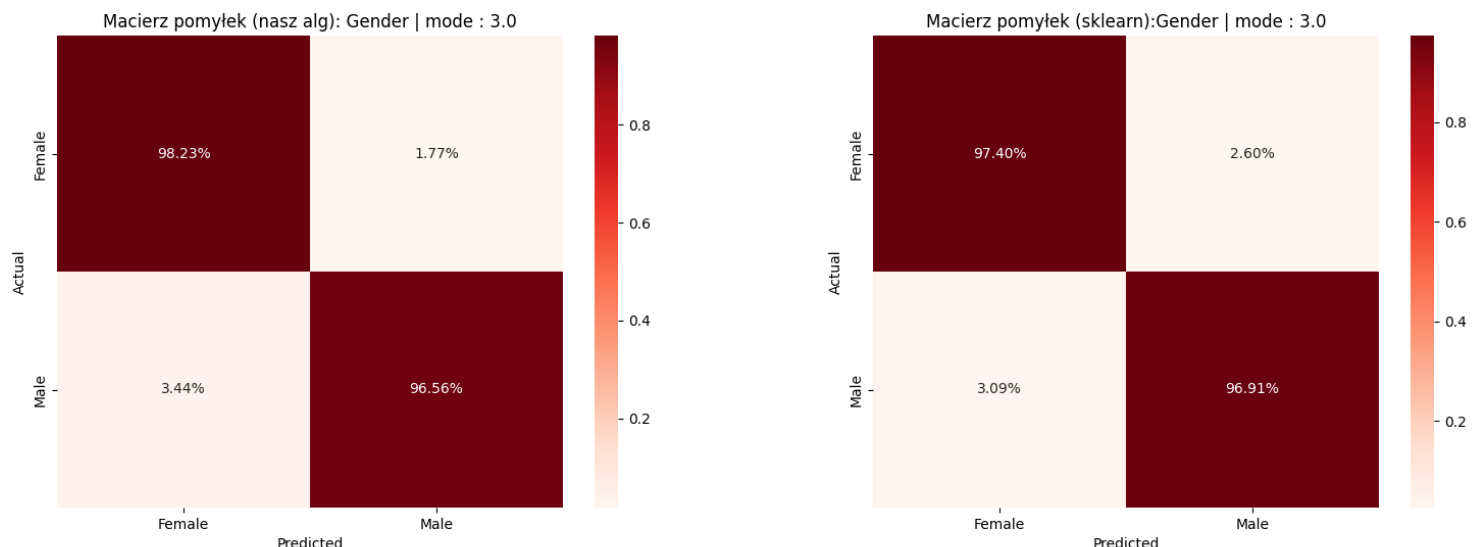
4.4.1 Tablica naszego algorytmu dla mode = 2.0

	TP	FN	FP	TN	ACC	TPR	PPV	TNR	FAR	F1	MCC	FPR
Female	491,0000	9,2000	19,6667	480,3333	0,9711	0,9816	0,9615	0,9607	0,0393	0,9714	0,9425	0,0393
Male	480,3333	19,6667	9,2000	491,0000	0,9711	0,9607	0,9812	0,9816	0,0184	0,9708	0,9425	0,0184
overall	971,3333	28,8667	28,8667	971,3333	0,9711	0,9711	0,9711	0,9711	0,0289	0,9711	0,9423	0,0289

4.4.1 Tablica porównawczego algorytmu dla mode = 2.0

	TP	FN	FP	TN	ACC	TPR	PPV	TNR	FAR	F1	MCC	FPR
Female	487,0000	13,2000	15,6000	484,4000	0,9712	0,9736	0,9690	0,9688	0,0312	0,9713	0,9424	0,0312
Male	484,4000	15,6000	13,2000	487,0000	0,9712	0,9688	0,9735	0,9736	0,0264	0,9711	0,9424	0,0264
overall	971,4000	28,8000	28,8000	971,4000	0,9712	0,9712	0,9712	0,9712	0,0288	0,9712	0,9424	0,0288

4.5.1 Porównanie confusion matrix dla mode = 3.0



4.5.1 Tablica naszego algorytmu dla mode = 3.0

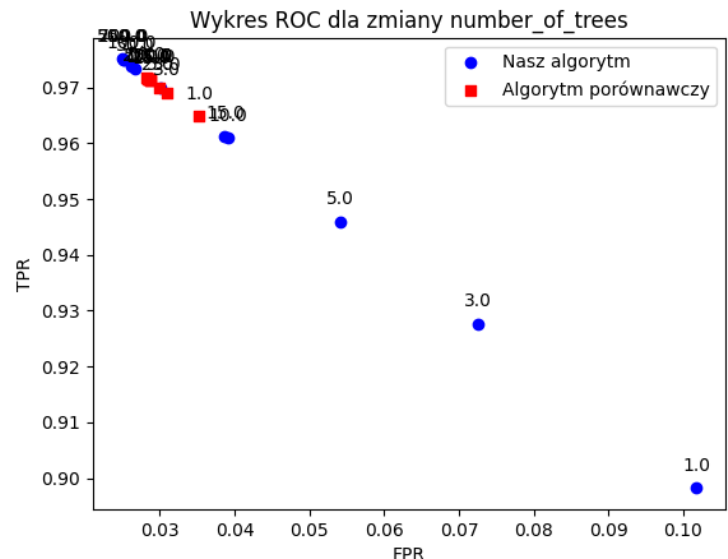
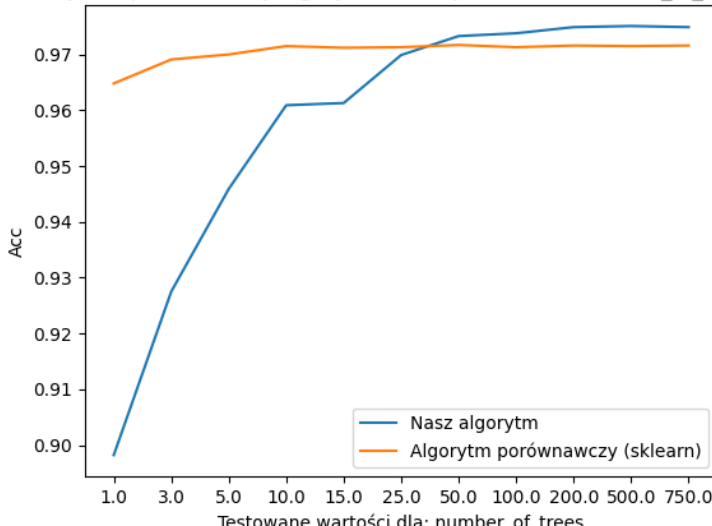
	TP	FN	FP	TN	ACC	TPR	PPV	TNR	FAR	F1	MCC	FPR
Female	491,3333	8,8667	17,2000	482,8000	0,9739	0,9823	0,9662	0,9656	0,0344	0,9742	0,9480	0,0344
Male	482,8000	17,2000	8,8667	491,3333	0,9739	0,9656	0,9820	0,9823	0,0177	0,9737	0,9480	0,0177
overall	974,1333	26,0667	26,0667	974,1333	0,9739	0,9739	0,9739	0,9739	0,0261	0,9739	0,9479	0,0261

4.5.1 Tablica porównawczego algorytmu dla mode = 3.0

	TP	FN	FP	TN	ACC	TPR	PPV	TNR	FAR	F1	MCC	FPR
Female	487,2000	13,0000	15,4667	484,5333	0,9715	0,9740	0,9692	0,9691	0,0309	0,9716	0,9431	0,0309
Male	484,5333	15,4667	13,0000	487,2000	0,9715	0,9691	0,9739	0,9740	0,0260	0,9715	0,9431	0,0260
overall	971,7333	28,4667	28,4667	971,7333	0,9715	0,9715	0,9715	0,9715	0,0285	0,9715	0,9431	0,0285

5.1.1 Wykres precyzji oraz wykres ROC dla zmiany parametru: number_of_trees

Wykres porównawczy algorytmów dla parametru: number_of_trees



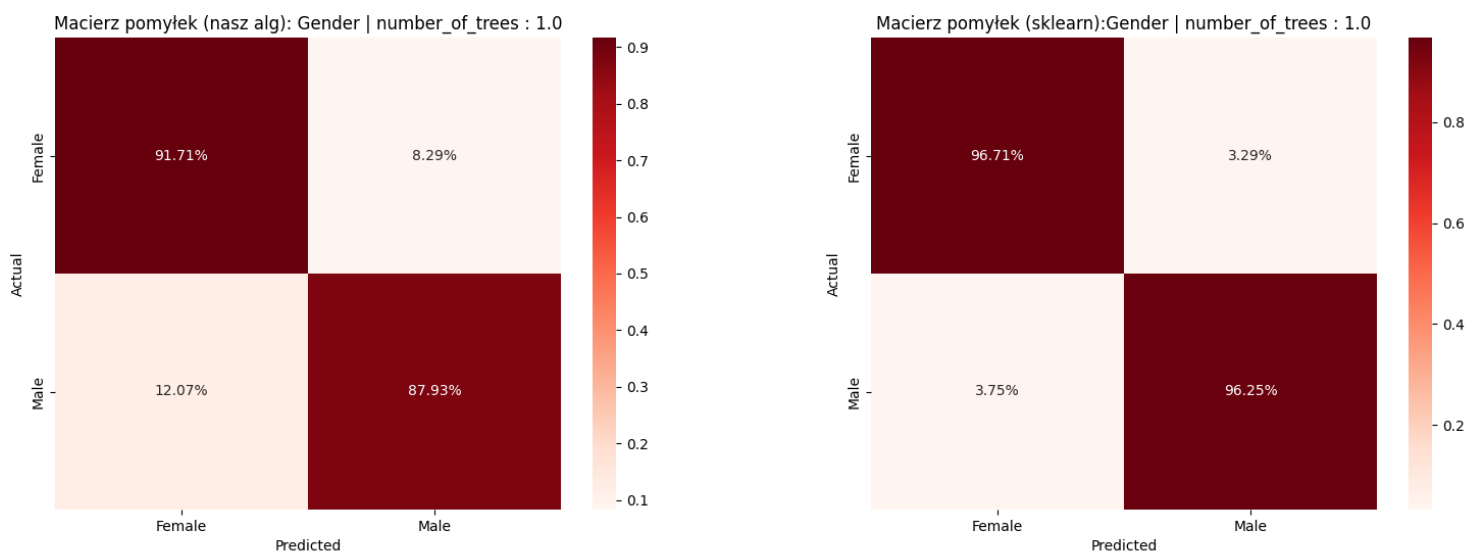
5.1.1 Tablica naszego algorytmu dla zmiany parametru: number_of_trees

	TN	FP	FN	TP	ACC	TPR	PPV	TNR	FAR	F1	MCC	FPR
1.0	898,4000	101,8000	101,8000	898,4000	0,8982	0,8982	0,8982	0,8982	0,1018	0,8982	0,7964	0,1018
3.0	927,6667	72,5333	72,5333	927,6667	0,9275	0,9275	0,9275	0,9275	0,0725	0,9275	0,8550	0,0725
5.0	946,1333	54,0667	54,0667	946,1333	0,9459	0,9459	0,9459	0,9459	0,0541	0,9459	0,8919	0,0541
10.0	961,0667	39,1333	39,1333	961,0667	0,9609	0,9609	0,9609	0,9609	0,0391	0,9609	0,9217	0,0391
15.0	961,4667	38,7333	38,7333	961,4667	0,9613	0,9613	0,9613	0,9613	0,0387	0,9613	0,9225	0,0387
25.0	970,0667	30,1333	30,1333	970,0667	0,9699	0,9699	0,9699	0,9699	0,0301	0,9699	0,9397	0,0301
50.0	973,5333	26,6667	26,6667	973,5333	0,9733	0,9733	0,9733	0,9733	0,0267	0,9733	0,9467	0,0267
100.0	974,0000	26,2000	26,2000	974,0000	0,9738	0,9738	0,9738	0,9738	0,0262	0,9738	0,9476	0,0262
200.0	975,0667	25,1333	25,1333	975,0667	0,9749	0,9749	0,9749	0,9749	0,0251	0,9749	0,9497	0,0251
500.0	975,2667	24,9333	24,9333	975,2667	0,9751	0,9751	0,9751	0,9751	0,0249	0,9751	0,9501	0,0249
750.0	975,0667	25,1333	25,1333	975,0667	0,9749	0,9749	0,9749	0,9749	0,0251	0,9749	0,9497	0,0251

5.1.1 Tablica porównawczego algorytmu dla zmiany parametru: number_of_trees

	TN	FP	FN	TP	ACC	TPR	PPV	TNR	FAR	F1	MCC	FPR
1.0	965,0000	35,2000	35,2000	965,0000	0,9648	0,9648	0,9648	0,9648	0,0352	0,9648	0,9296	0,0352
3.0	969,2667	30,9333	30,9333	969,2667	0,9691	0,9691	0,9691	0,9691	0,0309	0,9691	0,9381	0,0309
5.0	970,2000	30,0000	30,0000	970,2000	0,9700	0,9700	0,9700	0,9700	0,0300	0,9700	0,9400	0,0300
10.0	971,7333	28,4667	28,4667	971,7333	0,9715	0,9715	0,9715	0,9715	0,0285	0,9715	0,9431	0,0285
15.0	971,4000	28,8000	28,8000	971,4000	0,9712	0,9712	0,9712	0,9712	0,0288	0,9712	0,9424	0,0288
25.0	971,4667	28,7333	28,7333	971,4667	0,9713	0,9713	0,9713	0,9713	0,0287	0,9713	0,9425	0,0287
50.0	971,8667	28,3333	28,3333	971,8667	0,9717	0,9717	0,9717	0,9717	0,0283	0,9717	0,9433	0,0283
100.0	971,5333	28,6667	28,6667	971,5333	0,9713	0,9713	0,9713	0,9713	0,0287	0,9713	0,9427	0,0287
200.0	971,8000	28,4000	28,4000	971,8000	0,9716	0,9716	0,9716	0,9716	0,0284	0,9716	0,9432	0,0284
500.0	971,7333	28,4667	28,4667	971,7333	0,9715	0,9715	0,9715	0,9715	0,0285	0,9715	0,9431	0,0285
750.0	971,8000	28,4000	28,4000	971,8000	0,9716	0,9716	0,9716	0,9716	0,0284	0,9716	0,9432	0,0284

5.2.1 Porównanie confusion matrix dla number_of_trees = 1.0



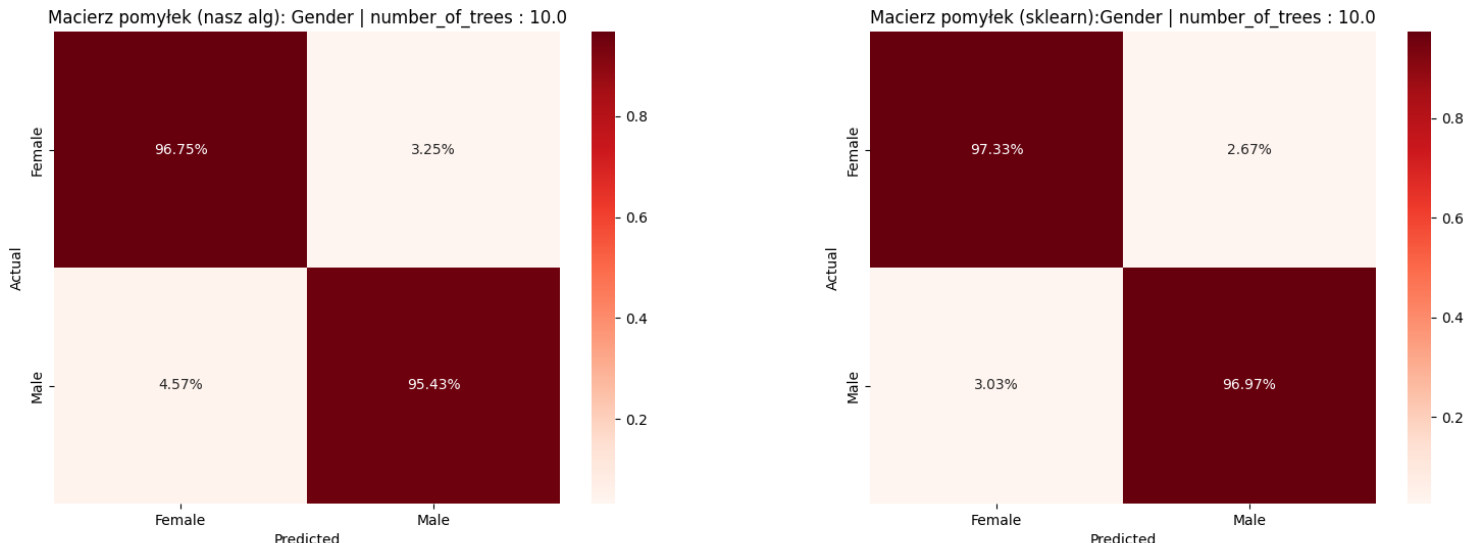
5.2.1 Tablica naszego algorytmu dla number_of_trees = 1.0

	TP	FN	FP	TN	ACC	TPR	PPV	TNR	FAR	F1	MCC	FPR
Female	458,7333	41,4667	60,3333	439,6667	0,8982	0,9171	0,8838	0,8793	0,1207	0,9001	0,7970	0,1207
Male	439,6667	60,3333	41,4667	458,7333	0,8982	0,8793	0,9138	0,9171	0,0829	0,8962	0,7970	0,0829
overall	898,4000	101,8000	101,8000	898,4000	0,8982	0,8982	0,8982	0,8982	0,1018	0,8982	0,7964	0,1018

5.2.1 Tablica porównawczego algorytmu dla number_of_trees = 1.0

	TP	FN	FP	TN	ACC	TPR	PPV	TNR	FAR	F1	MCC	FPR
Female	483,7333	16,4667	18,7333	481,2667	0,9648	0,9671	0,9627	0,9625	0,0375	0,9649	0,9296	0,0375
Male	481,2667	18,7333	16,4667	483,7333	0,9648	0,9625	0,9669	0,9671	0,0329	0,9647	0,9296	0,0329
overall	965,0000	35,2000	35,2000	965,0000	0,9648	0,9648	0,9648	0,9648	0,0352	0,9648	0,9296	0,0352

5.3.1 Porównanie confusion matrix dla number_of_trees = 10.0



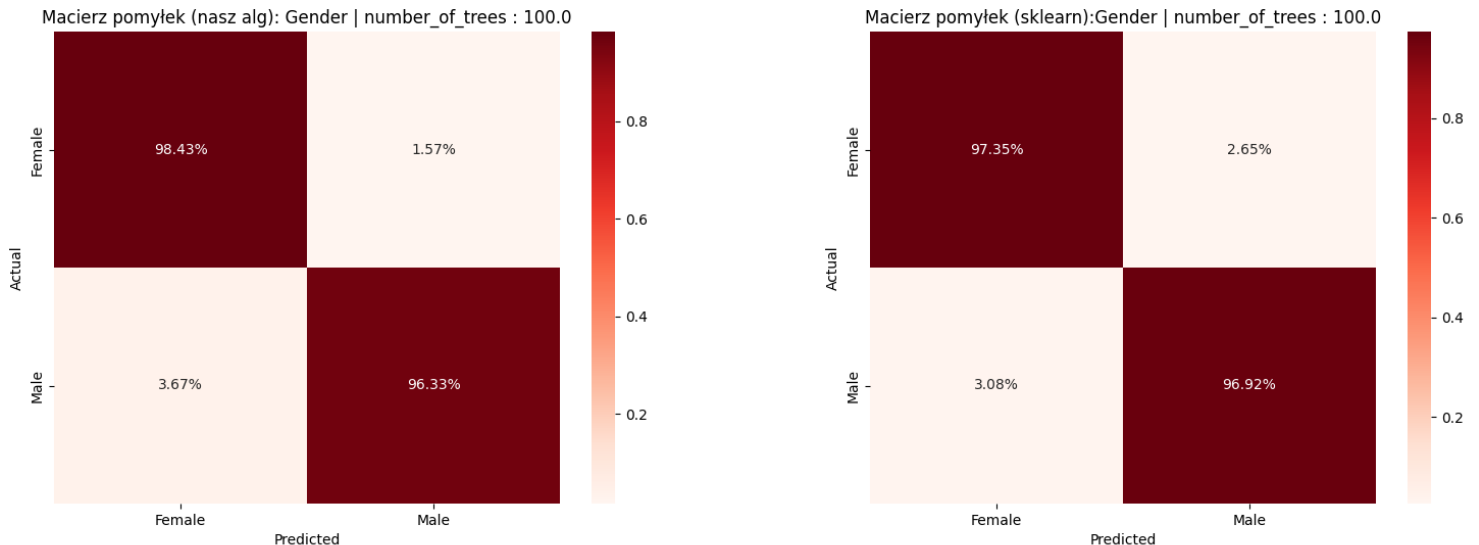
5.3.1 Tablica naszego algorytmu dla number_of_trees = 10.0

	TP	FN	FP	TN	ACC	TPR	PPV	TNR	FAR	F1	MCC	FPR
Female	483,9333	16,2667	22,8667	477,1333	0,9609	0,9675	0,9549	0,9543	0,0457	0,9612	0,9218	0,0457
Male	477,1333	22,8667	16,2667	483,9333	0,9609	0,9543	0,9670	0,9675	0,0325	0,9606	0,9218	0,0325
overall	961,0667	39,1333	39,1333	961,0667	0,9609	0,9609	0,9609	0,9609	0,0391	0,9609	0,9217	0,0391

5.3.1 Tablica porównawczego algorytmu dla number_of_trees = 10.0

	TP	FN	FP	TN	ACC	TPR	PPV	TNR	FAR	F1	MCC	FPR
Female	486,8667	13,3333	15,1333	484,8667	0,9715	0,9733	0,9699	0,9697	0,0303	0,9716	0,9431	0,0303
Male	484,8667	15,1333	13,3333	486,8667	0,9715	0,9697	0,9732	0,9733	0,0267	0,9714	0,9431	0,0267
overall	971,7333	28,4667	28,4667	971,7333	0,9715	0,9715	0,9715	0,9715	0,0285	0,9715	0,9431	0,0285

5.4.1 Porównanie confusion matrix dla number_of_trees = 100.0



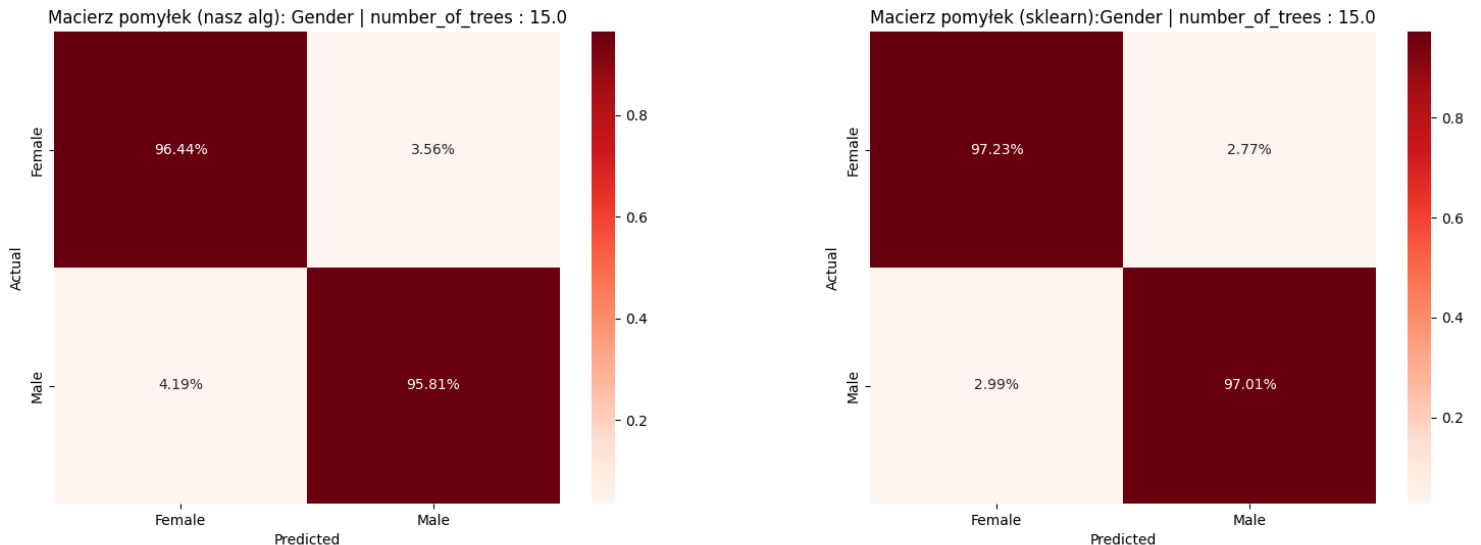
5.4.1 Tablica naszego algorytmu dla number_of_trees = 100.0

	TP	FN	FP	TN	ACC	TPR	PPV	TNR	FAR	F1	MCC	FPR
Female	492,3333	7,8667	18,3333	481,6667	0,9738	0,9843	0,9641	0,9633	0,0367	0,9741	0,9478	0,0367
Male	481,6667	18,3333	7,8667	492,3333	0,9738	0,9633	0,9839	0,9843	0,0157	0,9735	0,9478	0,0157
overall	974,0000	26,2000	26,2000	974,0000	0,9738	0,9738	0,9738	0,9738	0,0262	0,9738	0,9476	0,0262

5.4.1 Tablica porównawczego algorytmu dla number_of_trees = 100.0

	TP	FN	FP	TN	ACC	TPR	PPV	TNR	FAR	F1	MCC	FPR
Female	486,9333	13,2667	15,4000	484,6000	0,9713	0,9735	0,9693	0,9692	0,0308	0,9714	0,9427	0,0308
Male	484,6000	15,4000	13,2667	486,9333	0,9713	0,9692	0,9734	0,9735	0,0265	0,9713	0,9427	0,0265
overall	971,5333	28,6667	28,6667	971,5333	0,9713	0,9713	0,9713	0,9713	0,0287	0,9713	0,9427	0,0287

5.5.1 Porównanie confusion matrix dla number_of_trees = 15.0



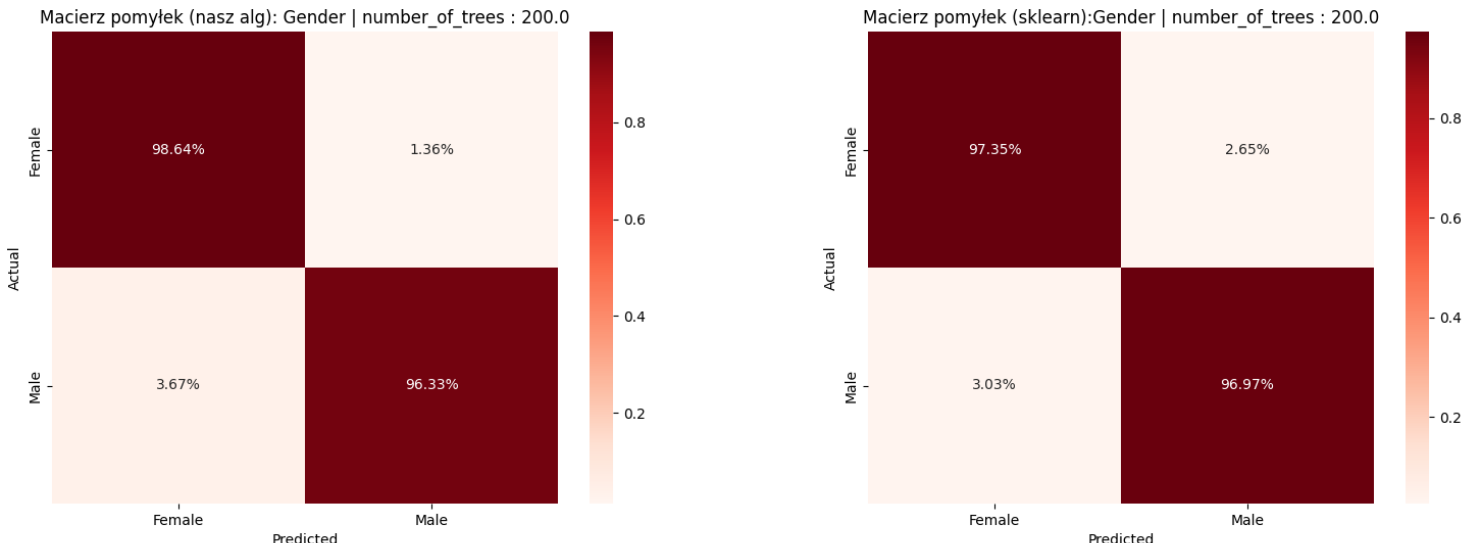
5.5.1 Tablica naszego algorytmu dla number_of_trees = 15.0

	TP	FN	FP	TN	ACC	TPR	PPV	TNR	FAR	F1	MCC	FPR
Female	482,4000	17,8000	20,9333	479,0667	0,9613	0,9644	0,9584	0,9581	0,0419	0,9614	0,9226	0,0419
Male	479,0667	20,9333	17,8000	482,4000	0,9613	0,9581	0,9642	0,9644	0,0356	0,9611	0,9226	0,0356
overall	961,4667	38,7333	38,7333	961,4667	0,9613	0,9613	0,9613	0,9613	0,0387	0,9613	0,9225	0,0387

5.5.1 Tablica porównawczego algorytmu dla number_of_trees = 15.0

	TP	FN	FP	TN	ACC	TPR	PPV	TNR	FAR	F1	MCC	FPR
Female	486,3333	13,8667	14,9333	485,0667	0,9712	0,9723	0,9702	0,9701	0,0299	0,9712	0,9424	0,0299
Male	485,0667	14,9333	13,8667	486,3333	0,9712	0,9701	0,9722	0,9723	0,0277	0,9711	0,9424	0,0277
overall	971,4000	28,8000	28,8000	971,4000	0,9712	0,9712	0,9712	0,9712	0,0288	0,9712	0,9424	0,0288

5.6.1 Porównanie confusion matrix dla number_of_trees = 200.0



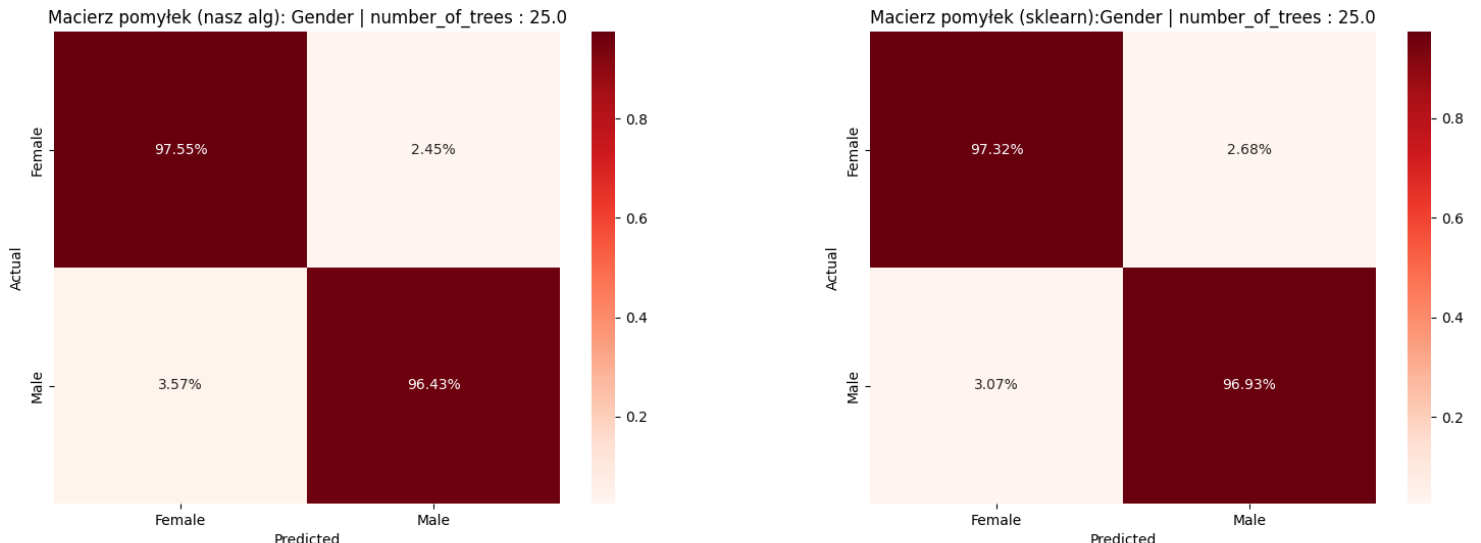
5.6.1 Tablica naszego algorytmu dla number_of_trees = 200.0

	TP	FN	FP	TN	ACC	TPR	PPV	TNR	FAR	F1	MCC	FPR
Female	493,4000	6,8000	18,3333	481,6667	0,9749	0,9864	0,9642	0,9633	0,0367	0,9752	0,9500	0,0367
Male	481,6667	18,3333	6,8000	493,4000	0,9749	0,9633	0,9861	0,9864	0,0136	0,9746	0,9500	0,0136
overall	975,0667	25,1333	25,1333	975,0667	0,9749	0,9749	0,9749	0,9749	0,0251	0,9749	0,9497	0,0251

5.6.1 Tablica porównawczego algorytmu dla number_of_trees = 200.0

	TP	FN	FP	TN	ACC	TPR	PPV	TNR	FAR	F1	MCC	FPR
Female	486,9333	13,2667	15,1333	484,8667	0,9716	0,9735	0,9699	0,9697	0,0303	0,9717	0,9432	0,0303
Male	484,8667	15,1333	13,2667	486,9333	0,9716	0,9697	0,9734	0,9735	0,0265	0,9715	0,9432	0,0265
overall	971,8000	28,4000	28,4000	971,8000	0,9716	0,9716	0,9716	0,9716	0,0284	0,9716	0,9432	0,0284

5.7.1 Porównanie confusion matrix dla number_of_trees = 25.0



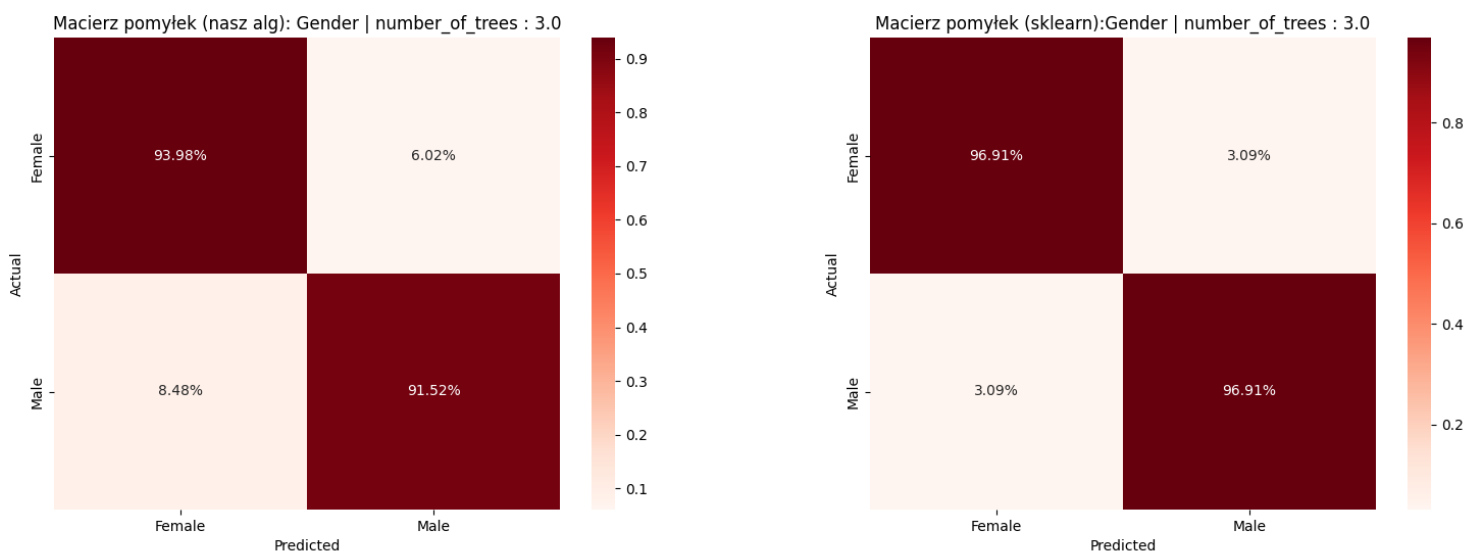
5.7.1 Tablica naszego algorytmu dla number_of_trees = 25.0

	TP	FN	FP	TN	ACC	TPR	PPV	TNR	FAR	F1	MCC	FPR
Female	487,9333	12,2667	17,8667	482,1333	0,9699	0,9755	0,9647	0,9643	0,0357	0,9701	0,9398	0,0357
Male	482,1333	17,8667	12,2667	487,9333	0,9699	0,9643	0,9752	0,9755	0,0245	0,9697	0,9398	0,0245
overall	970,0667	30,1333	30,1333	970,0667	0,9699	0,9699	0,9699	0,9699	0,0301	0,9699	0,9397	0,0301

5.7.1 Tablica porównawczego algorytmu dla number_of_trees = 25.0

	TP	FN	FP	TN	ACC	TPR	PPV	TNR	FAR	F1	MCC	FPR
Female	486,8000	13,4000	15,3333	484,6667	0,9713	0,9732	0,9695	0,9693	0,0307	0,9713	0,9426	0,0307
Male	484,6667	15,3333	13,4000	486,8000	0,9713	0,9693	0,9731	0,9732	0,0268	0,9712	0,9426	0,0268
overall	971,4667	28,7333	28,7333	971,4667	0,9713	0,9713	0,9713	0,9713	0,0287	0,9713	0,9425	0,0287

5.8.1 Porównanie confusion matrix dla number_of_trees = 3.0



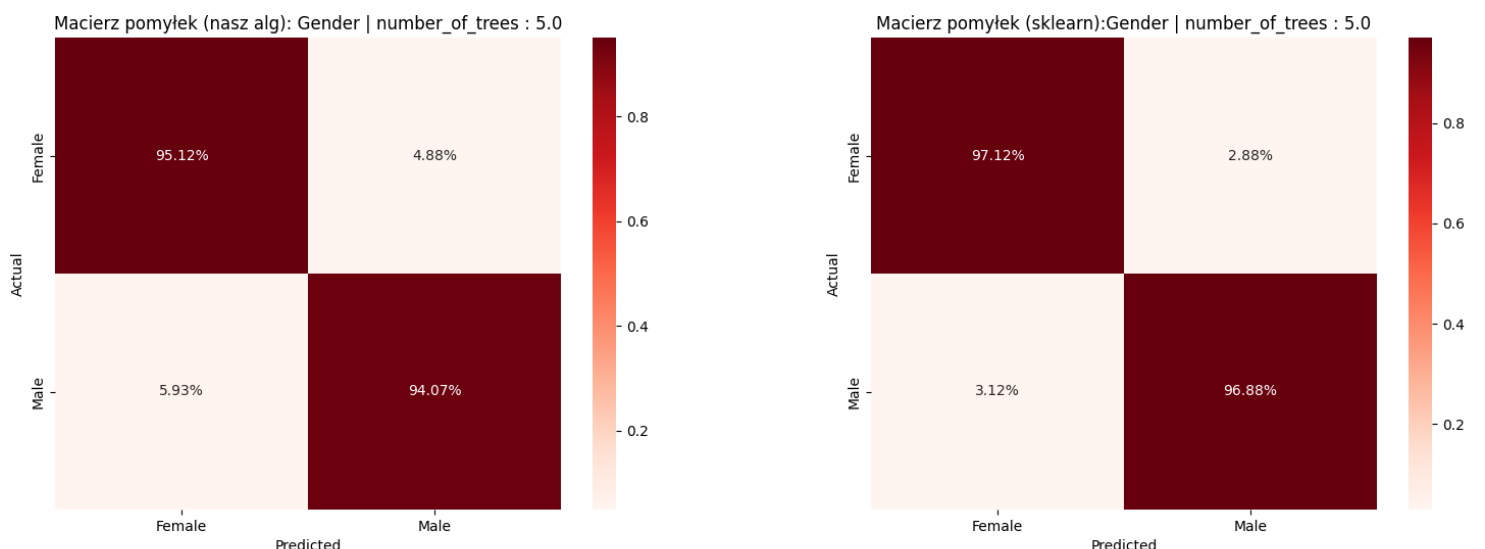
5.8.1 Tablica naszego algorytmu dla number_of_trees = 3.0

	TP	FN	FP	TN	ACC	TPR	PPV	TNR	FAR	F1	MCC	FPR
Female	470,0667	30,1333	42,4000	457,6000	0,9275	0,9398	0,9173	0,9152	0,0848	0,9284	0,8552	0,0848
Male	457,6000	42,4000	30,1333	470,0667	0,9275	0,9152	0,9382	0,9398	0,0602	0,9266	0,8552	0,0602
overall	927,6667	72,5333	72,5333	927,6667	0,9275	0,9275	0,9275	0,9275	0,0725	0,9275	0,8550	0,0725

5.8.1 Tablica porównawczego algorytmu dla number_of_trees = 3.0

	TP	FN	FP	TN	ACC	TPR	PPV	TNR	FAR	F1	MCC	FPR
Female	484,7333	15,4667	15,4667	484,5333	0,9691	0,9691	0,9691	0,9691	0,0309	0,9691	0,9381	0,0309
Male	484,5333	15,4667	15,4667	484,7333	0,9691	0,9691	0,9691	0,9691	0,0309	0,9691	0,9381	0,0309
overall	969,2667	30,9333	30,9333	969,2667	0,9691	0,9691	0,9691	0,9691	0,0309	0,9691	0,9381	0,0309

5.9.1 Porównanie confusion matrix dla number_of_trees = 5.0



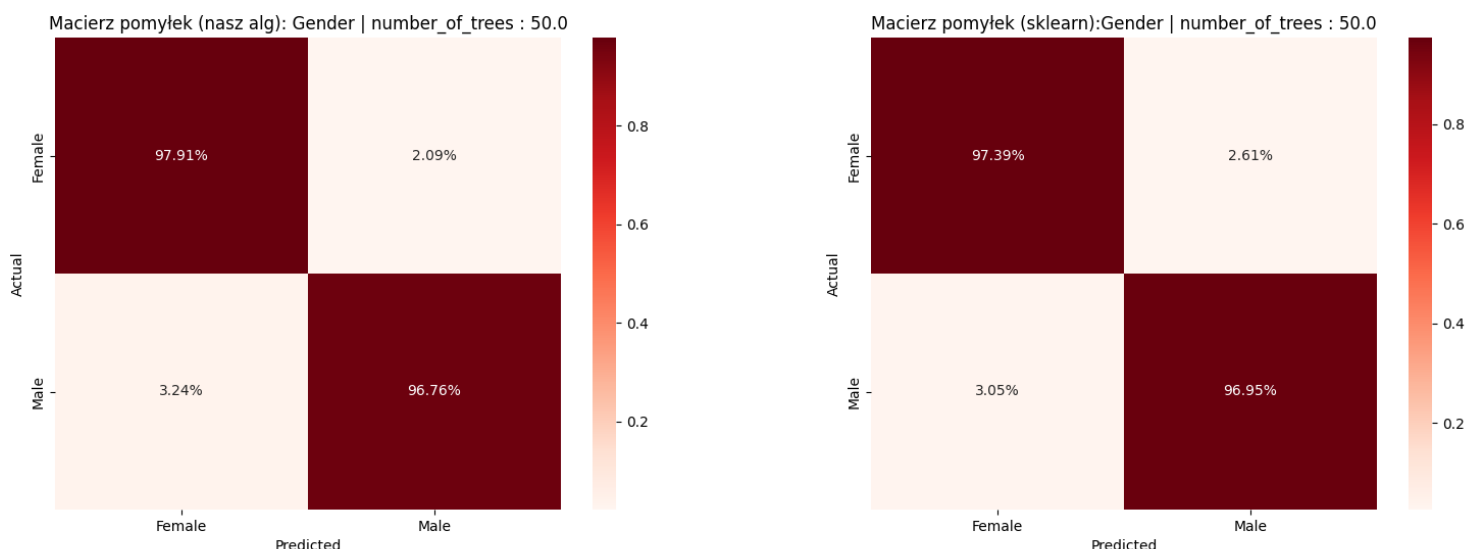
5.9.1 Tablica naszego algorytmu dla number_of_trees = 5.0

	TP	FN	FP	TN	ACC	TPR	PPV	TNR	FAR	F1	MCC	FPR
Female	475,8000	24,4000	29,6667	470,3333	0,9459	0,9512	0,9413	0,9407	0,0593	0,9462	0,8919	0,0593
Male	470,3333	29,6667	24,4000	475,8000	0,9459	0,9407	0,9507	0,9512	0,0488	0,9457	0,8919	0,0488
overall	946,1333	54,0667	54,0667	946,1333	0,9459	0,9459	0,9459	0,9459	0,0541	0,9459	0,8919	0,0541

5.9.1 Tablica porównawczego algorytmu dla number_of_trees = 5.0

	TP	FN	FP	TN	ACC	TPR	PPV	TNR	FAR	F1	MCC	FPR
Female	485,8000	14,4000	15,6000	484,4000	0,9700	0,9712	0,9689	0,9688	0,0312	0,9700	0,9400	0,0312
Male	484,4000	15,6000	14,4000	485,8000	0,9700	0,9688	0,9711	0,9712	0,0288	0,9699	0,9400	0,0288
overall	970,2000	30,0000	30,0000	970,2000	0,9700	0,9700	0,9700	0,9700	0,0300	0,9700	0,9400	0,0300

5.10.1 Porównanie confusion matrix dla number_of_trees = 50.0



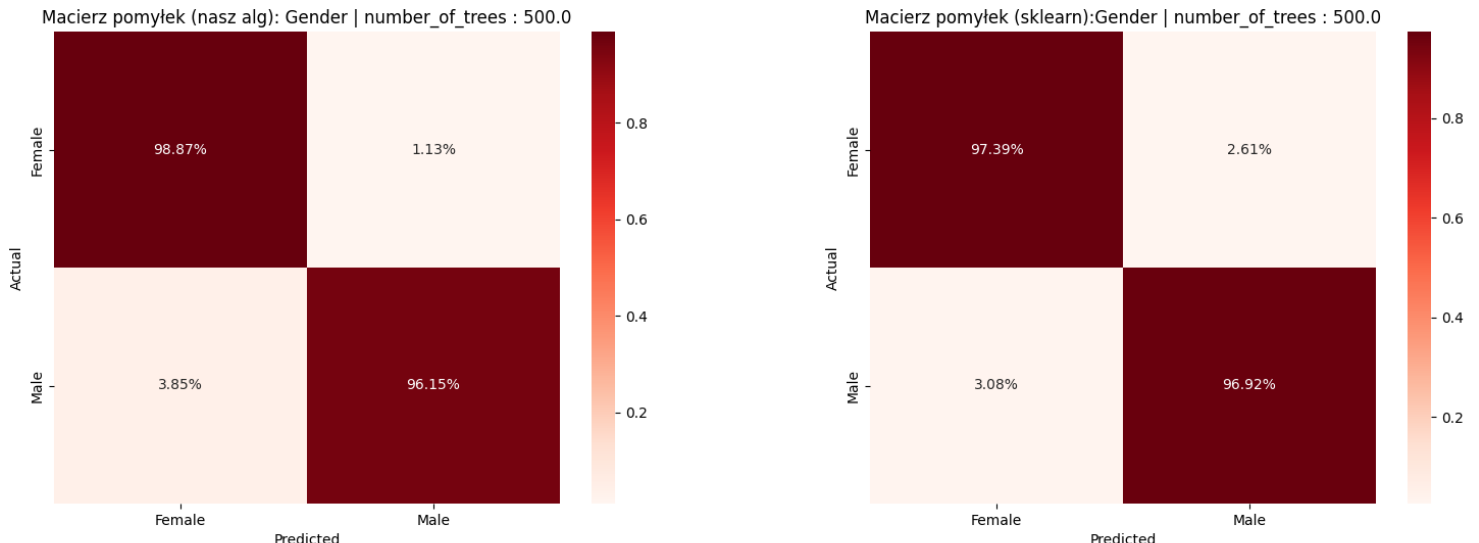
5.10.1 Tablica naszego algorytmu dla number_of_trees = 50.0

	TP	FN	FP	TN	ACC	TPR	PPV	TNR	FAR	F1	MCC	FPR
Female	489,7333	10,4667	16,2000	483,8000	0,9733	0,9791	0,9680	0,9676	0,0324	0,9735	0,9467	0,0324
Male	483,8000	16,2000	10,4667	489,7333	0,9733	0,9676	0,9788	0,9791	0,0209	0,9732	0,9467	0,0209
overall	973,5333	26,6667	26,6667	973,5333	0,9733	0,9733	0,9733	0,9733	0,0267	0,9733	0,9467	0,0267

5.10.1 Tablica porównawczego algorytmu dla number_of_trees = 50.0

	TP	FN	FP	TN	ACC	TPR	PPV	TNR	FAR	F1	MCC	FPR
Female	487,1333	13,0667	15,2667	484,7333	0,9717	0,9739	0,9696	0,9695	0,0305	0,9717	0,9434	0,0305
Male	484,7333	15,2667	13,0667	487,1333	0,9717	0,9695	0,9738	0,9739	0,0261	0,9716	0,9434	0,0261
overall	971,8667	28,3333	28,3333	971,8667	0,9717	0,9717	0,9717	0,9717	0,0283	0,9717	0,9433	0,0283

5.11.1 Porównanie confusion matrix dla number_of_trees = 500.0



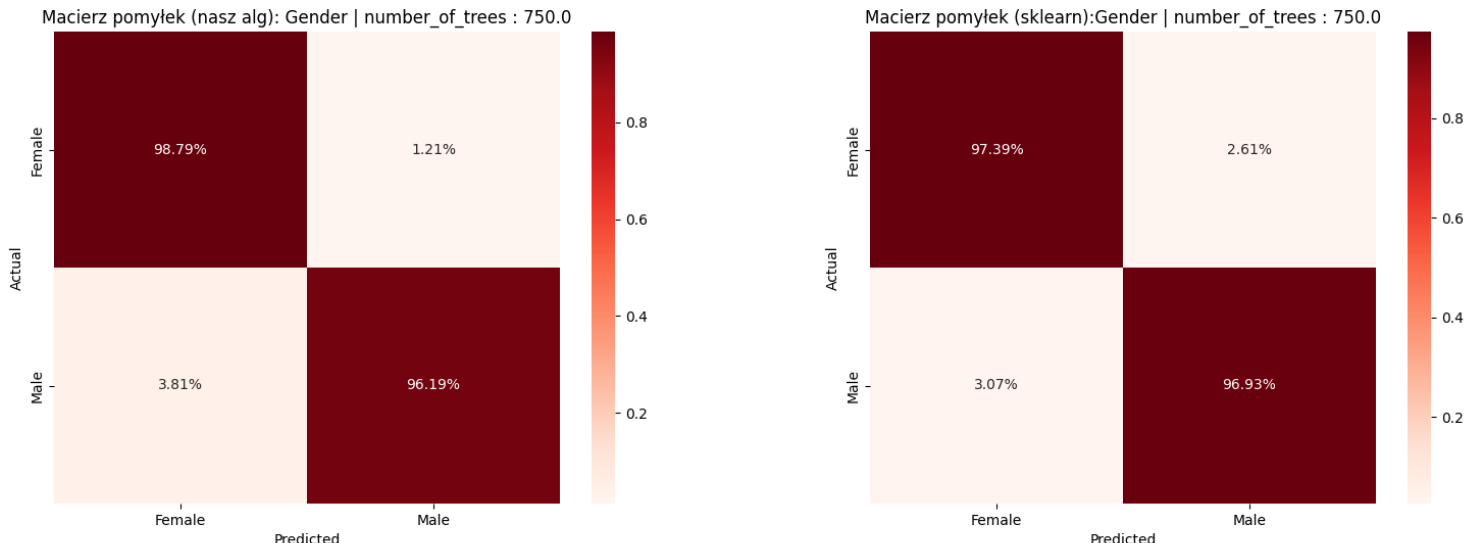
5.11.1 Tablica naszego algorytmu dla number_of_trees = 500.0

	TP	FN	FP	TN	ACC	TPR	PPV	TNR	FAR	F1	MCC	FPR
Female	494,5333	5,6667	19,2667	480,7333	0,9751	0,9887	0,9625	0,9615	0,0385	0,9754	0,9505	0,0385
Male	480,7333	19,2667	5,6667	494,5333	0,9751	0,9615	0,9883	0,9887	0,0113	0,9747	0,9505	0,0113
overall	975,2667	24,9333	24,9333	975,2667	0,9751	0,9751	0,9751	0,9751	0,0249	0,9751	0,9501	0,0249

5.11.1 Tablica porównawczego algorytmu dla number_of_trees = 500.0

	TP	FN	FP	TN	ACC	TPR	PPV	TNR	FAR	F1	MCC	FPR
Female	487,1333	13,0667	15,4000	484,6000	0,9715	0,9739	0,9694	0,9692	0,0308	0,9716	0,9431	0,0308
Male	484,6000	15,4000	13,0667	487,1333	0,9715	0,9692	0,9737	0,9739	0,0261	0,9714	0,9431	0,0261
overall	971,7333	28,4667	28,4667	971,7333	0,9715	0,9715	0,9715	0,9715	0,0285	0,9715	0,9431	0,0285

5.12.1 Porównanie confusion matrix dla number_of_trees = 750.0



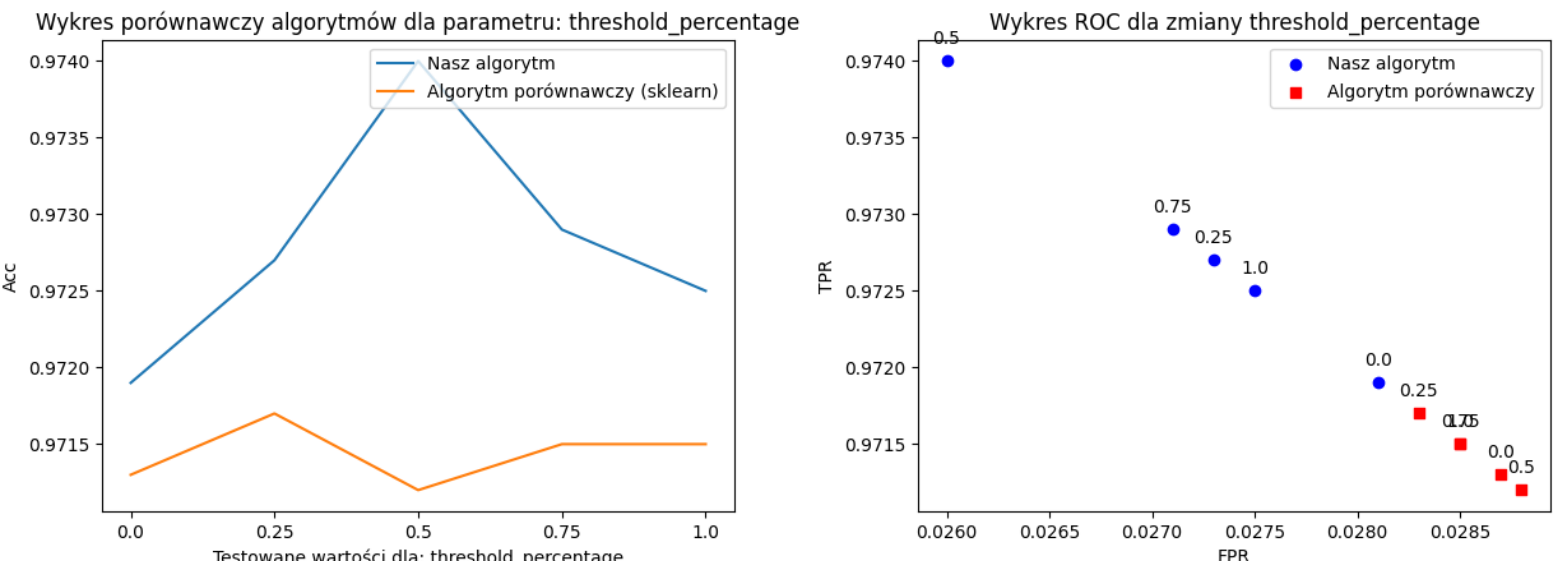
5.12.1 Tablica naszego algorytmu dla number_of_trees = 750.0

	TP	FN	FP	TN	ACC	TPR	PPV	TNR	FAR	F1	MCC	FPR
Female	494,1333	6,0667	19,0667	480,9333	0,9749	0,9879	0,9628	0,9619	0,0381	0,9752	0,9501	0,0381
Male	480,9333	19,0667	6,0667	494,1333	0,9749	0,9619	0,9875	0,9879	0,0121	0,9745	0,9501	0,0121
overall	975,0667	25,1333	25,1333	975,0667	0,9749	0,9749	0,9749	0,9749	0,0251	0,9749	0,9497	0,0251

5.12.1 Tablica porównawczego algorytmu dla number_of_trees = 750.0

	TP	FN	FP	TN	ACC	TPR	PPV	TNR	FAR	F1	MCC	FPR
Female	487,1333	13,0667	15,3333	484,6667	0,9716	0,9739	0,9695	0,9693	0,0307	0,9717	0,9432	0,0307
Male	484,6667	15,3333	13,0667	487,1333	0,9716	0,9693	0,9737	0,9739	0,0261	0,9715	0,9432	0,0261
overall	971,8000	28,4000	28,4000	971,8000	0,9716	0,9716	0,9716	0,9716	0,0284	0,9716	0,9432	0,0284

6.1.1 Wykres precyzji oraz wykres ROC dla zmiany parametru: threshold_percentage



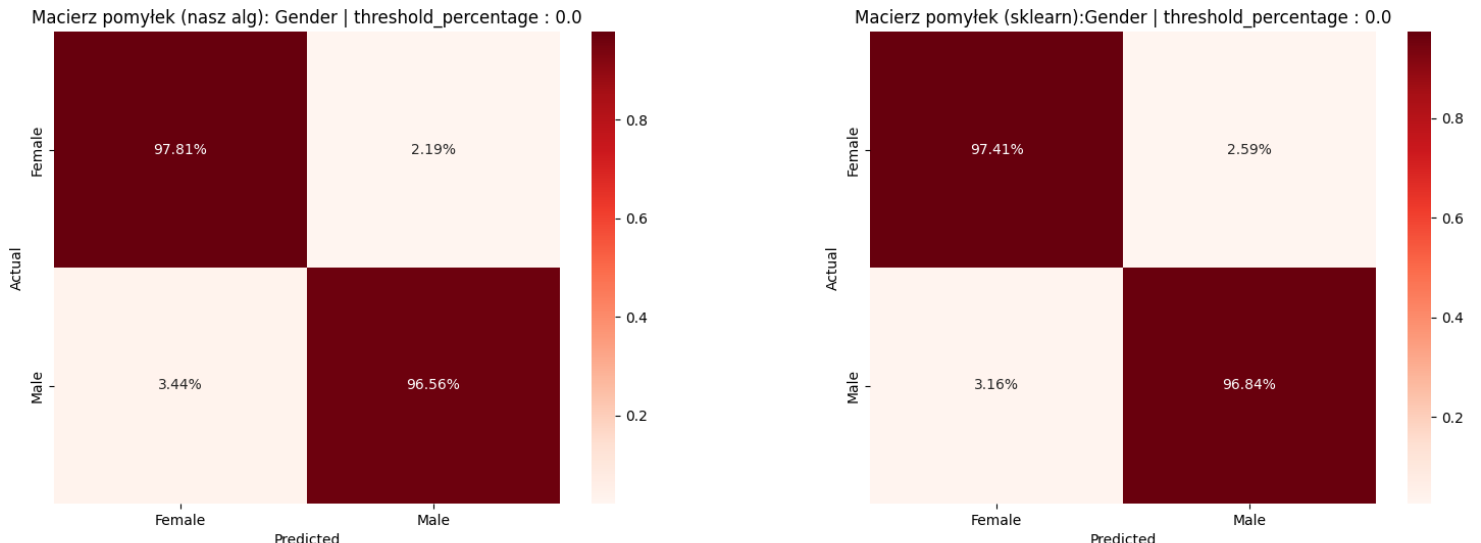
6.1.1 Tablica naszego algorytmu dla zmiany parametru: threshold_percentage

	TN	FP	FN	TP	ACC	TPR	PPV	TNR	FAR	F1	MCC	FPR
0.0	972,0667	28,1333	28,1333	972,0667	0,9719	0,9719	0,9719	0,9719	0,0281	0,9719	0,9437	0,0281
0.25	972,8667	27,3333	27,3333	972,8667	0,9727	0,9727	0,9727	0,9727	0,0273	0,9727	0,9453	0,0273
0.5	974,2000	26,0000	26,0000	974,2000	0,9740	0,9740	0,9740	0,9740	0,0260	0,9740	0,9480	0,0260
0.75	973,1333	27,0667	27,0667	973,1333	0,9729	0,9729	0,9729	0,9729	0,0271	0,9729	0,9459	0,0271
1.0	972,6667	27,5333	27,5333	972,6667	0,9725	0,9725	0,9725	0,9725	0,0275	0,9725	0,9449	0,0275

6.1.1 Tablica porównawczego algorytmu dla zmiany parametru: threshold_percentage

	TN	FP	FN	TP	ACC	TPR	PPV	TNR	FAR	F1	MCC	FPR
0.0	971,4667	28,7333	28,7333	971,4667	0,9713	0,9713	0,9713	0,9713	0,0287	0,9713	0,9425	0,0287
0.25	971,9333	28,2667	28,2667	971,9333	0,9717	0,9717	0,9717	0,9717	0,0283	0,9717	0,9435	0,0283
0.5	971,4000	28,8000	28,8000	971,4000	0,9712	0,9712	0,9712	0,9712	0,0288	0,9712	0,9424	0,0288
0.75	971,6667	28,5333	28,5333	971,6667	0,9715	0,9715	0,9715	0,9715	0,0285	0,9715	0,9429	0,0285
1.0	971,6667	28,5333	28,5333	971,6667	0,9715	0,9715	0,9715	0,9715	0,0285	0,9715	0,9429	0,0285

6.2.1 Porównanie confusion matrix dla threshold_percentage = 0.0



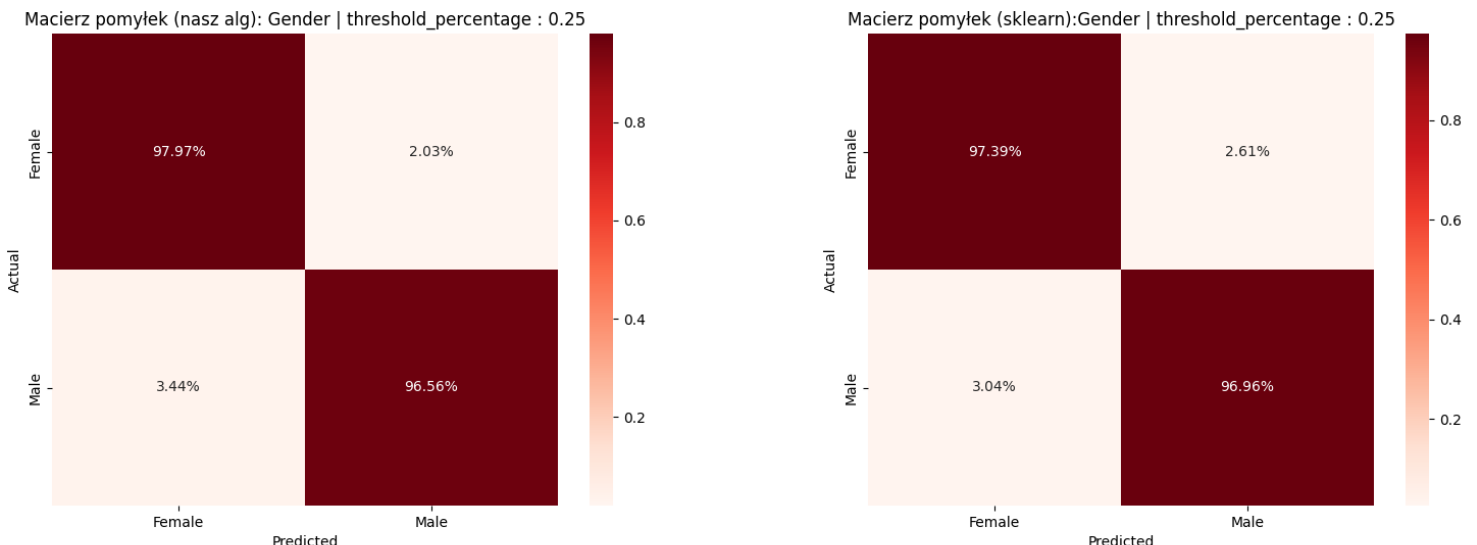
6.2.1 Tablica naszego algorytmu dla threshold_percentage = 0.0

	TP	FN	FP	TN	ACC	TPR	PPV	TNR	FAR	F1	MCC	FPR
Female	489,2667	10,9333	17,2000	482,8000	0,9719	0,9781	0,9660	0,9656	0,0344	0,9720	0,9438	0,0344
Male	482,8000	17,2000	10,9333	489,2667	0,9719	0,9656	0,9779	0,9781	0,0219	0,9717	0,9438	0,0219
overall	972,0667	28,1333	28,1333	972,0667	0,9719	0,9719	0,9719	0,9719	0,0281	0,9719	0,9437	0,0281

6.2.1 Tablica porównawczego algorytmu dla threshold_percentage = 0.0

	TP	FN	FP	TN	ACC	TPR	PPV	TNR	FAR	F1	MCC	FPR
Female	487,2667	12,9333	15,8000	484,2000	0,9713	0,9741	0,9686	0,9684	0,0316	0,9713	0,9426	0,0316
Male	484,2000	15,8000	12,9333	487,2667	0,9713	0,9684	0,9740	0,9741	0,0259	0,9712	0,9426	0,0259
overall	971,4667	28,7333	28,7333	971,4667	0,9713	0,9713	0,9713	0,9713	0,0287	0,9713	0,9425	0,0287

6.3.1 Porównanie confusion matrix dla threshold_percentage = 0.25



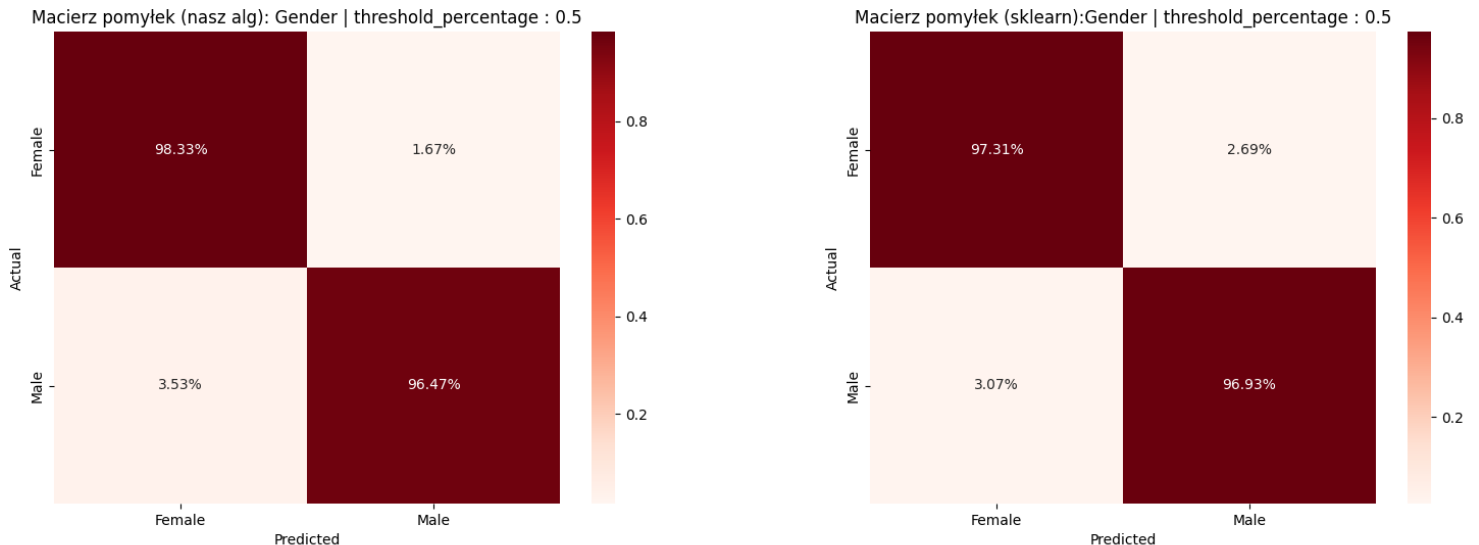
6.3.1 Tablica naszego algorytmu dla threshold_percentage = 0.25

	TP	FN	FP	TN	ACC	TPR	PPV	TNR	FAR	F1	MCC	FPR
Female	490,0667	10,1333	17,2000	482,8000	0,9727	0,9797	0,9661	0,9656	0,0344	0,9729	0,9454	0,0344
Male	482,8000	17,2000	10,1333	490,0667	0,9727	0,9656	0,9794	0,9797	0,0203	0,9725	0,9454	0,0203
overall	972,8667	27,3333	27,3333	972,8667	0,9727	0,9727	0,9727	0,9727	0,0273	0,9727	0,9453	0,0273

6.3.1 Tablica porównawczego algorytmu dla threshold_percentage = 0.25

	TP	FN	FP	TN	ACC	TPR	PPV	TNR	FAR	F1	MCC	FPR
Female	487,1333	13,0667	15,2000	484,8000	0,9717	0,9739	0,9697	0,9696	0,0304	0,9718	0,9435	0,0304
Male	484,8000	15,2000	13,0667	487,1333	0,9717	0,9696	0,9738	0,9739	0,0261	0,9717	0,9435	0,0261
overall	971,9333	28,2667	28,2667	971,9333	0,9717	0,9717	0,9717	0,9717	0,0283	0,9717	0,9435	0,0283

6.4.1 Porównanie confusion matrix dla threshold_percentage = 0.5



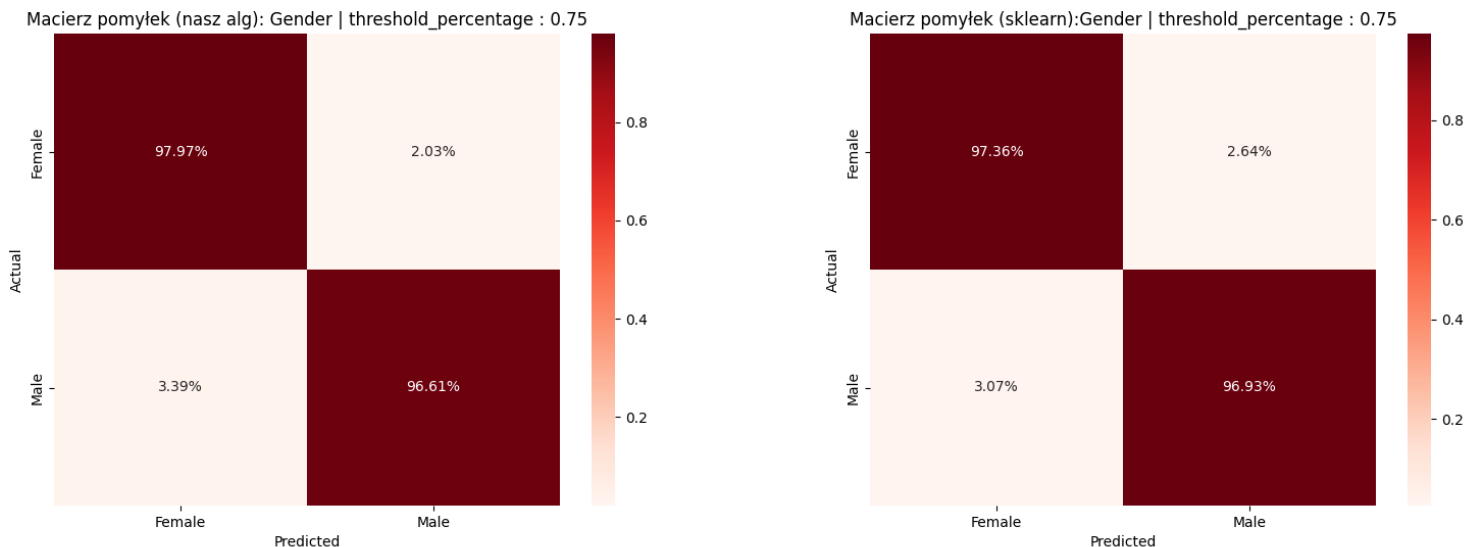
6.4.1 Tablica naszego algorytmu dla threshold_percentage = 0.5

	TP	FN	FP	TN	ACC	TPR	PPV	TNR	FAR	F1	MCC	FPR
Female	491,8667	8,3333	17,6667	482,3333	0,9740	0,9833	0,9653	0,9647	0,0353	0,9742	0,9482	0,0353
Male	482,3333	17,6667	8,3333	491,8667	0,9740	0,9647	0,9830	0,9833	0,0167	0,9738	0,9482	0,0167
overall	974,2000	26,0000	26,0000	974,2000	0,9740	0,9740	0,9740	0,9740	0,0260	0,9740	0,9480	0,0260

6.4.1 Tablica porównawczego algorytmu dla threshold_percentage = 0.5

	TP	FN	FP	TN	ACC	TPR	PPV	TNR	FAR	F1	MCC	FPR
Female	486,7333	13,4667	15,3333	484,6667	0,9712	0,9731	0,9695	0,9693	0,0307	0,9713	0,9424	0,0307
Male	484,6667	15,3333	13,4667	486,7333	0,9712	0,9693	0,9730	0,9731	0,0269	0,9711	0,9424	0,0269
overall	971,4000	28,8000	28,8000	971,4000	0,9712	0,9712	0,9712	0,9712	0,0288	0,9712	0,9424	0,0288

6.5.1 Porównanie confusion matrix dla threshold_percentage = 0.75



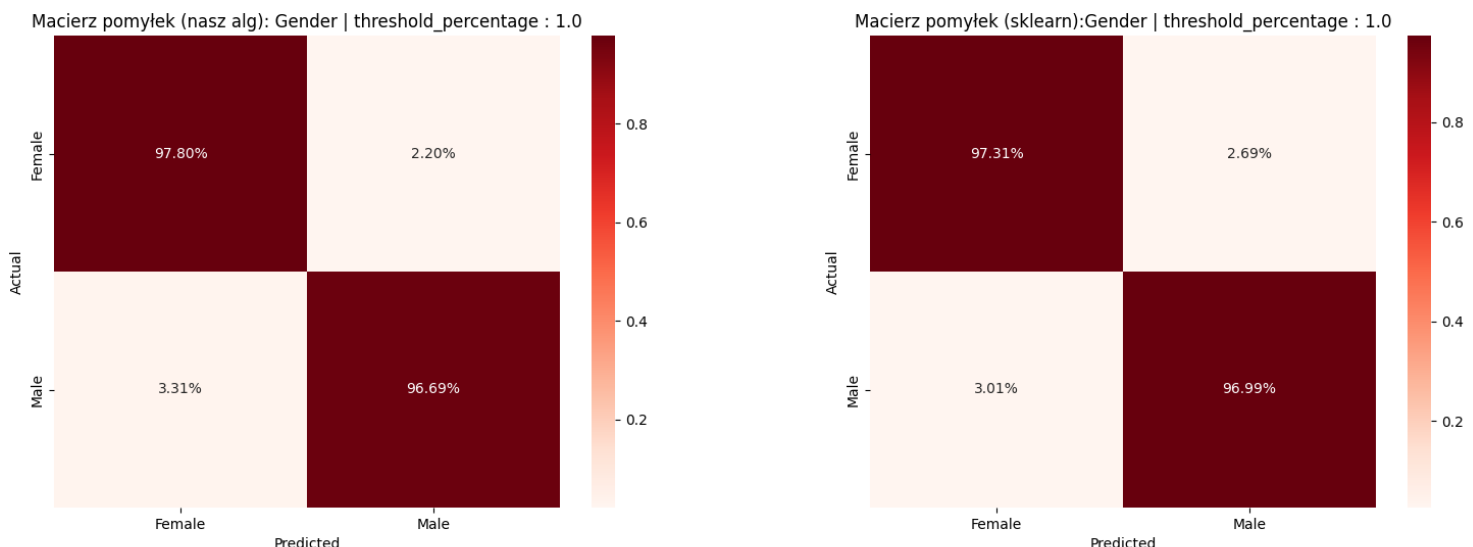
6.5.1 Tablica naszego algorytmu dla threshold_percentage = 0.75

	TP	FN	FP	TN	ACC	TPR	PPV	TNR	FAR	F1	MCC	FPR
Female	490,0667	10,1333	16,9333	483,0667	0,9729	0,9797	0,9666	0,9661	0,0339	0,9731	0,9460	0,0339
Male	483,0667	16,9333	10,1333	490,0667	0,9729	0,9661	0,9795	0,9797	0,0203	0,9728	0,9460	0,0203
overall	973,1333	27,0667	27,0667	973,1333	0,9729	0,9729	0,9729	0,9729	0,0271	0,9729	0,9459	0,0271

6.5.1 Tablica porównawczego algorytmu dla threshold_percentage = 0.75

	TP	FN	FP	TN	ACC	TPR	PPV	TNR	FAR	F1	MCC	FPR
Female	487,0000	13,2000	15,3333	484,6667	0,9715	0,9736	0,9695	0,9693	0,0307	0,9715	0,9430	0,0307
Male	484,6667	15,3333	13,2000	487,0000	0,9715	0,9693	0,9735	0,9736	0,0264	0,9714	0,9430	0,0264
overall	971,6667	28,5333	28,5333	971,6667	0,9715	0,9715	0,9715	0,9715	0,0285	0,9715	0,9429	0,0285

6.6.1 Porównanie confusion matrix dla threshold_percentage = 1.0



6.6.1 Tablica naszego algorytmu dla threshold_percentage = 1.0

	TP	FN	FP	TN	ACC	TPR	PPV	TNR	FAR	F1	MCC	FPR
Female	489,2000	11,0000	16,5333	483,4667	0,9725	0,9780	0,9673	0,9669	0,0331	0,9726	0,9450	0,0331
Male	483,4667	16,5333	11,0000	489,2000	0,9725	0,9669	0,9778	0,9780	0,0220	0,9723	0,9450	0,0220
overall	972,6667	27,5333	27,5333	972,6667	0,9725	0,9725	0,9725	0,9725	0,0275	0,9725	0,9449	0,0275

6.6.1 Tablica porównawczego algorytmu dla threshold_percentage = 1.0

	TP	FN	FP	TN	ACC	TPR	PPV	TNR	FAR	F1	MCC	FPR
Female	486,7333	13,4667	15,0667	484,9333	0,9715	0,9731	0,9700	0,9699	0,0301	0,9715	0,9429	0,0301
Male	484,9333	15,0667	13,4667	486,7333	0,9715	0,9699	0,9730	0,9731	0,0269	0,9714	0,9429	0,0269
overall	971,6667	28,5333	28,5333	971,6667	0,9715	0,9715	0,9715	0,9715	0,0285	0,9715	0,9429	0,0285